



საქართველოს მეცნიერებათა აკადემიის მაცნე

ИЗВЕСТИЯ АКАДЕМИИ НАУК ГРУЗИИ

PROCEEDINGS OF THE ACADEMY OF SCIENCES

OF GEORGIA

784
1992

ИЗВЕСТИЯ
СЕРИЯ
БИОЛОГИЧЕСКАЯ

1992 N3

თბილისი - Тбилиси
TBILISI VOL.

18

ԹԱՐՅԱԳՈՎԻ ԲՈՒՆԵՐ

ბორისი გადა
ადამიანთა და ცხოველთა უზიროვნებელი
(ნორგადური და კათოლიკოსი)
მოწვევლისა
ანაზოვია
მეგობროვია და პისტოლოვია
ციფროვია
კათოლიკისი მოწვევლისა
გილია
უარგაობლოვია
ზორანიკა (ვესარ. და თაორ.)
ალექსანდრა უზიროვლისა
ზორლისა (ვესარ. და თაორ.)
კლიმოლოვია
არაზიტოლოვია
ვლევინოლოვია
კალებაიოლოვია
ზიონგოვენოლოვია
ეკოლოვია
ინკრაიოლოვია
ვინასოლოვია
ივანესოლოვია
გივი
რადიოვია
ზიონისია და მოლეკულური ზორლისა
ზიონისა და გიორგიერეტისა

СПИСОК РАЗДЕЛОВ БИОЛОГИИ, ПО КОТОРЫМ ПРИНИМАЮТСЯ СТАТЬИ

- Теоретическая биология
Физиология человека и животных
(норм. и патол.)

Морфология
Анатомия
Эмбриология и гистология
Цитология
Патологическая морфология

Биохимия
Фармакология
Ботаника (экспер. и теорет.)
Физиология растений
Зоология (экспер. и теорет.)
Энтомология
Паразитология
Гельминтология
Палеобиология
Биогеоценология
Экология
Микробиология
Вирусология
Иммунология
Генетика
Радиobiология
Биофизика
Молекулярная биология
Бионика и биокибернетика

საქართველოს მეცნიერებათა აკადემიის გაცემა
ИЗВЕСТИЯ АКАДЕМИИ НАУК ГРУЗИИ



ბიოლოგიური ჟურნალი
СЕРИЯ БИОЛОГИЧЕСКАЯ

ტომბ
Том 18, № 3

ფურნალი დაარსებულია 1975 წლის იანვარში
Журнал основан в январе 1975 года
გამოდის წლიურადში 6-ჯერ
Выходит 6 раз в год

თბილისი
ТБИЛИСИ

„მეცნიერება“
«МЕЦНИЕРЕБА»

© 1992

საქართველოს ბოლოგია:

მთავარი რედაქტორი ვ. ყურავა

მთავარი რედაქტორის მოაღილე თ. ლინანი

სწავლული მდივანი გ. ბეჭავა

ლ. გაბუნია, ი. ელიავა, მ. ზაალიშვილი, გ. თუმანიშვილი, გ. კვესიტაძე, ქ. ნაღარევშვილი,

ბ. ნანებიშვილი, გ. ნახუცრიშვილი, გ. სანაძე, ბ. ჯურაშვილი, თ. ჭავაშვილი,

ნ. ჯავახიშვილი

პაულის მეცნიერებელი მდივანი ს. ლაბაძე

РЕДАКЦИОННАЯ КОЛЛЕГИЯ:

Главный редактор В. М. Окуджава

Зам. главного редактора Т. И. Онiani

Ученый секретарь Г. Л. Бекая

Л. К. Габуния, Н. А. Джавахишвили, М. М. Заалишвили,

Г. И. Квеситадзе, Б. Е. Курашвили, К. Ш. Надарейшвили, Б. Р. Нанеишвили,

Г. Ш. Нахуцишвили, Г. А. Санадзе, Г. Д. Туманишвили, Т. Г. Чанишвили,

И. Я. Элиава

Ответственный секретарь С. Р. Лабадзе

EDITORIAL BOARD:

Editor-in-Chief V. Okujava

Associate Editor T. Oniani

Editorial Secretary G. Bekais

T. Chanishvili, N. Djavakhishvili, L. Gabunia,

G. Kvesitadze, B. Kurashvili, K. Nadareishvili, B. Naneishvili,

G. Nakhtsishvili, G. Sanadze, G. Tumanishvili, M. Zaalishvili, I. Eliava

Executive Secretary S. Labadze

© Известия АН Грузии

Серия биологическая, 1992

რედაქციის მისამართი:

380060, თბილისი-60, კუტუზოვის ქ. 19,

ტელ. 37-86-78

Адрес редакции:

380060, Тбилиси-60, ул. Кутузова, 19,

тел. 37-86-78

СОДЕРЖАНИЕ—ՑՈՒՑԱԿՆԵՐ—CONTENTS

Н. В. Окуджава. Фармакокинетика карбамазепина у эпилептиков детского и подросткового возраста	149
ნ. ვ. ი. გარბაშვილის ფარმაკოლოგიური ენციცლოპედიულ ბაზებში და მოხარუებში	
Н. Okujava. Pharmacokinetic of carbamazepine in epileptic children and adolescents	
Н. К. Тотибадзе, [З. В. Самадашвили,] Н. Мосидзе. Каллозальные связи и каллозальные ответы прореальных извилин	156
ნ. თ თ ი ბ ა ძ ვ ე, [ზ. ვ ა მ ა შ ვ ი ლ ი,] ნ. მ ი ს ი ძ ვ ე. პროეალური ხველების კალინური კვეშირები და კალინური პასუხები	
N. Totibadze, [Z. Samadashvili,] N. Mosidze. Callosal connections and callosal responses of proreal gyrus	
Т. М. Заалишвили, К. М. Колхидашвили, Д. О. Маргiani, Д. Ш. Сабелашвили. Субклеточное распределение АДР-рибоза трансферазной и ДНК топоизомеразной активностей головного мозга крыс	163
თ. ზ ა ლ ი შ ვ ი ლ ი, კ. კ ო ლ ხ ი ღ ა შ ვ ი ლ ი, დ. მ ა რ გ ი ღ ა ნ ი, დ. ს ი ბ ე ლ ა შ ვ ი ლ ი. ADP-რიბოზის ტრანსფერაზული და ლინ-ტრანსფერაზული ქრიონდენის სუბტარელული განვიწილება კირთაგას თავის ტვინში	
T. Zaalishvili, K. Kolkhidashvili, D. Margiani, D. Sabelashvili. Subcellular distribution of ADP-ribosyl transferase and DNA-topoisomerase activities of rat brain	
Н. В. Карсанов, Д. Э. Джагаров, Н. А. Варазанашвили. Быстрый метод получения мембранных препаратов сердечной мыши	168
ნ. კ ა რ ს ა ნ ი ვ ი ლ ი, დ. ჯ ა გ ა რ თ ვ ი ლ ი, ნ. ვ ა რ ა ზ ა ნ ა შ ვ ი ლ ი. გ ა ლ ი ს კ ა ნ ი ს მ ე მ ა ნ ი ლ ი პ რ ე ვ ა რ ა ტ ე ბ ი ს მ ა ლ ე ბ ი ს ს წ რ ა ფ უ მ ე თ დ ი	
N. Karsanov, D. Jagarov, N. Varazanashvili. A rapid method of cardiac muscle membrane isolation	
З. Ш. Табидзе. Влияние некоторых лекарственных средств на активность тканевых гемокоагулирующих и противосвертывающих ферментов слизистой гастроудоенальной зоны больных бронхиальной астмой	174
ზ. ტ ა ბ ი ძ ვ ე. ზოგიერთ სამკურნალო პრეპარატის ზევავლება გასტროდუონენტრი ზონის ლორწოვან გარსის შემცველებელ და ანტიშემდებარებელ ფერმენტთა აქტივობაზე პროტეინის ასთმის ფაზურულებში	
Z. Tabidze. Influence of some drugs on the activity of tissue coagulative and anticoagulative gastroduodenal zone mucosa enzymes in patients with bronchial asthma	
Т. Д. Чигвинадзе, Т. Г. Зардиашвили, М. Д. Кахая. Участие радиоактивного углерода ^{214}C -лизина в образовании белковых фракций и ultraструктура семян чумизы (<i>Setaria Italica</i> SSP <i>Colchica</i>)	179
თ. ჩ ი გ ვ ი ნ ა ძ ვ ე, თ. ზ ა რ დ ი ა შ ვ ი ლ ი, მ. კ ა ხ ა ი ა. ^{214}C -ლიზინის რადიოაქტიური ნაშმირბადის მონაცილებია ლიმის (<i>Setaria Italica</i> SSP <i>Colchica</i>) ნარცისის ფრაქციების წარმოქმნაში და ლომის ნარცისის ულტრასტრუქტურა	
T. Chigvinadze, T. Zardiashvili, M. Kakhaia. Participation of ^{214}C -lysine radioactive Carbon in the formation of different protein fractions and ultrastructure of Italian millet (<i>Setaria Italica</i> SSP <i>Colchica</i>) seeds	



A. L. Isakadze. Влияние нонахлазина на систему кровообращения в покое и при ортостатической пробе у больных хронической ишемической болезнью сердца	185
ა. ისაკაძე. ნონახლაზინის გავლენა სისხლმიმღევების სისტემაზე მასცენებისა და ორთოსტატიკურ მდგრადებაში გულის ქრონიკული იშემიური დავადებისას	
A. Isakadze. The effect of nonachlasine on blood circulation system of rest or-thostatic state among patients with chronic ishemic heart disease	
Э. Н. Кецховели, И. П. Сихарулидзе, М. Н. Гигинишвили, И. В. Чичиашвили, М. А. Сараджева, М. Г. Кватадзе. Влияние хлорамфеникола и симазина на биосинтез пигментов и рост кукурузы	191
გ. ჯობოვალი, ი. სიხარულიძე, მ. გიგინეშვილი, ი. ჭიჭაშვილი, მ. სარაჯევა, მ. ქვათაძე. ქლორომფენიკოლის და სიმანინის გავლენა პიგმენტების ბიოსინთეზსა და ზრდის პროცესებზე სიმინდში	
E. Ketskhoveli, I. Sikhariulidze, M. Giginishvili, I. Chichashvili, M. Sarajeva, M. Kvataadze. Effect of chloramphenicol and simazine on pigment biosynthesis and growth of maize	
М. О. Мачаварии, Л. А. Квачадзе. Образование белка термофильными микромицетами при выращивании их на цитрусовой муке	200
გ. მაჭავარაიანი, ლ. კვაჩაძე. ციტრუსის ფენოლურ განწყოლი თერმოფილური მიკრომიცეტების მიერ ციტრუსის წარმოშვენა	
M. Machavariani, L. Kvachadze. Formation of protein by thermophilic micromycetes at their growth on citrus flour	
Дж. В. Начекбия, Т. Г. Габисония, Т. Г. Чанишвили. Характеристика плазмид штаммов клостридиев животного происхождения	204
გ. ნაჟებია, ტ. გაბისონია, ტ. ჭანიშვილი. ციტრუსის ფენოლური მიკრომიცეტების მასამდიდარებელი დანართები	
J. Nachkebia, T. Gabisonia, T. Chanishvili. Characteristic of clostridium strains plasmids of the animal origin	
В. А. Мамисашвили, Н. Т. Мchedlishvili. Прижизненные исследования профиля скоростей в микросудах	208
ვ. მამისაშვილი, ნ. მჭედლიშვილი. მიკროსისხლძარღვებში სიჩქარეთა პროფილების კვლევა	
V. Mamisashvili, N. Mchedlishvili. On-line registration of velocity profiles in microvessel s	

Хроника ხათხია

CHRONICLE

Александр Ройтбак	214
ალექსანდრე როიტბაკი	
Alexander Roitbak	

UDC 616

PHARMACOLOGY

PHARMACOKINETICS OF CARBAMAZEPINE IN EPILEPTIC CHILDREN AND ADOLESCENTS

N. OKUJAVA

Tbilisi State Medical Institute

In present study the blood concentration of carbamazepine (CBZ) and its relative clearance were determined during treatment of various types of epileptic seizures (supposedly controllable with CBZ: generalized tonic-clonic seizures, simple and complex partial seizures with or without secondary generalization) in children and adolescents. High-performance liquid chromatography (HPLC) was used to assay the blood level of the anticonvulsant. In the group of patients with good therapeutic efficacy the indices of relative clearance appeared confidently lower and the concentration respectively higher than in groups with poor control or totally unattainable to control. In latter groups dissociation between the CBZ dose and its blood concentration was evident, the concentration appearing lower than the presupposed level. Values of relative clearance indicated that such situation must be conditioned by accelerated CBZ metabolism in these patients, being an age-dependent phenomenon, since in adults the dose - concentration relation was more stable. Therefore in such cases further increase in CBZ dosing appeared necessary to attain the desired concentration level and to achieve thus the full therapeutic effect. In a number of cases fractionated dosing was preferable for creating the relatively stable therapeutic level.

201982

At present carbamazepine appears to be a drug of choice in treatment of a number of epileptic seizures. This preparation is widely used among adults as well as

in pediatric practice. Therefore it seems expedient to explore age - related aspects of its pharmacokinetics [4, 5, 7].

MATERIAL AND METHODS

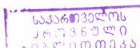
In present study the blood concentration of CBZ and its relative clearance were determined during treatment of various types of epileptic seizures (supposedly controllable with CBZ: generalized tonic-clonic seizures, simple and complex partial seizures with or without secondary generalization) in children and adolescents(54 patients of 8—16 years old). A reference group of 10 adult patients (23—45 years old) with full therapeutic efficacy was studied.

HPLC was used to assay the blood level of the anticonvulsant (2). Blood

samples were collected before CBZ administration (C_{\min}) and four hours after it (C_{\max}). The relative clearance was calculated according to the following equation:

$$K = \frac{D}{\Delta t \cdot C_{ss} \cdot W}$$

where K is the relative clearance, D—the dose administered, t—the dosage interval, C_{ss} —the plasma concentration of the drug in steady state, W—the body weight [3, 5, 6, 7].



RESULTS AND DISCUSSION

The findings obtained were classified according to the therapeutic effect.

During the monotherapy with CBZ (Table 1) (mean daily dose $14.0 \text{ mg/kg} \pm 1.98$ and duration of its administration 6 months and longer) seizure control was observed in 17 cases. C_{\max} of the drug varied in the ranges of $5.2 \mu\text{g/ml} - 7.6 \mu\text{g/ml}$ (mean $5.9 \mu\text{g/ml} \pm 0.75$), while

(mean $0.14 \text{ l/hr. kg} \pm 0.03$). Our findings demonstrated these indices to be optimal for achieving the therapeutic effect in the age group examined (8–16 years old).

The adults (23–46 years old) with full seizure control in cases of average daily CBZ dose of $11.1 \text{ mg/kg} \pm 1.03$ (Table 2) on the whole had the concentration indices higher ($C_{\max} = 7.0 \mu\text{g/ml} \pm 0.98$,

Table 1

Blood CBZ level in 8–16 years old patients with seizure control

Nº	Dosing mg/kg	C_{\min} $\mu\text{g/ml}$	C_{\max} $\mu\text{g/ml}$	ΔK $1/\text{hr. kg}$
1	17.8	4.2	5.6	0.20
2	13.3	5.4	7.0	0.12
3	12.5	4.2	5.2	0.13
4	14.2	3.5	5.4	0.14
5	14.3	4.5	5.4	0.15
6	16.2	4.4	5.3	0.17
7	13.2	4.5	5.2	0.14
8	13.3	4.1	5.5	0.15
9	14.1	6.4	7.0	0.10
10	12.3	5.1	6.7	0.11
10	12.0	4.4	5.2	0.13
12	10.7	4.0	5.8	0.10
13	14.3	4.0	6.4	0.12
14	13.1	4.2	6.0	0.12
15	14.0	6.0	7.6	0.10
16	19.0	5.0	6.5	0.18
17	14.3	4.4	5.2	0.15
Mean	14.0 ± 1.98	4.6 ± 0.73	5.9 ± 0.75	0.14 ± 0.03

Table 2

Blood CBZ level in adult patients with seizure control

Nº	Dosing mg/kg	C_{\min} $\mu\text{g/ml}$	C_{\max} $\mu\text{g/ml}$	ΔK $1/\text{hr. kg}$
1	10.8	7.0	8.3	0.07
2	8.9	6.4	8.0	0.06
3	11.3	6.2	7.8	0.08
4	9.9	3.8	5.6	0.14
5	11.4	5.2	6.0	0.10
6	12.3	7.2	8.2	0.08
7	11.1	4.5	6.2	0.09
8	10.0	5.0	6.5	0.10
9	11.7	5.2	6.2	0.10
10	12.7	6.6	7.6	0.09
Mean	11.1 ± 1.03	5.7 ± 1.07	7.0 ± 0.98	0.09 ± 0.02

C_{\min} equalled to $3.5 \mu\text{g/ml} - 6.4 \mu\text{g/ml}$ (mean $4.6 \mu\text{g/ml} \pm 0.73$). The relative clearance was $0.1 \text{ l/hr. kg} - 0.21 \text{ l hr. kg}$

$\text{ml} \pm 0.98$. $C_{\max} = 5.7 \mu\text{g/ml} \pm 1.07$), than in the similar group of juniors, the relative clearance accordingly fluctuating

within significantly lower limits ($0.09 \text{ l/hr kg} \pm 0.02$).

Considering that therapeutic CBZ concentration is situated in the range of $3\text{--}8 \mu\text{g/ml}$, it can be concluded that in both above-mentioned groups concentration indices appeared within the therapeutic limits. It must be emphasized that in the youngsters C_{\min} and C_{\max} values were considerably lower than in the adults in spite of higher daily dose of the drug per kg of body weight in most young patients. ($14.0 \text{ mg/kg} \pm 1.98$ and $11.1 \text{ mg/kg} \pm 1.03$ respectively). At the same time the values of relative clearances differed in these two groups, in the first group being higher ($0.14 \text{ l/hr kg} \pm 0.03$) than in the second one ($0.09 \text{ l hr kg} \pm 0.02$), a fact to suggest different rates of drug elimination.

ching the effective therapeutic level. C_{\max} was found to be between $2.0 \mu\text{g/ml}$ and $4.2 \mu\text{g/ml}$ (mean $2.85 \mu\text{g/ml} \pm 0.62$) in several cases reaching the lower therapeutic level. The mean value of the relative clearance was $0.24 \text{ l/hr kg} \pm 0.02$ ranging from 0.2 l hr kg to 0.27 l hr kg .

In the cases of incomplete seizure control (Table 4) with their frequency reduction of 50% and more the CBZ concentration values appeared at a lowest therapeutic level ($C_{\min} = 3.3 \mu\text{g/ml} \pm 0.52$, $C_{\max} = 4.4 \mu\text{g/ml} \pm 0.45$). The mean daily dose of CBZ was $14.0 \text{ mg/kg} \pm 2.1$. The K index (mean $0.18 \text{ l hr kg} \pm 0.02$) was lower than in the group without therapeutic effect, but higher than in patients with complete seizure control.

In the group of patients with good therapeutic efficacy the indices of relati-

Table 3

Blood CBZ level in young patients without seizure control

Nº	Dosing mg/kg	C_{\min} $\mu\text{g/ml}$	C_{\max} $\mu\text{g/ml}$	ΔK l/hr.kg
1	10.0	1.2	2.1	0.26
2	12.1	1.4	2.0	0.25
3	10.0	1.7	2.5	0.22
4	13.0	2.0	2.8	0.26
5	11.4	1.4	2.2	0.22
6	5.0	2.6	3.4	0.25
7	11.9	1.8	3.0	0.22
8	9.2	2.0	2.5	0.20
9	13.1	2.0	3.5	0.21
10	16.7	2.8	3.8	0.24
11	16.3	2.4	3.5	0.26
12	14.2	1.9	2.9	0.27
13	8.5	1.2	2.0	0.24
14	10.9	1.4	2.2	0.27
15	11.1	1.5	2.4	0.25
16	10.0	1.9	2.6	0.21
17	10.4	2.2	2.7	0.21
18	12.0	1.2	2.6	0.25
19	16.0	3.0	4.2	0.24
20	9.7	1.6	2.2	0.24
Mean	12.0 ± 2.4	1.9 ± 0.52	2.8 ± 0.62	0.24 ± 0.02

In Table 3 the results of similar examination of 20 patients without seizure control are presented. With the average daily dose of $12.0 \text{ mg/kg} \pm 2.4$ C_{\min} fluctuated from $1.2 \mu\text{g/ml}$ to $3.0 \mu\text{g/ml}$ (mean $1.9 \mu\text{g/ml} \pm 0.52$) without actually rea-

ve clearance appeared confidently lower and concentration respectively higher than in groups with poor control or totally unamenable to control. In latter groups dissociation between the CBZ dose and its blood concentration was evident, the

concentration appearing lower than the presupposed level. Values of clearance indicated that such a situation must be conditioned by accelerated CBZ metabolism in these patients, being an age dependent phenomenon, since in adults the

concentration test. In the second one the plasma CBZ concentration was measured 12—14 days after beginning the treatment with CBZ. The concentration values did not reach the therapeutic level in any of these groups. The mean value of the re-

Table 4

Blood CBZ level in young patients with incomplete seizure control

Nº	Dosing mg/kg	C_{min} μg/ml	C_{max} μg/ml	ΔK 1/hr·kg
1	13.5	3.8	5.0	0.15
2	14.3	3.3	4.5	0.18
3	14.6	3.0	3.6	0.22
4	18.1	2.0	4.4	0.22
5	10.0	3.3	4.0	0.14
6	14.0	3.4	4.4	0.18
7	13.4	3.2	4.6	0.16
8	15.0	4.2	5.2	0.16
9	16.6	3.6	4.8	0.19
10	12.0	3.0	4.2	0.16
11	12.3	3.2	4.0	0.17
Mean	14.0 ± 2.1	3.3 ± 0.52	4.4 ± 0.45	0.18 ± 0.02

dose-concentration relation was more stable. This consideration seems well supported by the literary data [6, 8] indicating that the "autoinduction" phenomenon develops more rapidly and it is more pronounced in puberty, while following the age of 17 it becomes gradually stabilized to the extent characteristic of the adults. According to them elimination of the drug starts to accelerate rapidly and its half-life time respectively starts to shorten as quickly as a few days after attaining the plasma concentration of the drug in steady state. These changes continue to enhance until the 20th-30th day and then the elimination rate becomes stabilized [1, 5, 7].

The observations listed in Table 5 indicate the particular importance of the CBZ "autoinduction" phenomenon for the age group in question. The patients without seizure control were divided into two groups according to the results of the therapeutic drug monitoring. In the first one the treatment had started two months prior to the blood carbamazepine con-

centration test. In the second one the plasma CBZ concentration was measured 12—14 days after beginning the treatment with CBZ. The concentration values did not reach the therapeutic level in any of these groups. The mean value of the relative clearance in group 1 was equal to $0.18 \text{ l/hr} \cdot \text{kg} \pm 0.05$ whereas in group 2 it was much lower ($0.11 \text{ l hr} \cdot \text{kg} \pm 0.01$). Then the CBZ dose was increased for all patients. Repeated investigation was performed a month after the dosage alteration. In group 1 reduction of seizures was noticed and the blood CBZ concentration appeared significantly enhanced in comparison with the first study, fluctuating within the therapeutic limits. The values of the relative clearance did not change actually. As to the second group, no clinical improvement was observed and despite the dose being raised the plasma drug level was not enhanced as compared with the initial study. The relative clearance was however augmented up to $0.18 \text{ l hr} \pm 0.03$.

Thus in group 2 the lack of correlation between the CBZ dose and its concentration (dose/concentration relation) was observed. Considering the simultaneous increase of relative clearance the lack of the therapeutic efficacy can be explained as a result of the sharply accelerated



drug elimination shortly after achieving the steady state concentration. The important role of the "autoinduction" phenomenon for the age in question may be suggested. Presumably the stable steady state concentration appears to be the case after quite a considerable period of treatment, this being demonstrated by the

monitoring especially at the commencement of CBZ therapy.

Summing up one may conclude that the values of clearance indicate that dissociation between the CBZ dose and its blood concentration in children and adolescents must be conditioned by accelerated CBZ metabolism in these patients

Table 5

Blood CBZ concentration in young patients at various time intervals following the start of the treatment

Group of patients	Number of cases	Moment of blood collection	Dosing mg/kg	C_{min} $\mu\text{g}/\text{kg}$	C_{max} $\mu\text{g}/\text{kg}$	ΔK $1/\text{hr} \cdot \text{kg}$
Group 1	7	55th-60th day after the commencement of the treatment	11.5 \pm 2.04	2.3 \pm 0.70	3.2 \pm 0.61	0.18 \pm 0.05
		30th day after altering the dosage	15.8 \pm 2.56	4.2 \pm 0.56	5.3 \pm 0.62	0.17 \pm 0.04
Group 2	5	12th-14th day after the commencement of the treatment	8.6 \pm 0.88	2.5 \pm 0.87	3.5 \pm 0.87	0.11 \pm 0.01
		30th day after altering the dosage	12.0 \pm 1.20	2.6 \pm 0.93	3.7 \pm 0.94	0.18 \pm 0.03

findings obtained during the examination of group 1. It must be noted that CBZ belongs to the so called "low extraction" drugs the clearance value of which is conditioned by the liver enzymatic activity, while its changes reflect either induction or inhibition of the enzymatic activity [8].

So the above is to demonstrate in youngsters the alteration of CBZ elimination velocity as a consequence of "autoinduction" and its influence upon the therapeutic efficacy of the drug. In all probability during elaboration of the optimal regimen of anti-epileptic therapy with CBZ the gradual acceleration of drug elimination until attainment of stable velocity must be considered in addition to the gradual enhancement of the blood CBZ level and the subsequent development of the steady state concentration. This fact must be important for choosing right time intervals for the drug

being an age dependent phenomenon, since in adults the dose-concentration relation appears more stable. Therefore in such cases further increase in CBZ dosing seems necessary to attain the desired concentration level and to achieve thus the full therapeutic effect. In a number of cases the fractionated dosing is preferable for creating stable therapeutic level.

At the commencement of treatment the rapid development of "autoinduction" in children and adolescents must be taken into consideration since the considerable acceleration of the drug elimination may produce the drop of the steady state concentration below the therapeutic range, provoking thus deterioration of the clinical state. This circumstance must be taken into account when selecting time intervals for therapeutic drug monitoring at the commencement of the CBZ therapy.



1. Окуджава В. М., Антадзе З. И., Чанкветадзе Б. Г., Ветрогон Ф. Г. Журн. невропатол. и психиатр., 9, 1327—1329, 1987.
 2. Окуджава В. М., Чанкветадзе Б. Г., Рухадзе М. Д., Рогава М. М. Сообщения АН ГССР, 130, 1, 85—87, 1988.
 3. Холодов Л. Е., Яковлев В. П. Клиническая фармакокинетика, «Медицина», М., 1985.
 4. Cereghini J. In: Antiepileptic Drugs, D. M. Woodbury, J. Kiffin Penny C. E. Pippenger — Eds Raven Press, New York, 1982, 507—521.
 5. Eddie M. J., Tugert J. H. Anticon-
- vulsant Therapy. Pharmacological Basis and Practice, Churchill Livingstone—Edinburgh, London and New York, 1980.
6. Guelen P. M., Van der Kleijne. Rational Anti-Epileptic Drug Therapy, Elsevier—Amsterdam, New York, Oxford, 1978.
 7. Morselli P. L., Bossi L. In: Antiepileptic Drugs (D. M. Woodbury, J. Kiffin Penny, C. E. Pippenger—Eds.), Raven Press—New York, 1982, 465—482.
 8. Rane A., Bertilsson L. In: Antiepileptic Therapy: Advances in Drug Monitoring (S. L. Johanessen, P. L. Morselli, C. E. Pippenger, A. Richens, D. Schmidt, H. Meinardi — Eds.), Raven Press — New York, 1980, 49—56.

კარბაზილიდის ფარმაკოლოგია ეპილეიზითი და გადატრიალური განვითარება

6. ოპუზავა

თბილისის სახელმწიფო სამედიცინო ინსტიტუტი

რეზიუმე

მოცემულ ნაშრომში მოყვანილია ეპილეიზით დავადებულ 8—16 წლის მოზარდებში კარბაზილინის (კბზ) პლაზმური კონცენტრაციისა და შეფარდებითი კლირენსის შესწავლის შედეგები. ავადმყოფებს აღნიშვნელდა ეპილეიზისური გულყრების სხვადასხვა ტიპები, რომელთათვისაც კბზ წარმოადგენს პირველი რიგის პრეპარატს (გენერალიზებული ტონურ-კლონური გულყრები, მარტივი და კომპლექსური პარციალური გულყრები მეორადი გენერალიზაციით ან მის გარეშე). საკონტროლო ჯგუფი შეადგინა გულყრების სრული კონტროლის მქონე უფროსი ასაკის (23—46 წ.) 10-მა ავადმყოფება.

პლაზმაში პრეპარატის კონცენტრაცია განისაზღვრებოდა მაღალეფექტური თხევადი ქრომატოგრაფიის მეთოდით. გულყრების სრული კონტროლის მქონე ავადმყოფთა ჯგუფში შეფარდებითი კლირენსი იყო მნიშვნელოვან უფრო დაბალი, ხოლო კონცენტრაცია კი — შესაბამისად უფრო მაღალი, ვიდრე გულყრების ნაწილობრივი კონტროლისა და თერაპიული ეფექტის არასებობის ჯგუფებში. ამ უკანასკნელ ორ ჯგუფში აღგილი ჰქონდა შესა-

ბამობას კბზ-ს დოზასა და მის პლაზმურ კონცენტრაციას შორის. შეფარდებითი კლირენსის გათვალისწინებით ეს მოვლენა შეიძლება აიხსნას კბზ-ის გაძლიერებული შეტაბოლიზმით ან ავადმყოფებში, რაც ასაკობრივ თავისებურებას უნდა წარმოადგენდეს, რადგან უფროსებში დოზა — კონცენტრაცია — კლირენსის ურთიერთ შეფარდებას მნიშვნელოვან უფრო სტაბილური ხასიათი აქვს. კბზ-ის მეტაბოლიზმის ზემოთ აღწერილი თავისებურებების მიზეზზი უნდა იყოს მკვეთრად გამოხატული „ავტონიდულების“ ფენომენი, ჩევნს მიერ შესწავლილ ასაკობრივ ჯგუფში.

ყოველივე ზემოთქმულიდნ გამომდინარე, პუბერტატული ასაკის ავადმყოფებში კბზ-ის ერთი შეხედვით საკმარისი საღლელამისო დოზის მიცემისას თერაპიული ეფექტის არარსებობის შემთხვევაში მანისანშეწონილია დოზის შემდგომი გაზრდა, ფარმაკოკინეტიკური კონტროლის ქვეშ ბიოფაზიში პრეპარატის ოპტიმალური კონცენტრაციული დონის მისაღწევად. სასურველია პრეპარატის ე. წ. დანაწევრებული (მრავალჯერადი) მიცემა.

ФАРМАКОКИНЕТИКА КАРБАМАЗЕПИНА У ЭПИЛЕПТИКОВ ДЕТСКОГО И ПОДРОСТКОВОГО ВОЗРАСТА

Н. В. Окуджава

Тбилисский государственный медицинский институт

Резюме

Приведены результаты исследования концентрации и относительного клиренса карbamазепина (КБЗ) у больных в возрасте от 8 до 16 лет, страдающих различными видами эпилептических припадков, при которых КБЗ является средством выбора (генерализованные тонико-клонические припадки, простые и комплексные парциальные припадки со вторичной генерализацией или без нее). Контрольную группу представляли больные в возрасте 23—45 лет с полным терапевтическим эффектом. Уровень препарата в плазме определялся методом высокоэффективной жидкостной хроматографии. В группе больных с полным контролем припадков показатели относительного клиренса были значительно ниже, а концентрация соответственно выше, чем в группах с частичным контролем припадков или с отсутствием терапевтического эффекта. В последних двух группах наблюдалось несоответствие между дозой КБЗ и его концентрацией в плазме. Показатели относительного клиренса дают основа-

ние для объяснения данного явления усиленным метаболизмом КБЗ у этих больных, что, по всей вероятности, должно являться проявлением возрастных особенностей организма, поскольку у взрослых соотношения доза—концентрация—клиренс носят в значительной мере более стабильный характер.

Вышеописанные особенности метаболизма КБЗ могут быть объяснены резко выраженным феноменом «затоиндукции» препарата в изученной нами возрастной группе.

Исходя из рассмотренных выше результатов, у больных в пубертатном возрасте, в случае отсутствия терапевтического эффекта при приеме, казалось бы, высоких суммарных доз КБЗ следует дальше повышать принимаемую дозу под фармакокинетическим контролем. При этом для достижения постоянного оптимального терапевтического концентрационного уровня в биофазе предпочтительнее придерживаться так называемых дробных доз препарата.

УДК 612.822.3 : 612.825+612.826

ФИЗИОЛОГИЯ ЧЕЛОВЕКА И ЖИВОТНЫХ

КАЛЛОЗАЛЬНЫЕ СВЯЗИ И КАЛЛОЗАЛЬНЫЕ ОТВЕТЫ ПРОРЕАЛЬНЫХ ИЗВИЛИН

Н. К. Тотибадзе, | З. В. Самадашвили, | Н. В. Мосидзе

Институт физиологии им. И. С. Бериташвили АН Грузии, Тбилиси

Поступила в редакцию 20.03.91

Морфологическим методом на кошках показано, что при повреждении средней части дорсолатеральной поверхности прореальной извилины переход перерожденных волокон на противоположную сторону происходит по всему протяжению мозолистого тела. Однако наибольшее количество фрагментированных волокон отмечается в колене. Заканчиваются эти корковые комиссулярные волокна прореальной извилины в прореальной (наибольшее количество), моторной, соматосенсорной, зрительной и слуховой областях коры противоположного полушария.

Прямые каллозальные связи прореальной извилины с обширными корковыми полями противоположного полушария были обнаружены и электрофизиологическим методом исследования. В работе сопоставляются транскаллозальные и вызванные антидромные ответы коры при парной стимуляции как прореальной извилины, так и разных участков мозолистого тела.

На сегодняшний день установлено, что межполушарное взаимодействие имеет определенное значение для интегративной деятельности головного мозга, в частности для нормального течения физиологических процессов, лежащих в основе памяти [2]. Следует отметить, что среди парных структур мозга, взаимодействие которых играет важную роль для краткосрочной памяти животных, прореальные извилины занимают значительное место [1].

МАТЕРИАЛ И МЕТОДИКА

Для морфологических исследований было использовано 15 половозрелых кошек. Под нембуталовым наркозом (37—40 мг/кг), в асептических условиях, в черепе над прореальной извилиной делалось отверстие диаметром 0,5 см и затем производилась электрокоагуляция средней части дорсолатеральной поверхности прореальной извилины диаметром около 2 мм.

Нам представлялось интересным исследовать морфологические связи средней части дорсолатеральной поверхности прореальной извилины с противоположной корой, электрофизиологически изучить как транскаллозальные ответы (ТКО), стимулируя тот же участок прореальной извилины, так и вызванные антидромные ответы (ВАО) прореальной извилины, раздражая разные участки мозолистого тела (МТ).

Через 8 дней животных забивали под эфирным наркозом. Мозг фиксировали в 10%-ном растворе формалина. После фиксации материал заливали 15%-ным раствором желатина, и блоки от всего противоположного полушария резались на замораживающем микротоме (толщина среза 25 мк). Методом Наута-Гигакса в модификации Замбржицкого обрабатывался

каждый шестой срез. Результаты микроскопического исследования наносились на схематические рисунки мозга по атласу [10].

Электрофизиологические исследования проводились на 17 наркотизированных нембуталом половозрелых кошках. После фиксации животного в стернотаксическом станке производилась двусторонняя энуклеация, удалялись черепные кости и твердая мозговая оболочка над всей поверхностью коры больших полушарий.

Раздражающие электроды (межэлектродное расстояние 0,5—0,7 мм) погружались в кору средней части прореальной извилины на глубину 1 мм от поверхности для регистрации ТКО в противоположной коре.

Для изучения ВАО кошкам предва-

РЕЗУЛЬТАТЫ ИССЛЕДОВАНИЯ

Морфологические исследования. Операция проведена на 15 кошках: из них чистое повреждение средней части дорсолатеральной поверхности прореальной извилины получено на 5 кошках, у 2 кошек отмечалось слабое кровоизлияние в белом веществе. Учитывая однородность распределения перерожденных волокон в МТ и в коре изви-



Рис. 1. Перерождение каллозальных волокон в спленальной части МТ при повреждении средней части дорсолатеральной поверхности прореальной извилины

лии противоположного полушария в этих двух группах экспериментального материала, нижеприведенное описание микроскопических препаратов относится ко всем 7 случаям.

рительно парасагиттально перерезали МТ с целью дегенерации каллозальных окончаний в противоположном полушарии. По истечении 5—7 дней становилась возможной регистрация с прореальной извилины ВАО, возникающих в коре интактного полушария в ответ на стимуляцию разных частей МТ. В этом случае использовался атлас Джаспера и Аймоне-Марсана.

Раздражение коры и МТ производилось прямоугольными стимулами (длительностью 0,1 мс), подаваемыми от ЭСУ-2.

Биопотенциалы с поверхности коры отводились монополярно серебряными пуговчатыми электродами и после предварительного усиления через УБП-02 регистрировались на экране катодного осциллографа С1-19А.

Место повреждения в правом полушарии отмечается в дорсальной части прореальной извилины и занимает площадь диаметром около 2 мм. Прилежащие к прореальной извилине обонятельная луковица и соседние извилины интактные — без дефектов.

Микроскопическое изучение фронтальных срезов всех уровней противоположного полушария выявило, что переход перерожденных волокон, исходящих от поврежденного участка прореальной извилины на противоположную сторону, происходит по всему протяжению МТ (рис. 1), однако наибольшее количество фрагментированных волокон отмечается в колене и в клюве МТ. Фрагменты перерожденных волокон в МТ рассеяны по всему его сечению. Привлекает внимание то, что в колене и в клюве МТ волокна в основном тонкого калибра, тогда как в остальных частях они средней толщины. Пройдя мозолистое сияние, фрагментированные волокна в большом количестве пучками переходят в лучистый венец, откуда распространяются на белое вещество извилин как медиальной, так и дорсолатеральной стороны.

Как показало микроскопическое исследование препаратов всех уровней противоположного полушария, дегенерация волокон, доходящая до 6 слоя коры, отмечается в белом веществе извилин медиальной поверхности. Ис-

ключение составляют прореальная и прямая извилины (поля 8, 12), в которых фрагментация волокон просматривается до верхних слоев коры, и фронтальная извилина (поля 6, 32), где перерожденные волокна находятся в 6 и 5 слоях.

В извилинах дорсолатеральной поверхности полушария дегенерация волокон распространяется на обширные участки коры. Фрагментация волокон, доходящая до 6-го слоя, просматривается на всем протяжении краевой (поля 17, 18), супрасильвиевой (поля 5, 7, 20, 21), задней эктосильвиевой (поля 21, каудальная половина 20 и 22-го), задней крестовидной (поле 4) извилины. Дегенерация волокон, занимающая нижние слои коры, отмечается в более локальных участках этих же извилин (нижний кончик 17-го, задний участок 18-го, 1-го и задняя половина 53-го полей краевой извилины; в передней половине 2-го, в задней части 22-го полей эктосильвиевой извилины; в средней части 52-го поля передней сильвиевой извилины). Перерожденные волокна, проникающие в малом количестве в средние слои коры, просматриваются в еще более ограниченных участках коры, а именно: в переднем крае 17-го и передней половине 53-го полей краевой извилины; в передней трети 7-го, в средней части 5-го и в заднем участке 3-го полей супрасильвиевой извилины; в средней части 50-го и 2-го полей передней эктосильвиевой извилины; в нижней части 3-го и 4-го полей коронарий извилины; в 6-ом поле передней крестовидной и в 8-ом поле прореальной извилины.

При подытоживании результатов микроскопического изучения препаратов, становится очевидным, что прореальная извилина (дорсолатеральный участок) имеет как хорошо выраженные гомотопические связи, так и обширные, хотя и не густые, гетеротопические проекции на кору извилинов противоположной стороны.

От прореальной извилины комиссуральные волокна переходят в противоположное полушарие на всем протяжении МТ, но самое большое количество их проходит в колене МТ. Отсутствие в литературе сведений о таком обширном протяжении места перехода комиссуральных волокон в МТ, а также их окончаний в обширных областях коры противоположного полу-

шария, можно объяснить лишь тем, что, видимо, не были изучены кордальные и каудальные сегменты ~~кортизимального~~ прореального полушария (в работах нет указаний на счет объема исследуемого материала). Заканчиваются эти корковые комиссуральные волокна прореальной извилины в моторной, соматосенсорной, ассоциативной, зрительной и слуховой областях коры противоположного полушария.

Электрофизиологические исследования. При электрической стимуляции средней части прореальной извилины ТКО возникали на обширных полях коры противоположного полушария. Высокоамплитудные ответы (250 мкВ и более) регистрировались в симметричных участках одноименной извилины, тогда как в верхних и нижних частях данной извилины регистрировались ответы более низкой амплитуды.

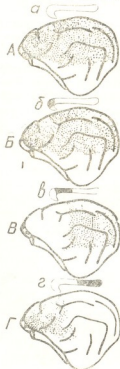


Рис. 2. Распределение ТКО в коре противоположного полушария головного мозга при электрическом раздражении средней части прореальной извилины в норме (А) и после перерезки различных (Б, В, Г) участков МТ (Б, В, Г)

Низкоамплитудные ТКО регистрировались с крестовидной, латеральной и супрасильвиевой извилины, в передних и средних частях эктосильвиевой извилины. Для уточнения нервных путей, принимающих участие в проис-

хождении низкоамплитудных гетеротопических ТКО, регистрируемых в разных полях коры, делались локальные перерезки разных участков МТ.

Опыты показали, что ТКО (рис. 2, Б), отводимые из прореальной и передней части крестовидной извилины в ответ на стимуляцию средней части прореальной извилины, исчезали (три кошки) в результате рассечения колена МТ (рис. 2, Б, б). При этом ТКО в других участках коры оставались без изменения. На других препаратах (две кошки) при рассечении задней части колена и передней половины тела МТ (рис. 2, В) ТКО полностью исчезали во всей крестовидной извилине, в передних частях латеральной, супра- и эктосильвьевской извилины (рис. 2, В). При рассечении задней половины тела и валика МТ (рис. 2, Г) ответы исчезали (три кошки) в сред-

сти супрасильвиевой извилины (рис. 3, Б). Как видно на рис. 3, А-ж при межстимульном интервале 350 мс противоположной стороны ТКО, регистрируемый из симметричной точки прореальной извилины, увеличен на 105% начальной величины. Облегчение амплитуды тестирующего ответа наблюдается и при более длительных интервалах (рис. 3, А, б-е), а при межстимульном интервале 150 мс (рис. 3, А-ж) его амплитуда спадает и достигает фонового уровня при интервале 270 мс (рис. 3, А-з). Одновременно, вместе с вышеописанными гомотопическими ТКО, регистрировались и гетеротопические ТКО из средней части супрасильвьевской извилины. Однако, как показано на рис. 3, Б, а-з, при тех же межстимульных интервалах не наблюдалось изменение тест-ТКО.

Аналогичные данные были получены

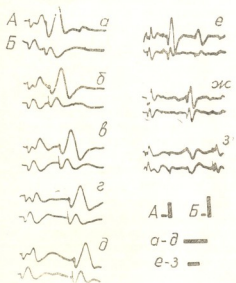


Рис. 3. ТКО коры, регистрируемые из симметричного участка (А) и средней части супрасильвьевской извилины противоположного полушария (Б) с различными межстимульными интервалами, при парной стимуляции средней части дорсолатеральной поверхности прореальной извилины

них и задних частях латеральной и супрасильвьевской (рис. 2, Г) извилины.

Парная стимуляция средней части прореальной извилины вызывает возникновение двух, следующих один за другим ответов как в симметричном участке (рис. 3, А), так и в средней ча-

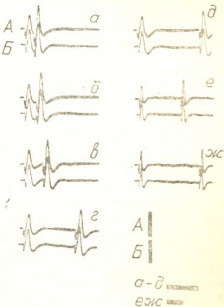


Рис. 4. ВАО коры, регистрируемые из средней (А) и верхней (Б) частей дорсолатеральной поверхности прореальной извилины, при парной стимуляции с различными межстимульными интервалами передней части колена МТ. Калибровка: 500 мкВ, 100 мс

ни 9 кошках при отведении ТКО как из гомо- (рис. 4), так и из общих гетеротопических полей.

Опираясь на наши морфологические и электрофизиологические исследования, показывающие, что волокна, берущие начало из средней части проре-

альной извилины, проходят по всей длине МТ, можно предположить, что разноамплитудные ВАО из прореальной извилины можно регистрировать, раздражая любой участок МТ. При регистрации ВАО от каллозальных нейронов, волокна которых связывают симметричные участки прореальных извилин, раздражающие электроды должны активировать передний полюс МТ, а для регистрации ВАО от гетеротопических каллозальных волокон необходимо стимулировать остальные участки МТ.

При парной стимуляции передней части колена МТ облегчение тестируе-

мых ответов как в средних, так и в верхних частях прореальной извилины регистрировалось на 8 кошках. В этих случаях тестируемые ответы облегчились от 40 до 85%, при этом время облегчения колебалось от 30 до 350 мс.

Для регистрации с тех же участков коры ВАО гетеротопическими каллозальными волокнами (использовались те же животные) раздражающие электроды внедрялись и в другие участки МТ (Fr-7 и Fr-14). Опыты показали, что вторые низкоамплитудные антидромные ответы не меняются при разных межстимульных интервалах.

ОБСУЖДЕНИЕ РЕЗУЛЬТАТОВ

Как морфологическими, так и электрофизиологическими опытами наглядно показано, что связи средней части прореальной извилины со всеми исследованными областями коры противоположного полушария являются прямыми. На расположение каллозальных волокон, обеспечивающих регистрацию ТКО в данных участках, указывают опыты с рассечением разных частей МТ, когда ТКО исчезали только в определенных извилинах или их частях.

В наших опытах увеличение амплитуды второго ТКО и ВАО можно объяснить следующим образом: в литературе известен факт постактивационной потенциации синаптического проведения, когда повторное возбуждение пресинаптического окончания вызывает выделение большого, по сравнению с первым возбуждением, количества медиатора, обусловливающего возникновение высокоамплитудного постсинаптического потенциала. Очевидно, в симметричных участках средней части прореальной извилины располагаются разные окончания группы каллозальных нейронов, которые при повторном возбуждении усиливают выделение медиатора в обоих полушариях и этим самым однозначно влияют на биоэлектрическую активность коры.

Отмечалось, что отведение ТКО производили также из несимметричных участков контраполатеральной коры (сигмовидной, латеральной и супрасильвиеевой извилии), где исследовалось также изменение вторых ТКО при парной стимуляции прореальной изви-

лины. Опыты показали, что вторые гетеротопические ТКО не изменяются по форме и амплитуде при разных межстимульных интервалах.

С другой стороны, стабильность низкоамплитудных тест-ВАО была зарегистрирована из средней части прореальной извилины, раздражая гетеротопические каллозальные волокна, проходящие МТ на уровне Fr-14 и Fr-7.

По-видимому, каллозальный нейрон, возвратные коллатерали которого располагаются в средней части прореальной извилины, и терминалы в разных полях контраполатеральной коры действуют также однозначно, т. е. не вызывают изменений вторых ответов.

Постактивационное облегчение является общим свойством, характеризующим и другие нейроны каллозальной системы. Однако этот процесс, видимо, менее характерен для окончаний гетеротопических каллозальных нейронов или же можно допустить, что при наличии постактивационной потенциации включаются тормозные механизмы, которые перекрывают облегчающий эффект.

Такое предположение можно высказать как в отношении возвратных коллатералей каллозальных нейронов, тело которых расположено в средней части прореальной извилины, так и их терминалов, которые расположены в разных несимметричных полях контраполатерального полушария.

По принципу Дейла, все отростки одной клетки выделяют один и тот же медиатор, который, согласно тезису Эклса, действуют однозначно в лю-



бой точке нервной системы (цит. по Ройол). Наши результаты хорошо согласуются с этими положениями.

По-видимому, одинаковая активность симметричных центров проре-

альных извилин во многом зависит от способности каллозальных нейронов оказывать одинаковое влияние на популяции нейронов коры как контра-, так и ипсилатерального полушария.

ЛИТЕРАТУРА

- Айвазашвили И. М. Значение префронтальной коры больших полушарий головного мозга в механизмах памяти, Тбилиси, «Меццинереба», 1974.
- Мосидзе В. М., Рижинашвили Р. С., Тотибадзе Н. К. Расщепленный мозг, Тбилиси, «Меццинереба», 1972.
- Райол Р. В. В кн.: Физиология и фармакология синаптической передачи, Л., «Наука», 1973, 177—207.
- Dadel J., Kuiffler S. N. J. Physiol., 155, 543—562, 1961.
- Del Castillo J., Katz B. J. Physiol., 124, 5, 586—604, 1954.
- Ebbeg F. FG., Myers R. E. J. Comp. Neurol., 124, 3, 353—366, 1965.
- Jasper H. H., Ajtome - Marsan G. Stereotaxic atlas of diencephalon of cat. Ottawa, National Research Council of Canada, 1954.
- Luttenberg G., Marsala G. J. Morphol., 11, 166—176, 1963.
- Reinzo-Suarez A. Topografisches Hirnatlas der Katze bei experimental physiologische Untersuchungen, Darmstadt, 1961.
- Rinvik E. Exp. Brain Res., 5, 129—152, 1968.
- Voneida T. G., Trevarthen C. R. Brain Res., 12, 2, 384—395, 1969.

პროცესიალური ხვეულების კალოზური კავშირი და კალოზური პასუხისმგებელი

6. თოთიბაძე, | ჭ. სამადაშვილი |, ნ. მოსიძე

სქეროველოს შეცნიერებათა აკადემიის ი. შერიტაშვილის სახლობის ფინიოლოგიის ინსტიტუტი, თბილისი

რეზიუმე

კატებზე ჩატარებული მორფოლოგიური კვლევის შედეგად ნაჩვენებია, რომ პრორეალური ხვეულის დორსოლატერალური ზედაპირის შუა ნაწილის დაზიანებისას გადაგვირებული ბოკექობი (რომლებიც მიემართებიან საწინააღმდეგო ჰემისფეროს ქერქში) აღინიშნებიან კორძანი სხეულის მთელ სიგრძეზე, თუმცა ყველაზე დიდი რაოდენობა ფრაგმენტული ბოკექობის ჩანს კორძანი სხეულის წინა ნაწილში (მუხლში). პრორეალური ხვეულის ქერქიდან გამომავალი კალოზალური ბოკექობი მთავრდებიან საწინააღმდეგო ჰემისფეროს პრორეალურ ხვეულში (დიდი რაოდენობით), მოტორულ. სომატოსენსორულ, მხედველობისა და სმენის ველებში. ასეთი კავშირების ასებობა და-დასტურდა ელექტროფიზიოლოგიური გამოკვლევებით. გარდა ამისა, აღინიშნება

პრორეალური ხვეულიდან რეგისტრირებული მატესტირებელი ტრანსკალოზური პასუხების 50—13%-ით გაადვილება საწინააღმდეგო ჰემისფეროს სიმეტრიული ქერქის წყვილ ელექტრულ გაღინიანებაზე. გაადვილება შეინიშნება 20—300 მს სტრიულთაშორის ინტერვალებში. კორძანი სხეულის მუხლის წყვილი გამოიიანების დროს (28—360 მს ინტერვალით) პრორეალური ხვეულიდან აღრიცხული ანტიღრომული პასუხები 40—85%-ით იზრდებიან. ჰეტეროტოპულ უბნებში ჩეგისტრირებული მატესტირებელი ტრანსკალოზური პასუხები და პრორეალური ხვეულიდან რეგისტრირებული გამოწვეული ანტიღრომული პასუხები კორძან სხეულში გამავალი ჰეტეროტოპული ბოკექობის გალიზიანების შედეგად გაადვილებას თითქმის არ განიცდიან.

CALLOSAL CONNECTIONS AND CALLOSAL RESPONSES OF PROREAL GYRI

N. TOTIBADZE, [Z. SAMADASHVILI], N. MOSIDZE

I. Beritashvili Institute of Physiology, Georgian Academy
of Sciences, Tbilisi

Summary

It was shown that after the lesions of dorsolateral surface proreal gyrus degenerated fibres were identified in the whole extent of corpus callosum; most of them were found in the rostrum and in splenium either.

These fibres terminate in proreal, motor, somatosensory, visual and auditory cortical areas of contralateral hemisphere.

Direct callosal connections of proreal gyrus with a wide extent of cortex of contralateral hemisphere were observed during electrophysiological studies as well.

The interaction of antidromic and transcallosal cortical responses elicited by double stimulation of proreal gyrus and different parts of corpus callosum was revealed.

УДК 577.21:577.15

БІОХІМІЯ

СУБКЛЕТОЧНОЕ РАСПРЕДЕЛЕНИЕ ADP-РИБОЗА ТРАНСФЕРАЗНОЙ И ДНК-ТОПОИЗОМЕРНОЙ АКТИВНОСТЕЙ ГОЛОВНОГО МОЗГА КРЫС

Т. М. Заалишвили, К. М. Колхидашвили, Д. О. Маргани,
Д. Ш. Сабелашвили

Институт молекулярной биологии и биологической физики АН Грузии, Тбилиси

Поступила в редакцию 15.04.91

Изучено субцитоплазматическое распределение ADP-рибоза трансферазной активности и субъядерное распределение ДНК-топоизомеразной активности головного мозга крыс. Показано, что ADP-рибоза трансферазная активность ассоциирована с митохондриальной, микросомальной и цитозольной фракциями. Самой высокой ADP-рибоза трансферазной активностью характеризуется цитозольная фракция, а самой низкой ферментативной активностью микросомальная фракция. Установлено, что активность ДНК-топоизомеразы I локализована вне ядерного матрикса клеток мозга, тогда как активность ДНК-топоизомеразы II ассоциирована как с матриксной, так и с внеклеточной областью ядра.

В эукариотических клетках ковалентная посттрансляционная модификация белков, ADP-рибозилирование, катализируется ADP-рибоза трансферазой. Субстратом ADP-рибоза трансферазы является NAD, который фермент превращает в (ADP-рибозу) _n с одновременным ADP-рибозилированием белков [5, 6, 7]. Другой интенсивно изучаемый в настоящее время фермент — ДНК-топоизомераза — осуществляет переходы между различными топологическими формами ДНК. Топологическая изомеризация происходит через одноцепочные (топоизомераза I) или двухцепочные (топоизомераза II) разрывы ДНК. ДНК-топоизомераза I для проявления активности не требует двухва-

лентных катионов и ATP, тогда как ДНК-топоизомеразе II, наоборот, необходимо их присутствие [8].

Несмотря на накопленные в литературе многочисленные данные, биологические функции ADP-рибоза трансферазы и ДНК-топоизомеразы до конца не определены. Установление локализации этих ферментов в клетке, несомненно, окажет определяющее влияние в разъяснении их функций.

Цель настоящей работы — изучение субцитоплазматического распределения ADP-рибоза трансферазной активности, а также изучение субъядерного распределения ДНК-топоизомеразных активностей.

МАТЕРИАЛ И МЕТОДЫ ИССЛЕДОВАНИЯ

В опытах использовали белых крыс массой ~150 г. Субклеточные фракции из головного мозга выделяли на основе методик, описанных в работах [9, 10]. Ткань измельчали и гомогенизировали в десятикратном объ-

еме буферного раствора, содержащего 10 mM трис-HCl, pH 7.4, 0.32 M сахараозы. Гомогенат фильтровали через 6 слоев марли и для осаждения ядер центрифугировали при 3000 g в течение 10 мин. Митохондриальную

фракцию получали центрифугированием супернатанта при 12000 g в течение 30 мин. Центрифугированием постмитохондриального супернатанта при 110000 g в течение 1 ч получали микросомальную фракцию (осадок) и цитозольную фракцию (супернатант). Митохондриальную фракцию обрабатывали ультразвуком и дигитонином [11].

ADP-рибоза трансферазную активность в выделенных субклеточных фракциях определяли включением меченного в адениновой части NAD в кислотонерастворимый материал [1]. Субклеточные фракции (0,3—0,4 мг белка) инкубировали при 37°C в течение 1 ч в среде объемом 0,4 мл, содержащей 50 мМ трис-HCl, pH 7,5, 10 мМ MgCl₂, 1 мМ β -меркаптоэтанола и 0,11 мМ ¹⁴C-NAD (400000 имп/мин на нмоль).

РЕЗУЛЬТАТЫ ИССЛЕДОВАНИЯ И ИХ ОБСУЖДЕНИЕ

Таблица 1

Субцитоплазматическое распределение ADP-рибоза трансферазной активности головного мозга крыс

Клеточные фракции	Удельная ADP-рибоза трансферазная активность, ед/мг белка	Суммарная ADP-рибоза трансферазная активность, единицы
Ядра	—	—
Митохондриальная фракция, содержащая обработанные дигитонином митохондрии, 1 мг дигитонина/10 мг белка	44,3	4625
Митохондриальная фракция, обработанная ультразвуком, содержащая разрушенные митохондрии	47,5	4959
Микросомальная	30,8	1578
Цитозольная	78,3	7422

За единицу ADP-рибоза трансферазной активности принимали включение 1 пмоля ADP-рибозы в кислотонерастворимый материал за 1 ч при 37°C.

В табл. 1 представлено субцитоплазматическое распределение ADP-рибоза трансферазной активности головного мозга крыс. Видно, что ADP-рибоза трансферазная активность ассоциирована со всеми субцитоплазматическими фракциями. Самой высокой ADP-рибоза трансферазной активностью характеризуется

Очищенные ядра головного мозга получали по стандартной методике [1].

Фракции негистоновых белков из очищенных ядер экстрагировали, суспендируя ядра (7,5 мг ДНК/мл) в буферном растворе, содержащем 20 мМ трис-HCl, pH 7,5, 0,3 М NaCl, 50 мкг/мл бычьего сывороточного альбумина. Суспензию инкубировали при 2°C в течение 25 мин и центрифугировали при 8000 g в течение 15 мин. Анализ в экстрактах ДНК-топонизомерных активностей проводили по методике, описанной в работе [12].

Белок определяли по модифицированному методу Лоури и др. [13] и по Бредфорду [14], а ДНК — по Дише [2].

цитозольная фракция, а самой низкой трансферазной активностью — микросомальная фракция. Сравнивая результаты, представленные в табл. 1, с результатами, полученными нами ранее на ядрах клеток головного мозга крыс [1, 3], можно заключить, что в клетках мозга крыс ядра характеризуются значительно высокой

ADP-рибоза трансферазной активностью, чем цитоплазма. Хотя надо заметить, что и с субцитоплазматическими участками мозга ассоциирована заметная ADP-рибоза трансферазная активность.

В табл. 2 представлены эффекты различных ингибиторов на ADP-рибоза трансферазные активности

тогда как ферментативная активность микросомальной фракции семян кукурузы крысы [16] и клеток HeLa [17] при отсутствии ДНК заметно стимулируются. Известно, что ядерная ADP-рибоза трансфераза (поли-(ADP-рибоза) полимераза) активируется в присутствии ДНК. Поэтому обнаруженные нами в цитоплазме клеток мозга

Таблица 2

Влияние никотинамида, тимидина, ADP-рибозы и ДНК тимуса теленка на удельные ADP-рибоза трансферазные активности цитоплазмы клеток мозга крыс

Среда	Митохондрии, обработанные дигитонином	Митохондрии, разрушенные ультразвуком	Микросомы	Цитозоль
Контроль	44,3	47,5	30,8	78,3
Никотинамид:				
5 mM	30,6	34,2	22,1	47,5
10 mM	25,7	30,4	17,2	38,4
Тимидин:				
5 mM	26,1	29,4	17,6	38,9
ADP-рибоза:				
1 mM	39,0	42,3	—	—
2 mM	19,9	19,6	10,8	21,1
ДНК тимуса теленка				
50 мкг/мл	—	—	32,5	81,1
105 мкг/мл	—	—	34,3	84,8

цитоплазмы мозга крыс. Видно, что никотинамид и тимидин только частично ингибируют ADP-рибоза трансферазные активности цитоплазмы клеток мозга, тогда как ядерная ADP-рибоза трансферазная активность этими веществами в аналогичных концентрациях полностью подавляется [3, 15]. Никотинамид в концентрации 10 mM ингибирует митохондриальную, микросомальную и цитозольную ADP-рибоза трансферазные активности на 36—42, 44 и 51% соответственно. Сходная картина наблюдается и в случае тимидина (5 mM).

Основываясь на том, что никотинамид в концентрации 10 mM полностью подавляет NAD гликогидролазные активности субцитоплазматических фракций (данные не представлены), неферментативное ADP-рибозилирование белков через NAD гликогидролазную активность в нашем случае можно исключить.

ДНК-тимуса теленка практически не влияет на ADP-рибоза трансферазные активности микросомальной и цитозольной фракции (табл. 2),

ADP-рибоза трансферазные активности не являются ядерного происхождения, т. е. можно исключить высвобождение ADP-рибоза трансферазы из ядер мозга при гомогенизации ткани.

Другой вопрос, представляемый в данной работе, как уже отмечалось, касается субъядерного распределения ДНК-топоизомеразной активности, а именно, распределения ферментативной активности между ядерным матриксом, являющимся цитоскелетом ядра, и остальной частью ядра. В литературе имеются данные о присутствии ДНК-топоизомеразы II вне ядерного матрикса мозга [12]. Однако они неоднозначны, так как ДНК-топоизомераза II экстрагировалась буферным раствором, содержащим 0,3 M NaCl и высокую концентрацию β-меркаптоэтанола. Общеизвестно, что вещества, содержащие сульфидильные группы, могут оказывать заметное влияние на белковый состав ядерного матрикса [4]. С другой стороны, нами ранее было показано ассоциирование ДНК-токо-

изомеразы II с ядерным матриксом мозга [1]. Поэтому нельзя исключить эффект β -меркаптоэтанола на элиминацию топоизомеразы из матрикса. Для проверки этого предположения экстракцию негистиновой белковой фракции из ядер мозга проводили в среде в присутствии и в отсутствии 40 мМ β -меркаптоэтанола и в экстрактах определяли ДНК-топоизомеразную активность (см. Методы исследования).

Таблица 3

Влияние β -меркаптоэтанола на экстракцию топоизомераз из ядер клеток головного мозга крыс

Среда	Топоизомеразная активность, ед./мкг ДНК ядер	
	топо I	топо II
Контроль	1,14	8,33
β -меркаптоэтанол: 40 мМ	1,18	8,65

За единицу ДНК-топоизомеразной активности принимали активность, которая релаксирует 50% ДНК в стандартных условиях [12].

Как видно из табл. 3, β -меркапто-

этанол не оказывает никакого влияния на экстракцию из ядер мозга ДНК-топоизомеразы I, также как и топоизомеразы II. Надо отметить, что классический ингибитор активности ДНК-топоизомеразы II новобионин (2 мг/мл) подавлял на 70—80% влияние ядерных экстрактов на плазмидную ДНК. Та часть активности, которая новобионином не ингибировалась, не принималась за активность ДНК-топоизомеразы II. Еще одним доказательством присутствия в экстрактах ядер мозга ДНК-топоизомеразы II является ингибирование активности экстрактов в отсутствии АТР. В этом случае влияние экстрактов на плазмидную ДНК подавлялось с такой же интенсивностью, что и в присутствии новобионина.

Поскольку нами ранее было установлено как ассоцирование ДНК-топоизомеразы II с ядерным матриксом мозга, так и отсутствие ДНК-топоизомеразы I в матриксе [3], можно заключить, что ДНК-топоизомераза I локализована в основном вне ядерного матрикса клеток, тогда как ДНК-топоизомераза II ассоциирована как с матриксной, так и с внemатриксной областью ядра.

ЛИТЕРАТУРА

- Заалишвили Т. М., Джапаридзе Н. Ш., Мичилашвили Р. Д., Аничадзе В. Л., Биохимия, 54, 4, 537—541, 1989.
- Георгиев Г.П. В кн.: Химия и биохимия нуклеиновых кислот, «Медицина», М., 1968.
- Заалишвили Т. М., Колхидашвили К. М., Маргани Д. О., Мичилашвили Р. Д. Биохимия, 931—935, 53, 6, 1988.
- Збарский И. Б. В кн.: Организация клеточного ядра, «Медицина», М., 1988.
- Schweiger M., Auer B. Burtscher H. J., Hirsch-Kauffmann M., Klocker H., Schneider R. Biol. Chem., 357, 12, 1185—1195, 1986.
- Gaal J. C., Pearson C. K. Biochem. J., 230, 1, 1—18, 1985.
- Mandel P., Okazaki H., Niedergang C. Prog. Nucleic Acid Res. Mol. Biol., 27, 1—51, 1982.
- Wang J. C. Biochim. Biophys. Acta., 909, 1, 1—9, 1987.
- Johnson D. E., Sellinger O. Z. J. Neurochem., 18, 8, 1445—1460, 1971.
- Hamberger A., Blomstrand C., Yanagihara T. J. Neurochem., 18, 8, 1469—1478, 1971.
- Schaitman C., Greenawalt J. W. J. Cell Biol., 38, 1, 158—175, 1968.
- Tsutsui K., Sakurai H., Shohmaru T., Oda T. Biochem. Biophys. Res. Commun., 138, 3, 1116—1122, 1986.
- Markwell M. K., Haas S. M., Bieber L. L., Tolbert N. E. Anal. Biochem., 87, 1, 206—210, 1978.
- Bradford M. M. Anal. Biochem., 72, 1, 248—254, 1976.
- Niedergang C., Okazaki H., Mandel P. Eur. J. Biochem., 102, 1, 43—57, 1979.
- Concha I. I., Concha M. J., Figueiroa J., Burzio L. In: ADP-ribosylation of proteins (ed. by Althaus F. R., Hilz H., Shall S.) Springer Verlag, Berlin-Heidelberg, 140—147, 1985.
- Roberts J. H., Stark P. Giri C., Smulson M. Arch. Biochem., Biophys., 171, 3, 305—315, 1975.

ADP-რიბოზის ტრანსფერაზული და დე-ტოპოიზომერაზული აქტივობის სუბუჯრედული განვითილება ვირთავისა თავის
ტიპები

თ. ზალიშვილი, ქ. კოლხიძე ვალე, დ. მარგარიტა, დ. საბელაშვილი

საქართველოს მეცნიერებათა აკადემიის მოლეკულური ბიოლოგისა და ბიოლოგიური
ფიზიის ინსტიტუტი, თბილისი

არზა მ. გ.

შესწავლილია ADP-რიბოზის ტრანსფერაზული აქტივობის სუბციტოლაზმური და დნმ-ტოპოიზომერაზული აქტივობის სუბბირთვული განაწილება ვირთავისა თავის ტვინში. ნაჩერებია, რომ ADP-რიბოზის ტრანსფერაზული აქტივობა ასოცირებულია მიტოქონდრიალურ, მიკროსომულ და ციტოზოლურ ფრაქციებთან.

კველაზე მაღალი ADP-რიბოზის ტრანსფერაზული აქტივობით ხასიათდება ციტო-

ზოლური ფრაქცია, ხოლო ყველაზე დაბალი აქტიობით მიკროსომული ფრაქცია. დადგენილია, რომ დნმ-ტოპოიზომერაზა I-ის აქტივობა ასოცირებულია ტვინის უჭრედების ბირთვების არამატრიქსულ უბნებთან, მაშინ, როდესაც დნმ-ტოპოიზომერაზა II-ის აქტივობა ასოცირებულია როგორც ბირთვების მატრიქსულ უბნებთან.

SUPERCELLULAR DISTRIBUTION OF ADP-RIBOSYL TRANSFERASE AND DNA-TOPOISOMERASE ACTIVITIES OF RAT BRAIN

T. ZAALISHVILI, K. KOLKHIDASHVILI, D. MARGIANI, D. SABELASHVILI

Institute of Molecular Biology and Biological Physics,
Georgian Academy of Sciences, Tbilisi

Summary

Subcytoplasmic distribution of ADP-ribosyl transferase and subnuclear distribution of DNA-topoisomerase activities of rat brain were studied. Association of ADP-ribosyl transferase activities with mitochondrial, microsomal and cytosolic fractions were shown. Cytosol fraction contains higher ADP-ribosyl transferase acti-

vity, while microsomal fraction contains lower activity. It was demonstrated that the DNA-topoisomerase I activity is localized outside the nuclear matrix whereas DNA-topoisomerase II activity is associated with both matrix and nonmatrix regions of brain cell nuclei.

უკა 577.1:591.558—612.015/127

გულის ტუნის გემბრანტული პრეპარატების მიღების სწრაფი გამოყოფა

ნ. გარსაოვი, დ. ჯაბაროვი, ნ. ვარაზანაშვილი

საქართველოს რესპუბლიკის ჯანდაცის და სოციუსტუნელუროფის სამინისტროს რესპუბლიკური
სამეცნიერო-კულტურო სამედიცინო ბიოფიზიკის ცენტრი, თბილისი

შემოსულია რედაქტურაში 10.11.90

შემუშავდა გულის კუნთის მემბრანტული პრეპარატების მიღების სწრაფი მეთოდი, რომლის
საშუალებით განსხვავებულ თხო სხვადასხვა ფრაქცია.

გულის კუნთის მემბრანტული პრეპარატების მისაღებად გამოყენებული იყო საქართვის
საფეხურებრივი გრადიუნტი დაბალი ონცურის ძალის პირობებში, რის შედეგადაც მიღებული
ჟველაზე მძიმე მეოთხე ფრაქცია წარმოდგენილი იყო ტერმინალური კისტებრებით, მეზეუ
ფრაქცია — ძირითად ტრანსფორმირ, მაშინ როდესაც მეორე ფრაქცია შეიცავდა სიგრძე-
ვეზიკულებს (L-ტრანსფორმირ, ბოლ ჟველაზე მსუბუქი პირველი ფრაქცია — სარკოლ-
მას და განიც ვეზიკულებს (T-ტრანსფორმირ).

არსებობს მემბრანების გამოყოფის
სხვადასხვა მეთოდი [2], კველა მათგანი
შრომატევადია და ითვალისწინებს მემბრა-
ნებთან მიმდებარე ციტოსინების კორტი-
კალური შრისგან განთავისუფლების სტა-
დიას. ამ ბოლო წლებში გაირკვა [9, 12],
რომ მემბრანების კაცშირს ციტოსინებთან
აქვთ გადამწყვეტი მნიშვნელობა უჯრედის
ცხოველმყოფელობისათვის. ამასთან და-
კავშირებით ჩვენს წინაშე იდგა ამოცანა,
მივეღო კარდიომიოკიტიდან ისეთი მემ-

ბრანტული პრეპარატები, რომელთაც შე-
ნარჩუნებული ექნებოდათ ციტოსინების
კორტიკალური შრე. ამ მეთოდის თავისე-
ბურებებს წარმოდგენს ის, რომ ქსოვი-
ლის დაყოფას ვახდენდით მაღალი სიბ-
ლანტის და ოსმოსური წნევის პირობებში.
რაც შექმნილი იყო 48%-იანი საქართვით
დაბალი ონცურის ძალის პირობებში.
მემბრანების ფლოტაცია ჰიმოგენატიდან
ხდებოდა საქართვის საფეხურებრივი გრა-
დიენტის გაელით.

მასალა და მთოლებელი

მეთოდი დამუშავებულ იქნა მამრი
ვირთავების და ძალების გულების გა-
მოყენებით. გულის კუნთიდან ვიღებდით
1,2 გ წონაკს, ვრცებავდით ცივ 0,9%
NaCl-ის 3% ნატრიუმის ციტრატის
სხნარში, შემდეგ სწრაფად ვაჭუმაცებ-
დით წინასწარ გაციებულ პეტრის ფინ-
ჯანზე და გადაგვერდა შორის ფილტრზე,
სადაც ვრცებავდით ჭერ 1 მმოლი

ეფტა-თი, ხოლ შემდეგ 20% საქართვით
ორივე ხსნარი მომზადებული იყო 5 მმო-
ლი ჰისტიდინის ბუფერზე (pH 7,6). წო-
ნაკს ვაშრობდით ფილტრის ქალალით და
ვახდენდით მის ჰიმოგენიზაციას ტეფლო-
ნის დგუშიან პოტენტის მინის ჰიმოგენ-
ზატორში 12 მლ 43%-იანი საქართვის
ხსნარში. ხსნარი შეიცავდა ასევე 1 მმოლი
ედტა-ს, 5 მმოლ ჰისტიდინს (2000 ბრ/წმ)

სიქარით 2 წთ). წინასწარ ფორმირებულ სქაროზის საფეხურებრივი გრადიენტის შედების ქვეშ 42,7%-იანი საქაროზა (6 მლ), 39,6%-იანი (6 მლ), 25,3%-იანი (6 მლ) და 42%-იანი (4 მლ), 20 მლ-იანი შეკიცით, რომელსაც ჩამოცეული ჰქონდა პოლიეთილის მილი (დიამეტრი 4 მმ), ჰომენგნატი ფრთხილად ჩავვონდა საცენტრიცუგო სინჯარის ფსკერზე (გადასახსნელი როტორი SW-28, ბეჭედი). ცენტრიცუგირება ხდებოდა 150 წთ 10000 გ-4°-6°C პირობებში. ცენტრიცუგირების შედეგ მებრანული პრეპარატები თავმყრილნი არიან სინჯარის ზედა შრეში. თოთოეულ ფრაქციის ვაგროვებდით ცალკეულ და სქაროზის კონცენტრაციას ვაზვებდით 12—15%-მდე და ვახდენდით მათ ცენტრიცუგირებას 15 წთ 10000g. თოთოეულ ფრაქციის ვამუშავებდით ცალკეულ.

ფრაქციების იდენტიფიკაციის მიზნით გამოვიყენეთ ოუაბაინის დაკავშირების, კალციუმის შთანთქმის ტესტები და სხვა-დასხვა მარკერული ფერმენტების აქტიობა.

ვალიდი და მათი მიმოხილვა

საქაროზის საფეხურებრივ გრადიენტში ცენტრიცუგირებისას გულის კუნთიდან შიღრბეულ იქნა მებრანული პრეპარატების ოთხი ფრაქცია. მათ დასახასიათებლად დიდი მნიშვნელობა აქვს მათ ბიოლოგიურ სპეციალიზაციას. ერთ ასეთ მახსასიათებლად ითვლება ატფაზური აქტიობა. გარდა ამისა, ჩვენს მიერ გამოყენებულია სხვა მარკერები, რომლებიც საშუალებას მოგვავარდა მოგვეხდინა მებრანების იდენტიფიკირება. შედეგები მოცემულია ცხრ. 1, საიდანაც ჩანს, რომ ცილების ძირითადი ნაწილი თავმყრილია მესამე ფრაქციაში, რაზეც მოდის მთელი ცილების ნახევარი, და მეოთხეში, სადაც თავმყრილია მთელი ცილების მეოთხედი, ამასთანავე ცილის საერთო რაოდენობის 20%-მდე მოდის მსუბუქ პირველ და მეორე ფრაქციებზე. პირველ ფრაქციაში თავმყრილია ოუაბაინ-მებრანბიარ ატფაზური აქტიობის ნახევარი, რომელიც

ოუაბაინის დაკავშირების ტესტს ვარგარებდით ლაუს მიხედვით $in vitro$ გამოყენებისას. Cat^{++} -ის შთანთქმის ტესტს ვარგარებდით მურქესიდის გამოყენებით (ინდიკატორის როლში) თავისუფალ კალციუმზე კორტენს მიხედვით [3].

ცენტრიცუგომოქსიდაზის აქტიობას (მიტოქონდრიცების მარკერი) ვსაზღვრავდით ინდიკატორის მიხედვით [10].

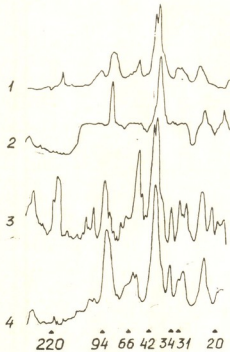
ატფაზურ აქტიობას ვსაზღვრავდით ჯინის მიხედვით [4], იმ განსხვავებით, რომ გამონთავასუფლებულ პიროვოსფატის ვსაზღვრავდით ნაკრებით „ფოსფორი“ (ლაცემა, ჩეხოსლოვაკია).

ცილების ფრაქციულ შემადგენლობას ვსაზღვრავდით ელექტროფორეზის მეთოდით, რომელსაც ვატარებდით ლემლის მიხედვით [6] 10%-იან პოლიკრიდურ გელში Na⁺-ის დოლეცილსულფატის თანაბიძისას. ცილის ვრცომავდით ლოურის მიხედვით [8].

ელექტროფორეგრამების დენსიტომეტრიებას ვახდენდით სინალის ტალღის 590 ნმ ტალღაში თვითნაერთ დენსიტომეტრზე, შედეგებს კითვლიდით სტარტისტრიურად.

გამოვლენილი იყო ნატრიუმის დოლეცილსულფატი დამუშავების შემდეგ; იმის გათვალისწინებით, რომ ოუაბაინიის ინპიპირებული Na^+ , K^+ -ატფაზური აქტიობა ახასიათებს სარკოლემას, შეიძლება ვივარაუდოთ, რომ პირველ ფრაქცია ძირითადად შეადგენს სარკოლემას. თუმცა უნდა აღინიშნოს, რომ ოუაბაინის დაკავშირების შესწავლისას [3H] ოუაბაინის ნიშანდებული ატომების ნახევარი მოდის მესამე ფრაქციაში, ხოლო პირველ ფრაქციაში მოდის ამ ატომების მესამედი. ამასთან დაკავშირებით შეიძლება დავასკვნათ, რომ მესამე ფრაქცია დამატებით შეიცავს ოუაბაინის რეცეპტორებს— Na^+ , K^+ -ატფაზურისგან განსხვავებით. შესაძლოა, რომ მესამე ფრაქციის მიერ ოუაბაინის შეერთების მაღალი უნარი გამოწვეულია სარკოპლაზმურ რეტიფულუმში ამასწინათ აღმოჩენილი ოუაბაინდამაკავშირებელი ცილის არსებობით [3].

Na^+ , K^+ -ატფაზისგან განსხვავებით, Ca^{2+} -ით აქტივირებული Ca^{2+} , K^+ -ატფაზური აქტივობა მომატებული იყო ძირითადად მესამე და მეოთხე ფრაქციებში, ხოლო მსუბუქ პირველ და მეორე ფრაქციებში 5—10-ჯერ იყო შემცირებული. ფრაქციების მიხედვით ანალიზიურად განაწილდა Ca^{2+} -ის დაკავშირების უნარი, რომელიც ტესტირებული იყო *in vitro*.



სურ. 1. გულის კუნთის მეტანის ურულ ცოდნის ელექტროფორეზი 10% -ით პოლიარილაშიცილურ გვალით ნატრიომის ლოდეცტა-სულფატის თანაბინას: 1—პირევლი ურიკული (12—25,3% —იანი საქართველოს საზღვრი); 2—მეორე ფრაქცია (25,3—39,6% —იანი საქართველოს საზღვრი); 3—ჰესებ ფრაქცია (39,6—42,7% სეკონდური); 4—მოთხოვ ფრაქცია (42,7—44,9% —იანი საქართველო); ისრეკონიანი ნეიტრალური მასის მირკერის განლაგება 220 კლ — ძალის გულის კუნთის მოზონის შემცირება; 94 კლ — ბოცევრის ცულის კუნთის ფოსფორილაზა A; 66 კლ — ნატრიომის ლოდეცტაზა; 42 კლ — ძალის გულის კუნთის აერინი; 34 კლ — ხარის პანკრეასის კარბონატის ინცეპტორიზა A; 31 კლ — ლინაზა I ხარის პანკრეასიდან; 20 კლ — ტრიპისინის ინიციატორის სიათან

მისი აქტიონის 90% მოდიოდა მესამე და
მეოთხე ფრაქციაზე, ხოლო დააწლოებით
7% მოდის პირველ და მეორე ფრაქცი-
ებზე.

მიღებული პრეპარატების მიტოქონდრიებით გაჰუკეყიანების ხარისხს ვსახ-

ლერავდით აზიდ-გერძნობიარე უტოლიშვილი ცხრილიდან (ცხრ. 1) ჩანს, რომ კასპიური ფინანსები მაღალი არ არის. გაუშესყიდვის მიზანი უფრო ნე არ აღვმატება 4—5% მეოთხე ფრაქციაში, სხვა ფრაქციების გაუშესყიდვანების დონე ნაკლებია 4%-ზე. პარალელურად ჩატარებულმა ციტოქრომოქსიდაზურმა აქტივობის უზრუნველყოფა და ასე ეს აქტივობაც დაბალია კუველა ფრაქციაში. ყოველივე ეს

မိမ့်တော်ဘဲ၊ လုပ် နှင့် မိမ့် မိမ့်ဖြစ်လာ
ဒုက္ခဒုက္ခနာရှုရှုပါ လျှော့တော်။

10—12 ცალკეულ ცილის ფრაქცია

(სურ. 1). ამ ცილების გარდა შეიძლება გარჩეულ იქნეს 5—9 მინორული ფრაქცია. როდესაც გვლხე დაგვაქვს მცირე რაოდენობის ცილა, შეიმჩნევა მხოლოდ 3—4 ფრაქცია. პირველი ცილა არის მოლექულური მასით 92 კილოლატონი — კდ (ატფაზა), მეორე ცილა მოლექულური მასით 55 კდ, რომელიც საკმაო რაოდენობით ჰვერდება, მხოლოდ მესამე ფრაქციაში, მესამე ცილა მოლექულური მასით 42 კდ (იდენტიფიცირებული ელექტროფორეზის მეორედით და იზოლაციური წერტილის მიხედვით რაოგორც აქტინის გ-იზოფორმი) და მეოთხე ცილა მოლექულური მასით 39,7 კდ (იდენტიფიცირებული იზოლაციური წერტილის მიხედვით კლ 6,1 და 8,3, რაოგორც კრეატინინაზას იზოფორმები). 39,7 და 92 კდ ცილების შემცველობა ყველა ფრაქციაში იყო შეფარდებით 2:1.

ჩვენს მიერ მიღებული პრეპარატები KCl-ის მაღალი კონცენტრაციის პირობებში მიღებული პრეპარატებისგან განსხვავებით [1, 2, 5] შეიცავდნ მნიშვნელოვანი რაოდენობით აქტინს და განსაკუთრებით კრიაზინებისას. ამ ცილების ასებობა სარკაპლაზმურ რეტიკულუმში და სარკოლემაში არ წარმოადგენს მიტოქონდრიებით გაშუქყინების შედეგს, რამდენადაც მიტოქონდრიებით გაჭუქყიანების დონე არ აღმატება 4%-ს ყველა პრეპარატში.

მემბრანული პრეპარატების ცილების შემადგენლობის შედარებისას აღმოჩნდა, რომ მათ შორის არის რაოგორც მსგავსება, ისე განსხვავება. ცილების შემადგენლობის მიხედვით ერთმანეთს ჰგავდა პირველი და მესამე, მეოთხე და მეორე ფრაქციები.

მეორე და მეოთხე ფრაქციებისგან განსხვავებით პირველი და მესამე ფრაქციები შეიცავენ უფრო ნაკლებ ატფაზას. ასევე 39,7 კდ ცილას (კრეატინინაზას), სამაგიროდ 200 კდ ცილას და აქტინს — დიდი რაოდენობით. ეს მსგავსება შემთხვევა არ არის, რაოგორც ზევით ავლიშნებთ მეოთხე ფრაქცია, რომელიც წარმოდგენილია (42—45%-იანი საქართვის საზოგადო) ტერმინალური ცისტერნებით, ყველაზე მძიმე ფრაქცია. მესამე შეიცავს ძირითადად ტრიადებს (39—42%-იანი), მეორე ფრაქცია — სიგრძივ ვეზიკულებს

(39—25%), ხოლო პირველი (25—12%) განივ ტუბულებს. გარდა ზემოქმედებული ნული ოთხი ძირითადი ფრაქციისა, შეიძლება ასევე მიტოქონდრიები, რომლებიც 42,7%-იანი საქართვის საზოგადების ქვემოთ არიან შეტევტებული, და კიდევ ნალექი, რომელიც შეიცავს მითიციბრილებს, ბირთვებს და უჯრედის სხვა ნარჩენებს. ორი უკანასკნელი ფრაქცია ჩვენ ცალ-ცალკე არ შევვისწვლია.

ცილების შემადგენლობის მხრივ მეორე და მეოთხე ფრაქციების მსგავსება შეიძლება მიუთითობდეს სიგრძივი და ტერმინალური ცისტერნების მემბრანების აგებულების მსგავსებაზე, რაც დაკავშირებულია მათ მსგავს ფუნქციებთან. რაოგორც მეორე, ისე შეოთხე ფრაქციებში დაბალია აქტინის და 55 კდ მოლექულური წრნის ცილების შემცველობა, მაგრამ მაღალია ატფაზას და 39,7 (კრეატინინაზა) ცილების შემცველობა.

ამრიგად, შეიძლება გავაკეთოთ დასკვნა, რომ დამუშავებულია კარლიო-მიოცენტის მემბრანების მიღების ახალი მეორედი დაბალი იონური ძალის და საქართვის მაღალი კონცენტრაციის პირობებში, რის შედეგადაც მიღებულ იქნა მემბრანული პრეპარატების ოთხი ფრაქცია.

ამ მეორედის ეტაპებია: 1. პომოვენიზაცია საქართვის კონცენტრირებულ სსნარში; 2. მემბრანების ფლოროტაცია შერჩეულ პრეფორმირებულ საქართვის გრადიენტში, რაც საშუალებას იძლევა დაჩქარდეს მემბრანების გამოყოფის პროცესი, ამაღლდეს მისი გამოსავალი.

ასევე შესწავლილია მემბრანების შემადგენელი ცილები. ლიტერატურაში არსებული მეთოდებისაგან განსხვავებით, ამ მეორედის გამოყენებისას ნაცლებად ზიანდება მემბრანების პერიფერიული ნაწილი, რომელიც უკავშირდება ციტოჩინჩებს. ნაჩენებია შესწავლილი ოთხი ფრაქციის ცილების შემადგენლობის განსხვავება. ასევე აღნიშნულია პირველი და მესამე ფრაქციების, მეორე და მეოთხე ფრაქციების მსგავსება, რაც აისნება რაოგორც შესაბამისი ფრაქციების ფუნქციური იღენტურობა.

卷之三

କରୁଥିଲେ ପ୍ରତିକାଳର ଏହାର ପରିମା ଉପରେ ଉପରେ ଉପରେ ଏହାର ଏହାର
କରୁଥିଲେ ପ୍ରତିକାଳର ଏହାର ଏହାର ଏହାର

դիմում	Խայտահա- նություն	Ավշարժական (Բնակչություն (%))	Համարյա- կան ցույց		Na ⁺ , K ⁺ - պրոֆի- լուզան իքսիմանց, %	[H+]—ոչ- առանձ բա- րագիւղական, %	Ca ²⁺ —K ⁺ պրոֆի- լուզան իքսիմանց, %	Mg ²⁺ — բարագիւղական, %	Անգամել- նակ օդշատա- կա մաս P/I (m 3) լուսական պարագան	Հայտա- հանություն, % Խայտահա- նության ավշարժական վելյունագում
			Ց/Ց/Ց բարագիւղական համարյական	%						
1	1.10 — 1.05	26 — 12	170	9.4	57.8	27.9	2.8	4.3	0.3 ± 4.1	2.92
2	1.16 — 1.10	39 — 25	130	7.2	5.9	5.6	6.1	2.6	0.4 ± 2.0	1.04
3	1.18 — 1.16	42 — 39	1005	55.6	26.7	59.7	47.3	39.6	2.2 ± 3.8	5.3
4	1.19 — 1.18	45 — 42	503	27.8	9.6	6.8	43.3	58.5	6.2 ± 5.1	2.7

1. Alderson B. H., Jeher J. J. *Biochim. Biophys. Acta*, **900**, 209–211, 1987.
2. Chamberlain B. K., Levitsky D. D., Fleischer S. J. *Biol. Chem.*, **258**, 6602–6609, 1983.
3. Fujino K., Satoh K., Bando T., Kurokawa T., Nakai T., Takashima A., Fujino M. *Experientia*, **45**, 466–469, 1989.
4. Jones L. R., Besch H. R. *Meth. Pharmacol.*, **5**, 1–12, 1984.
5. Jones L. R., Besch H. R., Fleming J. W., McConaughay M. M., Watapanee A. M. *J. Biol. Chem.*, **254**, 530–539, 1979.
6. Laemmli U. K. *Nature*, **27**, 680–685, 1970.
7. Lau Y. H., Coswell A. H., Jagar-
cia M., Latellier L. *J. Gen. Physiol.*, **74**, 335–349, 1979.
8. Lowry O. H., Rosebrough N. J., Farr A. L., Randall R. J. *J. Biol. Chem.*, **193**, 265–276, 1951.
9. Molski T. F. P., Shafaji R. *J. Cell Motil. Cytoskeleton*, **8**, 1–6, 1987.
10. Silver R. B., Saft M. S., Tajier A. K., Cole R. D. *J. Biol. Chem.*, **258**, 13287–13291, 1983.
11. Smith M., Cakenfele D., Back J. *Proc. Austr. Biochem. Soc.*, **11**, 4, 1978.
12. Terasaki L. M. *Cell Motil. Cytoskeleton*, **15**, 71–75, 1990.
13. Whirten J. M., Gould G. W., East J. M., Lee A. G. *Biochem. J.*, **245**, 731–738, 1987.

БЫСТРЫЙ МЕТОД ПОЛУЧЕНИЯ МЕМБРАННЫХ ПРЕПАРАТОВ СЕРДЕЧНОЙ МЫШЦЫ

Н. В. Карсанов, Д. Э. Джагаров, Н. А. Варазанашвили

Республиканский научно-исследовательский центр медицинской биофизики МЗ Республики Грузия, Тбилиси

Резюме

Разработана методика быстрого получения препаратов мембран сердечной мышцы и их разделения на 4 фракции, различающиеся по составу белков и по активности маркерных ферментов.

Исходя из данных электрофореза и распределения активности маркерных

ферментов, сделан вывод, что наиболее плотная 4-я фракция представлена в основном терминальными цистернами. Менее плотная 3-я — главным образом триадами, 2-я содержит продольные везикулы (L-тубулы), а наиболее легкая 1-я — сарколемму и поперечные везикулы (T-тубулы).

A RAPID METHOD OF CARDIAC MUSCLE MEMBRANE ISOLATION

N. KARSANOV, D. JAGAROV, N. VARAZANASHVILI

Republican Research Centre of Medical Biophysics of Georgia
Public Health Ministry, Tbilisi

Summary

The method based on flotation in sucrose density gradient at low ionic strength has been developed for isolation of four cardiac membrane fractions which differ in their protein composition and marker enzymatic activity.

According to electrophoresis and enzy-

matic activity distribution data the first (the lightest) fraction contains sarcolemma and transverse vesicles, the second (less light) — longitudinal vesicles, the third one — triads, whereas the fourth (the heaviest) one — terminal cisterns.

УДК 616.248:616.33:616.151.5:615.015

БІОХІМІЯ

ВЛИЯНИЕ НЕКОТОРЫХ ЛЕКАРСТВЕННЫХ СРЕДСТВ НА АКТИВНОСТЬ ТКАНЕВЫХ ГЕМОКОАГУЛИРУЮЩИХ И ПРОТИВОСВЕРТЫВАЮЩИХ ФЕРМЕНТОВ СЛИЗИСТОЙ ГАСТРОДУОДЕНАЛЬНОЙ ЗОНЫ БОЛЬНЫХ БРОНХИАЛЬНОЙ АСТМОЙ

З. Ш. Табидзе

Тбилисский государственный медицинский институт

Поступила в редакцию 24.03.91

У больных инфекционно-аллергической бронхиальной астмой в экстрактах слизистой оболочки гастродуodenальной зоны выявлена высокая активность гемокоагулирующих ферментов и резкое снижение фибринолитической активности. После лечения кортикостероидами еще более возрастает активность гемокоагулирующих ферментов и угнетается фибринолиз. Антибиотикотерапия незначительно влияет на ферментативную активность гастродуodenальной зоны. После гепаринотерапии в комплексе с антитромбином III активность гемокоагулирующих и противосвертывающих ферментов слизистой оболочки желудка и 12-перстной кишки больных бронхиальной астмой приближается к нормальным показателям.

Лекарственные препараты, которые обычно применяются в лечении хронических пневмоний и бронхиальной астмы (БА), действуют и на систему гемостаза [5, 7]. Влияние антибиотиков и кортикостероидов на гемокоагуляцию легочных больных различные авторы оценивают по-разному, отмечая после лечения как гипер-, так и гипокоагулемические изменения в коагулограммах [7, 10, 11, 12], что, возможно, связано с клинико-морфологическим состоянием легких после лечения, а не только прямым действием этих препаратов на гемокоагуляцию [4].

Изменяя гемокоагуляцию у больных БА, антибиотики и кортикостероиды проявляют непрямое влияние на желудочно-кишечный тракт. Вместе с тем давно известно и то, что эти лекарственные средства прямо воздействуют на различные морфофункциональные показатели пищеварительной системы, в том числе желудка и 12-перстной кишки [1].

Ряд авторов лечение кортикостероидами и нестероидными противовоспалительными препаратами считает риск-факторами возникновения язвенных поражений [6, 14]. Отмечают, что желудочно-кишечные повреждения возникают не только после приема кортикостероидных препаратов, но и после применения антибиотиков [9].

Слизистая желудка и 12-перстная кишка богата гемокоагулирующими и противосвертывающими (ПС) ферментами [2, 8, 13]. Изменение активности этих ферментов может иметь большое значение в нарушении местного кровообращения, развитии локального тромбоза и некроза слизистой [3, 4].

Мы задались целью изучить влияние указанных лекарственных средств на активность гемокоагулирующих и ПС ферментов слизистой гастродуodenальной (ГД) зоны больных БА, а также исследовать значение гепаринотерапии для коррекции местных коагулологических нарушений.

У больных инфекционно-аллергической БА изучалась гемокоагуляция (120 больных) и гемокоагулирующая и ПС активности биопсийной слизистой различных участков ГД зоны как до (52 больных), так и после лечения (31 больной) кортикостерондами (8 больных), антибиотиками (7 больных) и гепарином в комплексе с антитромбином-III (8 больных).

Для контроля изучена активность тканевых гемокоагулирующих и ПС ферментов слизистой различных

участков ГД зоны 14 здоровых лиц, погибших вследствие несчастных случаев и гемокоагуляция 60 здоровых лиц. Активность указанных тканевых ферментов изучали методом В. П. Скипетрова (в разведении 1:10). Гемокоагуляцию исследовали современными пробирочными биохимическими методами. Кровь для этих исследований брали из локтевой вены здоровых доноров, параллельно как для контроля, так и для указанной методики.

РЕЗУЛЬТАТЫ ИССЛЕДОВАНИЯ И ИХ ОБСУЖДЕНИЕ

При гастрофбрюскопическом обследовании 164 больных БА изъязвления и эрозии в различных участках ГД зоны были обнаружены у 52 (31,7%). У некоторых из этих больных изъязвления отмечались одновременно в двух-трех участках. Эти изъязвления, выявленные эндоскопическим исследованием, протекали бессимптомно или малосимптомно, характеризовались стертостью болевого синдрома и диспепсических расстройств. Чаще выявлялось (116—70,7%) значительное угнетение секреции соляной кислоты и пепсина по критериям базальной и эуфиллинстимулированной выработки; у 17 больных (10,4%) отмечалось относительное повышение показателей кислотообразующей функции, а у остальных—31 больной (18,9%) эти показатели незначительно отклонялись от нормы.

У здоровых лиц, погибших вследствие несчастных случаев, выявлена высокая активность свертывающих и ПС ферментов в экстрактах слизистой желудка и 12-перстной кишки (табл. 1). У больных бронхиальной астмой активность гемокоагулирующих ферментов во всех исследованных участках слизистой ГД зоны была еще более высокой, а фибринолитическая активность была резко угнетена. Высокая активность свертывающих ферментов и угнетение фибринолиза может стать причиной усиленного фибринообразования, нарушения местного кровообращения и некротизации слизистой. Эти нарушения были значительно более выраже-

жены в окколоязвенной зоне. В табл. 1 приведены данные исследования на примере экстрактов слизистой оболочки малой кривизны желудка и 12-перстной кишки.

Нами изучалось влияние кортикостероидных гормонов на клиническое течение, гемокоагуляцию и состояние слизистой оболочки ГД зоны 32 больных БА. Эти же больные получали антибиотики, эуфиллии, отхаркивающие, десенсибилизирующие и другие средства. Гормональную терапию назначали в тех случаях, когда больные после лечения антибиотиками и бронхолитиками в течение определенного времени не получали улучшения. Из 32 обследованных больных БА 24 раньше принимали кортикостероидные гормоны. Изъязвления в различных участках ГД зоны отмечались у 9 (37,5%) из этих 24 больных (28,1% из 32 больных). Изъязвления отмечались еще у 4 (12,5%), не принимавших раньше кортикоиды, больных.

После лечения БА кортикостерондами, несмотря на клиническое улучшение со стороны основного заболевания и некоторое улучшение коагулограммы, язвенные поражения ГД зоны не только оставались, но и возникали новые изъязвления. Из 13 больных БА с изъязвлениями после лечения кортикоидами у 2-х возникли новые язвенные участки в других регионах ГД зоны, еще у одного с ранее непораженной слизистой оболочкой возникло изъязвление. Исчезновения язвенных поражений у этих больных ни разу не отмечалось.

Исследование тканевых гемокоагулирующих и ПС ферментов экстрактов ГД слизистой оболочки этих больных хорошо объясняло полученные результаты (табл. 2).

После лечения кортикостероидами в экстрактах слизистой оболочки ГД зоны выявлялась еще большая (чем до лечения) активация гемокоагулирующих ферментов и резкое угнетение фибринолиза, что усиливает местное фибринообразование, вызывает нарушение микроциркуляции и увеличивает частоту возникновения изъязвлений.

36 больным БА проводилось лечение антибактериальными препаратами, антибиотиками, бронхолитиками, десенсибилизирующими средствами (без кортикоステроидов). В эту группу входили только лица, у которых отмечалось клиническое улучшение, так как остальных больных, при неэффективности указанного лечения, переводили на лечение гормональными препаратами. Из 36 больных БА изъязвления в ГД зоне отмечались у 8 (22,2%). После антибиотикотерапии гемокоагулирующая и ПС активность экстрактов ГД слизистой оболочки практически не менялась (табл. 2). Видимо поэтому, несмотря на улучшение со стороны основного заболевания, изъязвления ГД зоны не исчезали. В крови локтевой вены отмечалась тенденция коагулограммы к улучшению, но выраженная гиперкоагулемия все же оставалась.

ЛИТЕРАТУРА

- Герман С. В. Сов. медицина, 10, 14—20, 1986.
- Голышенков С. П. Успехи физиол. наук, 3, 80—91, 1986.
- Табидзе З. Ш. Тер. архив, 2, 35—38, 1990.
- Табидзе З. Ш. Нарушения гемокоагуляции и гастродуоденальные язвенные поражения у больных бронхиальной астмой и хроническим бронхитом. Автореф. докт. дисс., Тбилиси, 1991.
- Bushfield M., McNicol A., MacIntyre D. E. Biochem. J., 241, 3, 671—676, 1987.
- Dauelsberg S. K. Fortschr. Med., 104, 8, 59, 1986.
- Jonson C. J. The anticoagulant agent: annual., Amsterdam, 1986, 408—419.
- Konturek S. J., Brzozowski T., Radecki T. Duodenogastric reflex., Oslo, 1984, 91—96.
- Lewis J. H. Amer. J. Gastroenterol., 31, 9, 819—834, 1986.
- Medcalf R. L., Vandenberg E., Schleuning W. G. J. Cell. Biol., 106, 3, 971—978, 1988.
- Okuno I., Fujiharu Y., Uchida K. Jap. J. Pharmacol., 42, 1, 150—152, 1986.
- Okuno I., Uchida K. Jap. J. Pharmacol., 44, 2, 215—217, 1987.
- Peskar B. M. Wien. Klin. Washr., 96, 4, 133—138, 1984.
- Roth S. H. Ann. Intern. Med., 109, 5, 353—354, 1988.

Гемокоагулирующие и ПС-факторы экстрактов биспинной слизистой ГД участков больных БА (М±м)

Экстракти слизистой оболочки	Степень тромбогенеза	Время рекальцификации плазмы, с	П/требление протромбина, с	Тolerантность плазмы к гепарину, с	Тромбогенное время, с	Активность фибриназы, с	Фибринолитическая активность, мин	Время гепарина, с
Кроль, злородые n=60	3.0±0.1	109.3±1.6	33.8±0.5	435.4±11.0	32.1±0.4	68.7±0.9	246.3±5.8	8.4±0.3
Малой кривизны желудка здоровых n=14	6.3±0.1	54.4±2.7	138.3±3.9	147.0±3.1	109.9±5.9	170.6±5.6	81.5±2.3	14.7±1.1
Изъязвление в малой кривизне больных БА n=22 № 18, № 19	6.9±0.05	23.8±0.7	657.5±8.5	23.4±0.8	123.8±2.7	261.2±2.6	1210.7±7.3	11.2±0.5
Изъязвление в 12-перстной кишке больных БА n=18	6.9±0.1	23.4±0.5	668.3±2.3	26.9±0.8	122.8±2.4	273.8±2.1	1214.4±6.99	11.9±0.5
Непораженный малой кривизны больных БА n=10	6.9±0.1	24.6±0.6	669.4±1.6	24.7±0.7	113.0±1.1	241.5±1.4	610.5±1.7	12.1±0.3
Непораженный 12-перстной кишки больных БА n=14	6.9±0.1	24.9±0.7	602.0±4.7	27.9±0.9	122.6±1.49	216.4±1.6	622.3±1.0	12.0±0.6

Примечание: во сравнении с кровью злородых и экстрактами из малой кривизны желудка здоровых различия во всех случаях статистически достоверны.

Гемокоагулирующие и ПС-факторы биспинной слизистой оболочки ГД зоны больных БА после лечения (М±м)

Таблица 2

Экстракти слизистой оболочки	Степень тромбогенеза	Время рекальцификации плазмы, с	Погребение протромбина, с	Тolerантность плазмы к гепарину, с	Тромбогенное время, с	Активность фибриназы, с	Фибринолитическая активность, мин	Время гепарина, с
После лечения кортикоидами								
На околозадней зоне n=8	7.0±0	22.4±0.7	694.5±11.2	21.3±0.8	109.9±3.7	239.0±7.0	1220.0±39.5	10.3±0.9
На непораженных участках n=3	6.9±0.1	20.6±0.8	635.5±4.4	21.4±0.9	123.8±3.8	257.4±2.6	738.4±24.3	9.6±0.6
После лечения антибиотиками								
На околозадней зоне n=7	6.6±0.3	26.4±1.1	638.6±14.8	25.6±0.9	113.1±1.67	267.3±4.0	1030.7±23.6	11.0±0.8
На гепаризованных участках n=7	6.7±0.2	24.6±1.3	585.6±6.2	29.1±1.3	123.4±2.7	240.0±4.5	573.3±5.5	11.7±0.7
После лечения гепарином в АТ III								
На околозадней зоне n=4	6.5±0.5	58.8±4.1	121.5±5.5	155.3±6.97	105.8±11.7	213.5±10.5	307.0±17.1	15.5±1.3
На непораженных участках n=8	6.4±0.2	60.0±1.8	120.1±2.9	152.3±3.7	107.8±3.7	172.0±2.4	101.9±4.7	14.6±1.1



ჭ. თაბიძე

თბილისის სახელმწიფო სამედიცინო ინსტიტუტი

რეზიუმე

ინფექციურ-ალერგიული ბრონშიული ასთმით დაავადებულთა გასტროდუონდენური ზონის ლორწოვანი გარსის ექსტრაქტებში გამოვლინდა შემდებრებელ ფერმენტთა მაღალი აქტიობა და ფიბრინოლიზის დაქვეითება. კორტიკოსტეროიდებით მეურნალობის შემდეგ შემდებრებელ ფერმენტთა აქტიობა კიდევ უფრო მატულობდა, ხოლო ფიბრინოლიზური — ქვეითდებოდა. ანტიბიოტიკოფრაქტის შემდეგ გას-

ტროდუონდენური ზონის ლორწოვანი გარსის ფერმენტული აქტიობა თითქმის არ შეცვლილი. ბრონშიული ასთმით დაავადებულთა ჰეპარინითა და ანტითრომბინ III-ით მეურნალობის შემდეგ კუშისა და თორმეტგვაზე ნაწლავის ლორწოვანი გარსის შემდებრებელ და ანტიშემდებრებელ ფერმენტთა აქტიობა უაზლოვდებოდა ნორმალურ მაჩვენებლებს.

INFLUENCE OF SOME DRUGS ON THE ACTIVITY OF TISSUE COAGULATIVE AND ANTICOAGULATIVE GASTRODUODENAL ZONE MUCOSA ENZYMES IN PATIENTS WITH BRONCHIAL ASTHMA

Z. TABIDZE

Tbilisi State Medical Institute

S u m m a r y

High activity of hemocoagulative enzymes and sharp lowering of fibrinolytic activity have been observed in gastroduodenal zone mucous, extract in patients with infectious-allergic bronchial asthma.

After treatment with corticosteroids hemocoagulative enzymes still more acti-

vity has been increased. Antibiotic therapy has an insignificant influence on gastroduodenal zone enzymes activity. After heparin therapy in complex with antitrombine III, activity of gastroduodenal mucosa hemocoagulative and anti-coagulative enzymes approach the normal values.

УДК 581.19; 631.1

БІОХІМІЯ

УЧАСТИЕ РАДИОАКТИВНОГО УГЛЕРОДА ^{214}C -ЛИЗИНА
В ОБРАЗОВАНИИ БЕЛКОВЫХ ФРАКЦИЙ И
УЛЬТРАСТРУКТУРА СЕМЯН ЧУМИЗЫ (*SETARIA ITALICA* SSP.
COLCHICA)

Т. Д. Чигвінадзе, Т. Г. Зардиашвили, М. Д. Қахая

Інститут біохімії растеній АН Грузії, Тбілісі

Поступила в редакцію 06.06.90

Изучено участие радиоактивного углерода ^{214}C -лизина в образовании белковых фракций семян двух грузинских разновидностей чумизы в процессе созревания. Показано, что радиоактивность проламинов у разновидности *Setaria italica* var. *macrochaeta* гораздо ниже, чем у *Setaria italica* var. *vulgata*. Аминокислоты, образованные с участием радиоактивного углерода лизина, у разновидности *macrochaeta* активнее участвует в биосинтезе альбуминов, а у разновидности *vulgata* — в биосинтезе глютелинов и особенно проламинов.

По ультраструктурной архитектонике клеток алейронового слоя и центральной части крахмалистого эндосперма вышеуказанные разновидности не различались. Полученные данные дают основание предположить, что алейроновые зерна семян чумизы могут иметь вакуолярное происхождение, а белковые тела центральной части крахмалистого эндосперма могут быть образованы в расширениях гранулярино-эндоплазматического ретикулума.

В последнее время особое внимание уделяется улучшению качества белка злаковых культур. Несмотря на это, особенности биосинтеза белка указанных культур изучены недостаточно, а данные по изучению биосинтеза белков в семенах чумизы и вовсе отсутствуют. Несмотря на то, что чумиза древнейшая культура, ее биологическая ценность изучена еще недостаточно.

Изучение участия незаменимых аминокислот, в том числе лизина, в биосинтезе отдельных белковых фракций представляет не только теоретический, но и большой практический

интерес. В последние годы в этом направлении проведен ряд исследований [7, 9, 12, 16, 17].

Современные методы исследования, в том числе электронная микроскопия, дают возможность глубже изучить внутриклеточные механизмы отложения веществ в запас. Тем не менее, многие стороны отложения белка в запас остаются невыясненными.

Целью настоящей работы явилось изучение участия ^{214}C -лизина в образовании белковых фракций семян чумизы в процессе созревания, а также исследование ультраструктурной архитектоники клеток алейронового слоя и центральной части крахмалистого эндосперма семян чумизы.

МАТЕРИАЛ И МЕТОДЫ

С целью изучения участия ^{214}C -лизина в образовании белковых фракций семян чумизы использовали гру-

зинские разновидности этой культуры, отличающиеся по количественному содержанию проламинов: *Setaria*

italica ssp. *Colchica*, var. *macrochaeta* и *Setaria italicica* ssp. *Colchica*, var. *vulgata*. ^{24}C -лизин вводили в мегелки в начале молочно-восковой спелости. Для анализа семена брали периодически до технической спелости.

Выделение и гидролиз отдельных белковых фракций проводили по методике, разработанной для злаковых культур в отделе молекулярной биологии ВИР-а [3]. Разделение свободных и белковых аминокислот и их идентификацию проводили хроматографией на бумаге и радиоавтографией [1, 5, 8]. Радиоактивность изме-

рили на жидкостно-сцинтилляционном спектрометре SL-30.

Подготовка образцов для дальнейшего троинно-микроскопического исследования заключалась в фиксации материала в 6%-ном глютаральдегиде с последующей постфиксацией в 2%-ном OsO_4 . Общая площадь образцов составляла 1 mm^2 . Ступенчатое обезвоживание проводили в восходящих концентрациях спирта и ацетона, заливку материала — в аралдитах. Ультратонкие срезы семян чумизы получали на ультрамикротоме марки LKB-8800, контролировали и просматривали в электронном микроскопе ЭВМ-100Л.

РЕЗУЛЬТАТЫ ИССЛЕДОВАНИЯ И ИХ ОБСУЖДЕНИЕ

Эксперименты показали, что радиоактивный углерод лизина включался как в свободные, так и в белковые аминокислоты семян чумизы. Данные, представленные в табл. 1, пока-

зывали, что радиоактивность включалась гораздо ниже по сравнению с *vulgata*. Сходные данные получены в опытах на обычной и высоколизиновой кукурузе [7]. Повышение уровня сво-

Таблица 1

Включение радиоактивного углерода ^{24}C -лизина во фракции свободных аминокислот и белков семян чумизы

Экспозиция, дни	Суммарная радиоактивность фракций, $10^3 \text{ имп}/\text{мин}/\text{г}$	% от суммарной радиоактивности фракций					
		Фракция свободных аминокислот	Белковые фракции				
			Альбумины	Глобулины	Глютелины	Проламины	—
S. italicica var. macrochaeta							
1	25,7	66,2	12,9	20,9	—	—	
2	24,3	68,4	13,5	15,0	1,5	1,6	
7	200,5	80,7	9,1	6,0	1,0	3,2	
35	60,8	92,0	3,0	2,0	0,9	2,1	
S. italicica var. vulgata							
1	30,2	78,8	8,4	8,8	1,0	3,0	
2	31,5	69,5	7,5	7,5	5,7	9,8	
7	150,6	59,8	3,2	4,5	12,4	20,1	
35	50,7	60,7	2,8	1,3	5,9	29,3	

зывают, что радиоактивность свободных аминокислот, образованных при превращении лизина, по мере созревания увеличивается у разновидности *macrochaeta* и уменьшается у *vulgata*. Возможно, это вызвано неодинаковым уровнем синтеза проламинов в указанных разновидностях. Так, во всех экспозициях радиоактивность прола-

бодных аминокислот можно объяснить подавлением синтеза проламинов у разновидности *macrochaeta*.

В начале молочно-восковой спелости среди белковых фракций метка активнее включалась во фракции альбуминов и глобулинов обеих разновидностей.

По распределению радиоактивного углерода лизина в белковых фракциях опытные растения различались, в частности, у разновидности *vulgata*, спустя 24 ч после введения ^{14}C -лизина радиоактивными оказались все белковые фракции, тогда как у разновидности *macrochaeta* радиоактивный углерод включался лишь во фракции альбуминов и глобулинов. По мере созревания зерна включение радиоактивного углерода лизина во фракции проламинов и глютелинов у разновидности *vulgata* увеличивалось.

Полученные данные дают возможность предположить, что в некоторых грузинских разновидностях *Setaria italica* наподобие с другими зерновыми культурами (кукуруза, ячмень), не исключено действие гена, подавляющего синтез проламинов.

Для исследования микроструктуры семян чумизы использовали прорастающие 4-дневные семена вышеуказанных разновидностей. Исследованные разновидности по ультраструктурной архитектонике клеток алейронового слоя и центральной части

Таблица 2

Включение радиоактивного углерода ^{14}C -лизина в отдельные аминокислоты семян чумизы (радиоактивность 10^3 кип/мин на 1 г зерна)

Экспозиция, дни	Аминокислоты Селковых фракций			
	Альбумины	Глобулины	Глютелины	Проламины
<i>S. italicica</i> var. <i>macrochaeta</i>				
1	Лиз 3,3	Лиз 5,1	—	—
	Лиз 9,2	Лиз 10,0	Лиз 1,0	Ала 2,5
7	Глю. к. 1,5	Глю. к. 0,5	Ала 0,2	Глю. к. 1,5
	Пр. 1,2	Пр. 0,4	Глю. к. 0,2	Пр 1,5
	Ала 2,4	Мет 0,4	Лей 0,3	Фен 0,4
	Лей 2,4	Лей 0,4	Фен 0,2	Др. 0,4
	Др. 1,5	Др. 0,4	Др. 0,2	
35	Лиз 1,6	Лиз 0,7	Лиз 0,3	Глю. к. 0,3
	Ала 0,1	Глю. к. 0,1	Мет 0,1	Ала 0,3
	Др. 0,1	Др. 0,4	Др. 0,1	Лей 0,5
				Др. 0,1
<i>S. italicica</i> var. <i>vulgata</i>				
1	Лиз 2,0	Лиз 1,0	Глю. к. 0,2	Глю. к. 0,3
	Глю. к. 0,5	Глю. к. 1,6	Лей 0,1	Пр 0,3
				Лей 0,3
7	Лиз 1,8	Лиз 1,7	Лиз 2,6	Ала 10,2
	Глю. к. 0,6	Глю. к. 1,2	Ала 1,5	Глю. к. 9,2
	Пр 0,4	Пр 0,8	Глю. к. 6,0	Пр 9,8
	Ала 0,8	Лей 1,6	Лей 2,5	Фен 0,5
	Лей 0,6	Др. 1,2	Др. 6,0	Др. 0,5
	Др. 0,6			
35	Лиз 0,4	Лиз 0,1	Лиз 0,5	Глю. к. 8,8
	Ала 0,2	Глю. к. 0,2	Ала 0,5	Ала 4,0
	Глю. к. 0,4	Лей 0,2	Глю. к. 1,0	Лей 1,5
	Лей 0,2	Др. 0,1	Др. 1,0	Др. 0,5
	Др. 0,2			

Данные, представленные в табл. 2, показывают, что аминокислоты, образованные с участием радиоактивного углерода ^{14}C -лизина, у разновидности *macrochaeta* активнее участвуют в биосинтезе альбуминов, а у разновидности *vulgata* — в биосинтезе глютелинов и особенно проламинов.

крахмалистого эндосперма не различались, поэтому в данной работе наами представлены микроструктуры *Setaria italicica* var. *macrochaeta*. Анализ микрофотографий (рис. 1, 2) клеток алейронового слоя и центральной части крахмалистого эндосперма

показал, что клетки алайронового слоя характеризуются содержанием больших количеств липидных капель. Известно, что клетки алайронового слоя отличаются от таковых крахмалистого эндосперма большей толщиной стенок, отсутствием крахмала и наличием в них жировых тел [6].

В процессе набухания и прорастания семени чумизы происходит гидролиз белков; так, в некоторых вакуолях обнаруживаются алайроновые зерна округлой формы, в других же

крахмалом, и отложения запасного белка в виде более мелких фрагментов — белковых тел, расположенных между крахмальными зернами. К четвертому дню набухания отмечается отхождение крахмальных зерен от оболочки амилопласта, а также частичный гидролиз крахмальных зерен.

Белковые тела центральной части эндосперма чумизы имеют весьма характерную слоистую структуру. Белковые тела с таким строением обна-



Рис. 1. Алайроновый слой семени чумизы (Х32 000): М — митохондрия; ВАЗ — вакуоль с остатками алайроновых зерен; АЗ—алайроновое зерно; ЛТ—липидное тело; В—вакуоль

наблюдаются лишь их остатки (рис. 1). Для процессов, происходящих в клетках при прорастании, требуется энергия, которую должны поставлять митохондрии. Данные показывают, что клетки алайронового слоя содержат большое количество митохондрий, которые, как видно из рисунка, должны находиться в активном метаболическом состоянии.

На рис. 2 представлена микрофотография центральной части крахмалистого эндосперма семени чумизы. Видны амилопласти, заполненные

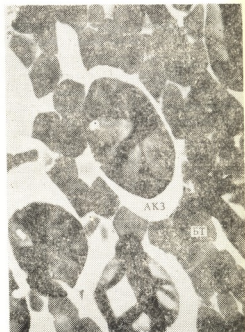


Рис. 2. Центральная часть крахмалистого эндосперма семени чумизы (Х 20 000): АКЗ — амилопласт с крахмальным зерном; БТ — белковое тело

ружены в крахмалистом эндосперме риса, кукурузы и щетинника [2, 11, 14, 15]. Интересно отметить, что последний считается диким предшественником чумизы.

Основное достижение в области ультраструктурных механизмов отложения белков семян в запас — установление двух главных путей запасания белка — вакуолярного, свойственного большинству видов растений, и второго, ограниченного, по всей вероятности, семейством злаков и сводящегося к отложению запасного белка

непосредственно в расширениях гранулярного эндоплазматического ретикулума [6]. Наши данные дают основание предположить, что алейроновые зерна семени чумизы могут иметь вакуолярное происхождение, а белковые тела центральной части крахмалистого эндосперма могут быть образованы в расширениях гранулярно-эндоплазматического ретикулума. Согласно литературным данным у отдельных видов семейства злаков могут

функционировать либо оба указанных механизма, либо только второй, путем отложения белка в запас [2, 4, 10]. Если вакуолярная теория происхождения алейроновых зерен справедлива, то остается невыясненным, где происходит синтез белков и как они попадают в вакуоль. Для решения данного вопроса требуется проведение более целенаправленных экспериментов.

ЛИТЕРАТУРА

1. Аронов С. Изотопные методы в биохимии, М., ИЛ, 1959.
2. Иванова Д. И. Исследование запасных белков рисовой зерновки в процессе созревания и прорастания, Автограф. канд. дисс., М., 1973.
3. Методы белкового и аминокислотного анализа растений (методические указания), Л., ВИР, 1973.
4. Петибская В. С., Красноок Н. П. Физиол. растений, 20, 510—513, 1973.
5. Пирин И. Биохимические методы анализа растений, М., ИЛ, 1960.
6. Соболев А. М. Запасные белки в семенах растений, М., «Наука», 1985.
7. Чигвиnadze Т. Д. Белки обычной и высоколизиновой кукурузы и участие CO_2 , лизина и лейцина в их образовании, Канд. дисс., Тбилиси, 1983.
8. Школьник Р. Я., Доман Н. Г., Коцтилев В. Н. Биохимия, 26, 4, 621—625, 1961.
9. Bright S. W. J., Featherstone L. C., Miflin B. J. Planta, 146, 5, 629—633, 1979.
10. Buitrose M. J. Biol. Sci., 16, 2, 768—774, 1963.
11. Khoo U., Wolf M. Amer. J. Bot., 57, 1042—1050, 1970.
12. Mehta S. L., Lodha W. L., Malipatil P. C., Singh Y., Naik M. S. Phytochemistry, 12, 2815—2820, 1973.
13. Miflin B. J., Shewry P. R. Recent advances in the Biochemistry of cereals, Acad. Press, Z., N. Y. 1979, 239—273.
14. Mitsuda H., Murakami K., Kuwane T., Jasumoto K. Arch. Biochem. and Biophys., 130, 1—2, 678—680, 1969.
15. Rost T. L. Protoplasma, 73, 3—4, 475—479, 1971.
16. Sodek L., Wilson C. M. Arch. Biochem. and Biophys., 140, 1, 29—39, 1970.
17. Sodek L., Wilson C. M. Biochem. Biophys. Acta, 304, 2, 353—362, 1973.

214C-ლიზინის რადიოაქტიური ნაზირბაძის მონაზილეოგა ღოვის
(SETARIA ITALICA SSP. COLCHICA) გარცვლის ცილის
ფრაგმენების ზარმოქმნაში და ლომის გარცვლის
ულტრასტრუქტურა

თ. ჩილვინაძე, თ. ჭარდიაშვილი, გ. ჯახაია

საქართველოს მეცნიერებათა აკადემიის მცენარეთა ბიოქიმიის ინსტიტუტი, თბილისი

რეზიუმე

შესწავლის იქნა ^{214}C -ლიზინის რა-
დიოაქტიური ნაზირბაძის მონაზილეოგა
ლომის ქართული სახესხვაობების გარ-
ცვლის ცილების წარმოქმნაში დამწიფების

პროცესთან დაკავშირდებით. ნაჩვენებია,
რომ სახესხვაობა Setaria italica var.
macrochaeta-ს პროლამინები გაცილებით
ნაკლებად რადიოაქტიურია Setaria itali-



ca var. vulgata-სთან შედარებით, ^{214}C -ლიზინის რადიოაქტიური ნახშირბადის მონაწილეობის შედეგად წარმოქმნილი ამინომჟავები აქტიურად ჩაერთვება სახესხვაობა macrochaeta-ს ალბუმინების ბიოსინთეზში, ხოლო სახესხვაობა vulgata-ში — გლუტელინებში და განსაკუთრებით პროლამინებში.

ზემოთ აღნიშნულ სახესხვაობები აღერთნის შრისა და ცენტრალური ნაწილის სახამებლოვანი ენდოსპერმის უკ-

რედების ულტრასტრუქტურული მიზანურებები ტექტონიკით არ განსხვავდება. შილებული მონაცემები საფუძველს იძლევა ვივარაულოთ, რომ ღომის ოსლის ალეირონის მარცვალს შესაძლოა პერნდეს ვაკუოლური წარმოშობა, ხოლო ცენტრალური ნაწილის სახამებლოვანი ენდოსპერმის ცილის სხეულები შესაძლოა წარმოქმნილი იყოს გრანულარულ ენდოპლაზმატური რი რეტიკულუმის გაფართოებებში.

PARTICIPATION OF ^{214}C - LYSINE RADIOACTIVE CARBON IN THE FORMATION OF DIFFERENT PROTEIN FRACTIONS AND ULTRASTRUCTURE OF ITALIAN MILLET (*SETARIA ITALICA* SSP. COLCHICA) SEEDS

T. CHIGVINADZE, T. ZARDIASHVILI, M. KAKHAIA

Institute of Plant Biochemistry, Georgian Academy of Sciences, Tbilisi

Summary

Participation of ^{214}C - lysine radioactive carbon in the formation of different seed protein fractions of various two Georgian Italian millet varieties was studied. It was shown that the radioactivity of prolamines is considerably low in var. macrochaeta than in var. vulgata. The amino acids formed by the radioactive carbon of ^{214}C - lysine, take an active part in biosynthesis of albumins in var. macrochaeta, while in var.

vulgata—in biosynthesis of glutelins and especially of prolamins.

The above varieties did not differ by ultrastructural cell architectonic of aleironic layer and central part of a starchy endosperm. According to the obtained data, it was suggested that protein bodies of aleironic layer are of vacuolar origin, whereas protein bodies of starch endosperms are formed in expansions of the granular endoplasmatic reticulum.

УДК 616.12—005.4+615.22+612.13—08—039.57

ФАРМАКОЛОГИЯ

ВЛИЯНИЕ ИОНАХЛАЗИНА НА СИСТЕМУ КРОВООБРАЩЕНИЯ В ПОКОЕ И ПРИ ОРТОСТАТИЧЕСКОЙ ПРОБЕ У БОЛЬНЫХ ХРОНИЧЕСКОЙ ИШЕМИЧЕСКОЙ БОЛЕЗНЬЮ СЕРДЦА

А. Л. Исакадзе

Тбилисский государственный медицинский институт

Поступила в редакцию 27.02.90

В амбулаторных условиях обследовано 45 мужчин стабильной стенокардией напряжения, получивших терапию ионахлазином (Нх). При применении суточных доз 90—180 мг не отмечался достоверный антиангинальный эффект. При дозах 400—600 мг/сутки антиангинальный эффект отмечен у 50% больных. При этом, однако, значительно возросла и частота побочных явлений. Малые дозы Нх не вызывают достоверных гемодинамических сдвигов. Применение высоких доз сопровождается умеренным повышением артериального давления (АД), частоты сердечных сокращений (ЧСС) и сердечного индекса (СИ). Независимо от дозы, реакция системы кровообращения на переход в ортостатическое положение отчетливо не меняется. Не отмечается неблагоприятное влияние Нх на основные виды метаболизма.

Среди препаратов, обладающих бета-тиамилирующими свойствами, используемыми для лечения больных ХИБС, большое внимание привлекал отечественный препарат Нх. Ранее мы сообщали [6] о недостаточном антиангинальном эффекте Нх, применявшемся

в суточной дозе 90—180 мг/сутки. Целью настоящего исследования было изучение антиангинального эффекта и влияния на систему кровообращения Нх, примененного в более высокой, чем раньше, дозе.

МАТЕРИАЛ И МЕТОДЫ

В амбулаторных условиях наблюдалось 45 мужчин со стабильной стенокардией напряжения II—III функционального классов в возрасте 41—59 лет (средний возраст $53,4 \pm 4,7$ года). 18 больных в прошлом перенесли острый инфаркт миокарда. У всех больных отсутствовали явные признаки недостаточности кровообращения и стабильное повышение АД. За 7—10 дней до начала лечения отменялись все лекарственные препараты, кроме нитроглицерина для купирования приступов стенокардии. Нх применялся в суточной дозе 400—600 мг (средняя суточная доза $525,0 \pm 5,1$ мг). До нач-

ала лечения, через 2—3 недели и 4—6 месяцев проводились повторные исследования гемодинамики в покое, при горизонтальном положении тела и на 10-й минуте активной ортостатической пробы. Методика исследования описана нами ранее [16]. Антиангинальный эффект считался положительным, если частота приступов стенокардии уменьшалась не менее, чем в 2 раза. У 36 больных до начала и через 3—4 месяца после лечения исследовались уровни общего холестерина, триглицеридов, глюкозы и мочевой кислоты в крови.



По данным многих авторов Нх в суточной дозе 90—180 мг обладает высокой антиангинальной активностью: положительный эффект отмечается у 70—80% больных ХИБС [1, 4, 5, 8, 9, 10]. Указывалось также, что Нх купирует приступы стенокардии даже в случаях, когда нитроглицерин неэффективен [5]. Однако в единичных исследованиях [3, 5] отмечено, что Нх в указанной суточной дозе не ведет к достоверному уменьшению числа приступов стенокардии и количества принятых таблеток нитроглицерина. В наших исследованиях при применении Нх в высокой суточной дозе (400—600 мг) отчетливый антиангинальный эффект в течение первых 2—3 недель лечения отмечен почти у половины больных (табл. 1). У 5 больных приступы исчезли, однако у 19 препарат оказался неэффективным; при этом у

та. Следует отметить, что Нх в суточной дозе 90—180 мг неблагоприятные побочные эффекты отмечались примерно у 1/4 больных. При применении более высоких доз Нх отмечалось отчетливое увеличение частоты и выраженности по характеру побочных проявлений (у 19 из 41 человека), при этом у 6 отмечено появление головной боли, у 6 — повышение АД, у 4 — выраженная слабость, у 2 — экстрасистолия. Снижение дозы сопровождалось уменьшением частоты и выраженности этих проявлений, однако при этом у 5 человек уменьшился и антиангинальный эффект. Полагают, что в основе антиангинального эффекта Нх лежит его способность стимулирования бета-адренорецепторов миокарда и накопления в нем норадреналина [7, 15]. Экспериментально установлено, что под влиянием Нх

Таблица 1

Влияние монотерапии нонахлазином в разных суточных дозах на частоту приступов стенокардии

Показатели	Суточная доза нонахлазина					
	90 — 180 мг **		400 — 600 мг			
	I	II	I	II	III	
Число приступов стенокардии в неделю ($M \pm m$)	20,2 ± 2,4	17,1 ± 2,1	21,3 ± 2,5	13,2 ± 1,4	12,2 ± 1,7*	
Всего больных	41	41	45	45	41	
с урежением приступов более чем в 2 раза		6		21	23	
с исчезновением		2		5	6	
без эффекта		30		14	12	
с учащением		3		5	—	

Условные обозначения: I — до лечения; II — короткий курс; III — длительный курс;
* — различие статистически достоверно относительно показателей до лечения; ** — данные предыдущего исследования

5 из них приступы стенокардии участились.

При длительном курсе лечения (4—6 месяцев) не отмечено достоверного увеличения антиангинального эффек-

та. Нарастает коронарный кровоток, причем в значительно большей степени чем сократимость миокарда. Это и приводит к антиангинальному эффекту Нх [7].



Проявлению антиангинального эффекта Нх способствует также и возможность «переключения» на анаэробный путь образования энергии за счет активизации гликогенолиза под влиянием норадреналина [7, 15]. Отдельные авторы объясняют антиангинальный эффект Нх, его способностью нормализовать реологические свойства крови [10], а также блокировать поступление ионов Ca^{++} в гладкомышечные клетки коронарных артерий [12, 13].

Характер гемодинамических сдвигов изучался лишь при применении малых доз (90—180 мг/сутки) Нх. При этом рядом авторов не отмечены достоверные изменения высоты АД и ЧСС [3, 10, 14], другие отмечали повышение как АД систолического (АД_с), так и диастолического (АД_д) [4], а также увеличение ЧСС [2, 5]. Не отмечалось также достоверных изменений сердечного выброса [10, 12]. При применении Нх в суточной дозе 90—180 мг достоверных гемодинамических сдвигов мы не выявили (табл. 2). При применении высоких доз Нх выявлено умеренное, но достоверное повышение АД, увеличение ЧСС и тенденция к нарастанию СИ. Удельное периферическое сопротивление (УПС) несколько снижается. Эти гемодинамические сдвиги обусловлены возбуждением бета-адреноструктур миокарда.

Наши исследованиями установлено, что Нх, независимо от дозы, не оказывает выраженного влияния на характер ортостатических сдвигов системы кровообращения, как при коротком, так и при длительном курсах лечения (табл. 3); не выявлено изменения уровня общего холестерина, триглицеридов, глюкозы и мочевой кислоты в крови.

Таким образом, лечение Нх в общепринятой дозе 90—180 мг/сутки, не сопровождается у большинства больных ХИБС достоверным антиангинальным эффектом и гемодинамическими сдвигами. Увеличение дозы Нх до 400—600 мг/сутки сопровождается увеличением частоты и выраженности антиангинального действия, но при этом, также нарастают и частота неблагоприятных побочных действий, что в значительной мере ограничивает возможность практического использования препарата.

Таблица 2

Изменение показателей центральной гемодинамики ($M \pm m$) у больных ХИБС в покое на фоне короткого и длительного курса лечения различными дозами нонаклазина

Показатели	Суточная доза нонаклазина						$\Delta\%$	
	90—180 мг		400—600 мг		III			
	I	II	Δ%	I	II	Δ%		
АДс мм рт. ст.	127,0 ± 1,8	132,0 ± 1,9	3,1 ± 0,7	130,0 ± 1,7	139,0 ± 1,6*	7,2 ± 0,6	137,0 ± 1,4*	
АД _д мм рт. ст.	83,0 ± 1,6	84,0 ± 1,7	1,9 ± 1,6	85,0 ± 1,5	90,0 ± 1,6*	4,6 ± 1,2	88,0 ± 1,7	
ЧСС в мин	66,0 ± 1,7	67,0 ± 1,9	0,8 ± 1,3	64,0 ± 1,6	72,0 ± 1,8*	11,3 ± 1,9	70,0 ± 1,7*	
СИ $\text{л}/\text{мин} \cdot \text{м}^2$	2,85 ± 0,2	2,41 ± 0,2	2,8 ± 0,7	2,91 ± 0,2	3,18 ± 0,12*	9,8 ± 1,8	3,09 ± 0,1*	
УПС $\text{м}^2/\text{мин} \cdot \text{м}^2$	42,1 ± 1,8	43,1 ± 1,8	1,9 ± 0,6	42,1 ± 1,9	44,8 ± 1,7	2,1 ± 0,7	45,1 ± 1,8	
УПС $\text{дин. с} \cdot \text{см}^{-5} \cdot \text{м}^2$	2790 ± 178	2680 ± 170	-5,5 ± 1,7	2788 ± 169	2620 ± 172	-6,4 ± 1,8	2610 ± 160	

Условные обозначения: $\Delta\%$ — средняя от индивидуальных процентных сдвигов; * — различие статистически достоверно ($P < 0,05$)

относительно показателей до лечения

Таблица 3

Изменение показателей центральной гемодинамики ($M_{\text{дв}}$) у больных ХНБС в ортостатическом положении
по фазе короткого и длительного курса лечения гипокалициемии

Показатели	До лечения			Суточная доза ионокалиция								
				90–180 мг			400–600 мг					
				Короткий курс			Короткий курс			Длительный курс		
	Лежа	Стоя	$\Delta\%$	Лежа	Стоя	$\Delta\%$	Лежа	Стоя	$\Delta\%$	Лежа	Стоя	$\Delta\%$
АДс мм рт. ст.	127,0 ± 1,8	124,0 ± 1,6	- 2,4 ± 0,7	132,0 ± 1,9	130,0 ± 1,6	- 1,9 ± 1,1	139,0 ± 1,6	135,0 ± 2,4	- 3,8 ± 1,3	137,0 ± 1,4	134,0 ± 2,1	- 3,9 ± 1,1
АДп мм рт. ст.	89,0 ± 1,6	88,0 ± 1,7	- 7,1 ± 1,7	84,0 ± 1,7	89,0 ± 1,8	7,4 ± 1,8	99,0 ± 1,6	98,0 ± 1,9	- 1,8 ± 1,6	89,0 ± 1,7	96,0 ± 2,0	7,1 ± 1,8
ЧОС в мин	66,0 ± 1,7	76,0 ± 1,7	14,5 ± 2,1	67,0 ± 1,9	77,0 ± 1,8	15,1 ± 2,2	72,0 ± 1,8	83,0 ± 1,7	16,9 ± 2,3	70,0 ± 1,7	81,0 ± 1,8	17,3 ± 2,4
СИ л/мин m^2	2,85 ± 0,2	2,68 ± 0,18	- 7,6 ± 1,3	2,91 ± 0,2	2,71 ± 0,17	- 7,4 ± 1,4	3,18 ± 0,12	2,88 ± 0,14	- 8,3 ± 1,9	3,09 ± 0,1	2,78 ± 0,15	- 9,1 ± 0,4
УИ m^2	42,1 ± 1,8	32,9 ± 1,7	- 20,8 ± 2,4	43,1 ± 1,8	33,2 ± 1,6	- 19,8 ± 2,3	44,8 ± 1,7	33,8 ± 1,6	- 19,8 ± 2,4	45,1 ± 1,8	30,1 ± 1,8	- 18,9 ± 2,5
УПС физ. с. $cm^{-2} m^2$	2790 ± 178	3280 ± 210	21,3 ± 1,7	2680 ± 170	3191 ± 208	22,3 ± 1,8	2620 ± 172	3090 ± 204	19,2 ± 1,9	2610 ± 160	3112 ± 221	19,1 ± 2,4

Условные обозначения: различие статистически достоверно ($P < 0,05$), относительно показателей: * — до лечения, ** — после



ЛИТЕРАТУРА

1. Боровков А. И., Аслибекян И. С., Кириченко А. А. Нонахлазин в клинике и эксперименте, Сб. докладов, Тбилиси, 1976, 31—32.
2. Бурлан Э. Ф. Нонахлазин в клинике и эксперименте. Сб. докладов, Тбилиси, 1976, 41—43.
3. Глезер Г. А., Шрайбер Н. М., Пак Г. П., Москаленко Н. П. Кардиология, 20, 7, 53—56, 1980.
4. Буброва Г. А., Давыдова Р. Г., Маркова Г. А., Клиническая медицина, 52, 10, 1974, 47—50.
5. Заславская Р. М., Ланкес Т. К., Лернер Н. В., Рядовой Г. В. Нонахлазин в клинике и эксперименте, Сб. докладов, Тбилиси, 1976, 38—40.
6. Исаакадзе А. Л. Мат. симп. «Инфаркт миокарда», Тбилиси, 1989, 391—392.
7. Каверина Н. В., Маркова Г. А., Чичков Г. Г. Нонахлазин в клинике и эксперименте, Сб. докладов, Тбилиси, 1976, 3—5.
8. Кобаладзе С. Г., Машавили Е. С., Митайшвили Н. И. Нонахлазин в клинике и эксперименте, Сб. докладов, Тбилиси, 1976, 25—27.
9. Метелица В. И., Чазова Л. В., Гриноевиц Р. А. Тер. архив, 49, 4, 44—48, 1977.
10. Савенков П. М., Смирнова Н. Л., Савенков М. П. Нонахлазин в клинике и эксперименте, Сб. докладов, Тбилиси, 1976, 35—37.
11. Турманаули Г. С. Нонахлазин в клинике и эксперименте, Сб. докладов, Тбилиси, 1976, 21—22.
12. Цинцадзе Г. И., Лившин З. З., Валишвили Т. С., Саришвили М. И. Нонахлазин в клинике и эксперименте, Сб. докладов, Тбилиси, 1976, 33—34.
13. Шишкин С. Б., Барапов А. Г. Фармак. и токсикол., 44, 3, 1981, 21—23.
14. Шхвачабая И. К., Чазова Л. В., Метелица В. И. Нонахлазин в клинике и эксперименте, Сб. докладов, Тбилиси, 1976, 23—24.
15. Юренев А. П., Чумбуридзе В. Б., Атьков Ю. О. Нонахлазин в клинике и эксперименте. Сб. докладов, Тбилиси, 1976, 28—30.
16. ისაკაძე ა. საქართველოს სამედიცინო მოებე, 5, 20—23, 1990.

ნონახლაზინის გავლენა ცისალგიდოვის ცისტიმაზი
მოსივინისა და ორთოსტატიურ მდგომარეობაში გულის
ჩრონიკული იმიგრირი დავადებისას

ა. მსაკაპ

თბილისის სახელმწიფო სამედიცინო ინსტიტუტი

რეზიუმე

ნონახლიზინით ამბულატორიული მკურნალობა ჩატარებული დამაბეჭის სტაბილური სტროკარდიით (II—III ფუნქციური კლასი) 45 ავადმყოფს. მიღებული დოზებით მკურნალობა (90—180 მ/გ დღე-დამეში) არ იწვევს სარწმუნო ჰემодინამიკურ ცვლილებებს. მკურნალობის დოზის გაზრდა დღევაში 400—600 მგ-მდე ავადმყოფთა 50%-ში გამოიწვია დადებითი ანტიანგინური ეფექტი. ამასთან ზომი-

ერად გაიზარდა არტერიული წნევა, გულის შეკუმშვათა სიხშირე და გულის ინდექსი, რასაც თან ახლდა არასასურველი გეერდითი მოვლენების მომატება. მკურნალობის დოზის მიუხედავად ნონახლაზინი არ ახდენს მნიშვნელოვან გავლენას სისხლმიმოქცევის სისტემის ორთოსტატურ რეგულაციაზე და მეტაბოლიზმის მიზრითად მაჩვენებლებზე.

THE EFFECT OF NONACHLASINE ON BLOOD CIRCULATION SYSTEM AT REST AND ORTHOSTATIC STATE AMONG PATIENTS WITH CHRONIC ISCHEMIC HEART DISEASE

A. ISAKADZE

Tbilisi State Medical Institute

Summary

45 out-patients with a stable stenocardia have been treated by nonachlasine.

The application of the preparation with generally accepted doses—90—180 mg daily—is not accompanied by hemodynamic shift.

While increasing the doses to 400—600 mg daily, the antianginal effect has

been revealed in 50% of patients.

Heart rate, cardiac index, arterial pressure have been moderately increased (as well as side effects).

Inspite of the dose, nonachlasine does not affect orthostatic state of blood circulation and principal kinds of metabolism.

გვ. 581.132

მცხვარეთა ფიზიოლოგია

კლორამფენიგოლის და სიმაზიდის გავლინა პიგმენტების
ბიოსინთეზისა და ზრდის პროცესზე სიმიზიდი

ქ. მატევაშვილი, ი. სიარულიძე, გ. ჩიგინიავაშვილი, ი. აიანაშვილი,
მ. სარაჯიშვილი, გ. გვათაძე

საქართველოს მეცნიერებათა აკადემიის ნ. კეცხოველის სახელობის ბორციკის ინსტიტუტი

შემოსულია რედაქტირაში 07.09.91

ზრდის პროცესების და პიგმენტების ბიოსინთეზის ურთიერთდამოკიდებულების გარევევის
მიწოდო მცენარის განვითარების აღრეულ სტადიაზე შესწავლებოდა სხვათსხვა კოსეციტრა-
ციის ინტენსიტეტების ქლორამფენიგოლის და სიმაზიდის გავლენა. ისახებრებოდა პლასტილი-
ტ პიგმენტების და ანთოციანების რაოდენობრივი შემცველობა ფოთლებში, კოლუმბიუმში,
მეზოფილში და ფესვებში. დაგვინდა, რომ მდგალი და სახუალო კოსეციტრაციის ინტენ-
ტორები ზღუდვენ მცენარის ზრდის პროცესებს და ანთოციანების ბიოსინთეზს. იმყოფი-
ულად, ზოგ შემთხვევაში, აღინიშნება პლასტილიტი პიგმენტების რაოდენობრივი შემცველო-
ბის მატება.

ინტენტორი ქლორამფენიგოლი იწვევს
სტრუქტურულად დავაშირებული ქლო-
როფილების ფორმების [9] და ქლორო-
ფილების ბიოსინთეზის აქტიური ცენტრე-
ბის რიცხვის შემცირებას [22]. გარდა
ამისა, დაგვინდილია ქლორამფენიგოლის
ზეგავლენა დი-და ტეტრაპლიდური ჭვა-
ვის ორმოცენების სუბუქრედულ ფრაქ-
ციებს დეზოქსირიბონულებაზის აქტი-
ობაზე [4], შიბატროგვის ძვრაზე და ბრო-
ტოქლოროფილიდის რეგენერაციაზე [7].
კვლევა წარმოებს ქლოროპლასტების შე-
მაღვენელ ცილებზე და თვით ქლორო-
პლასტების სტრუქტურაზე აღნიშნული
ინტენტორის ზეგავლენის დაგვინდის მი-
მართებითაც [6, 14, 16, 19]. ყურადსალე-
ბია ქლორამფენიგოლის ზემოქმედებით
გამოწევილი პიგმენტების მატებაც [24].
ხოლ 70 S რიბოსომებზე ცილოვანი სინ-
თეზის ინტენტორი ქლორამფენიგოლი,
როგორც ირკვევა, ააქტივებს ჭვავის ეთონ-
ლირებულ ნაზარდებში ქლოროფილ b-ს
ბიოსინთეზს [22]. რაც შეეხება კარტი-

ნოიდების ინტენტორს — SAW 6706 —
იყი ვერ აღწევს ქლოროპლასტებში და ძი-
რითადად იწვევს ციტოპლაზმის კარო-
ტინოდების სინთეზის ინტენტორებას [26].
არ შეიძლება არ აღინიშნოს მცენარეში,
მიმდინარე ^{14}C - სიმაზინის შეფისების,
ტრანსპორტის და გარდაქმნის პროცესებ-
ზე ჩატარებული კვლევაც [8].

როგორც ჩანს, ინტენტორ ქლორამფე-
ნიგოლის მოქმედების სპექტრი შემოფარ-
გლულია მწვანე პლასტილების პიგმენტუ-
რი სისტემით, კერძოდ ქლოროფილებით,
ხოლო სიმაზინის ზემოქმედება კი — ქლო-
როპლასტრეგენზე ზეგავლენით.

ჩვენს მიზანს შეაღგენდა შეგვეხვადა
ქლორამფენიგოლის და სიმაზინის მოქმე-
დების სპექტრი განათების მონაცემების
ფონზე სიმინდის აღმონაცენების ქლორო-
ფილების და კარტინოდების ბიოსინ-
თეზზე, ასევე არაპლასტილიტი პიგმენტე-
ბის — ანთოციანების ბიოსინთეზზე და
თვით მცენარის ზრდის პროცესზე.



საკვლევ იმურებულ გამოვიყენეთ სიმინდის ჯიში „აჯამეთის თეორი“ [1, 2].

დღები ტარდებოდა ლაბორატორიულ პირობებში.

პლასტიდური პიგმენტების რაოდენობრივი შემცველობა სიმინდის აღმონაცენტრის ფოთლებში, კოლეოპტილში და მეზოკორტილში შეისწავლებოდა ცნობილი მეთოდით [18]. საკვლევი ხსნარების სიმკვრივე ისაზღვრებოდა სპეციტროფორმეტრ „CФ—26“-ზე, პიგმენტების რაოდენობრივი შემცველობა — ვატშტრეინის ფორმულებით [28], სპეციროგბისდამიხედვით შეგვენდა სათათადო შესწორება ფორმულაში ქლოროფილ b-სათვის [5, 21].

ანთოციანური პიგმენტების რაოდენობრივი შემცველობა შეისწავლებოდა სიმინდის აღმონაცენტრის ფუსვებში, მეზოკორტილში და კოლეოპტილში ციანილინის მრუდის გამოყენებით [15]. ცნობილია, რომ სიმინდის სხვადასხვა ჯიშის ანთოციანური პიგმენტების შემაღებელობაში დომინირებს ცაანიდინი [3, 25]. მევარად, ამ მრუდის გამოყენება საკებით გამართლებულა.

წინასწარ დამბალი თესლები კიუვეტით იღებოდა თერმოსტატში (თერმოსტატის $t=26^{\circ}-28^{\circ}\text{C}$) გასაღვივებლად. მეორე დღეს გაღვივებული სიმინდის თესლები გა-

დაგვეონდა პეტრის ჭამებზე ფიქსირების დით შესაბამისი კონცენტრაციის საკვლევ ხსნარებს. პეტრის ჭამები თავსღებოდა თერმოსტატში ერთი დღით. მესამე დღეს სიბნელეში იზომებოდა მცენარეებს სიკრძე. იზომებოდა, აგრეთვე, საერთო კონტროლი და ცდა. შემდეგ ისევ ემატებოდა შესაბამისი კონცენტრაციის საკვლევი ხსნარი და პეტრის ჭამები იღვგებოდა განათებაზე 24 საათით (განათების ინტენსიონი = 1700 ლუქსს). მეოთხე დღეს იზომებოდა მცენარეების სიგრძე და საჭავლებოდა პლასტიდური და არაპლასტიდური პიგმენტების შემცველობა ნაზარებში.

კონტროლი იყო ორგვარი — საერთო კონტროლი და კონტროლი. საერთო კონტროლს წარმოადგენდა დისტილატზე გაზრდილი აღმონაცენტრი, რომლებიც 2 დღის განმავლობაში იმყოფებოდნენ სიბნელეში და ერთი დღე სინათლეზე; კონტროლს — 2 დღე სიბნელეში დისტილატზე და მესამე დღეს სინათლეზე საკვლევ ხსნარზე მცუოთი მცენარეები.

გამოყენებულია ქლორომფენიკოლის და სიმაზინის სამი კონცენტრაციის ხსნარები (10, 50 და 100 მგ/ლ). ზრდის ინტენსიონი აღირიცხებოდა საშუალოდ 10 მცნარეზე, ხოლო ექსპერიმენტი ჩატარდა 3-ჯრადი გამეორებით.

კალიბრის ზოდები და ასათი განილვა

აღმოჩნდა, რომ ქლორომფენიკოლის სხვადასხვა კონცენტრაციით აღმოცენების დამტვავება საკმაოდ მნიშვნელოვან გავლენას ახდენს, როგორც პიგმენტების ბიოსინთეზზე, ასევე აღმონაცენების ზრდის პროცესზე*.

როგორც იჩვევე (ცხრ. 1) საშუალო კონცენტრაციის ქლორომფენიკოლი სიმინდის აღმონაცენტრის ფოთლებში იწვევს, როგორც ქლოროფილების ასევე კაროტინიდების რაოდენობის საგრძნობ შეცვირებას. ხოლო კოლეოპტილში ძირითად აფერხებს კაროტინიდების ბიოსინთეზს.

* კულტ შემთხვევაში ტარდება ცდის ეარიანტის შედარება საერთო კონტროლთან

რაც შეეხება მეზოკოტილის პლასტიდურ პიგმენტებს, მათი ბიოსინთეზი საგრძნობდა და მცენარეების შესაბამისად მწვანე პიგმენტებისთვის დაახლოებით 2-ჯრა, ხოლო კაროტინიდებისთვის — 1.5-ჯრა.

მაღალი კონცენტრაციის ქლორომფენიკოლი აღმონაცენტრის ფოთლებში იწვევს როგორც მწვანე, ასევე ყვითელი პიგმენტების ბიოსინთეზის დაკინებას მაშინ, როდესაც კონტროლთან შედარებით (საკვლევი ხსნარის დამტება ერთგურადია) აღინიშნება ქლოროფილების და კაროტინიდების ბიოსინთეზის რამდენამდე გააქტიურება.

რეზულტატი	პიგმენტები	საერთო კონცენტრა- ცია	ქლორამფინიკოლი 50 მგ/ლ		საერთო კონცენტრა- ცია	ქლორომფინიკოლი 100 მგ/ლ	
			კონცენტრა- ცია	ცდა		კონცენტრა- ცია	ცდა
ცენტრალური	ქლოროფილ a	67	52	43	49	45	45
	ქლოროფილ b	23	20	17	19	14	19
	a+b	90	72	60	68	59	64
	კაროტინოლები c	44	32	29	34	28	31
	a : b	2,9	2,6	2,5	2,5	3,2	2,3
	a+b : c	2,0	2,2	2,0	2,0	2,1	2,0
არაცენტრალური	ქლოროფილ a	4,0	3,1	3,7	2,8	3,4	3,1
	ქლოროფილ b	1,5	1,1	1,6	1,4	1,2	1,4
	a+b	5,5	4,2	5,3	4,2	4,6	4,5
	კაროტინოლები c	2,6	2,0	1,9	3,6	2,2	1,9
	a : b	2,6	2,8	2,3	2,0	2,8	2,2
	a+b : c	2,1	2,1	2,8	1,1	2,0	2,3
ცენტრალური	ქლოროფილ a	0,23	0,28	0,41	0,31	0,28	0,32
	ქლოროფილ b	0,10	0,10	0,25	0,18	0,17	0,15
	a+b	0,33	0,38	0,66	0,49	0,45	0,47
	კაროტინოლები c	0,24	0,30	0,37	0,41	0,35	0,39
	a : b	2,3	2,8	1,6	1,7	1,6	2,1
	a+b : c	1,4	1,2	1,7	1,2	1,3	1,2

კოლეოპტილში აღინიშნება ქლოროფილების ბიოსინთეზის გაეტიაურება და კაროტინოლების ბიოსინთეზის საგრძნობი შესუსტება.

მაღალი კონცენტრაციის ქლორამფინიკოლი პიგმენტების ბიოსინთეზზე მეზოკარტილში გავლენას თოვქმის არ ახდენს.

ბუნებრივია დაისვას კითხვა, როთია განვირობებული მეზოკარტილში (საშუალო კონცენტრაცია) და ნაშილობრივ კოლეოპტილში (მაღალი კონცენტრაცია) პლასტიდური პიგმენტების ბიოსინთეზის გაეტიაურება — მათი საგრძნობი რაოდნობრივი მატება? ამ პლასტიდების განსაკუთრებული მდებარეობით, თუნდაც „განსაკუთრებული“ — შედარებით პრიმიტიული აგებულებით [10—13], თუ მაღალი ფორთაქტიურობით [10, 12], ერთი მხრივ, და, მეორე მხრივ, ამ პლასტიდების პიგმენტური სისტემის ცილა-ლიპიდური კაჟშირის თავისებურებით [10, 11, 13], ცილა-ლიპიდურ კომპლექსში მტკიცედ დაკავშირებული ქლოროფილების დაშლით თუ ლაბილური ფორმების დაგროვებით?

ლიტერატურის მიმოხილვის შედეგად იქვევა, რომ ქლორამფინიკოლი იწვევს

4. Серия биологическая, т. 18, № 3

ქლოროპლასტების ფერმენტების აქტიობის სრულ ინპიბირებას [4]; გარდა ამისა, ერთის მხრივ, უნდა მცირებდეს ქლოროფილების ბიოსინთეზის აქტიური ცენტრების რიცხვს და მეორეს მხრივ კი ცილოფანი სინთეზის ინპიბირება უნდა იწვევდეს წარმოქმნილ ქლოროფილ a-ს მდგომარეობის შეცვლის. უკანასკენილის ლაბილურია თავის მხრივ ხელს უნდა უწყობდეს ქლოროფილ b-ს ფორმირების პროცესს მიმდინარეობას [22]. საინტერესოა, რომ ქლოროპლასტების ულტრასტრუქტურის ცვალებადობაც უკავშირდება ქლორამფინიკოლით გამოწვეულ ქლოროფილ b-ს სიბნელის ბიოსინთეზის გაეტიაურებას [19]. ჩაც კიდევ უფრო გასაგები ხდება თანამედროვე მონაცემებით, სადაც ექსპერიმენტულად დასაბუთებულია ქლოროფილ a-ს და ქლოროფილ b-ს მოლეკულების ურთიერთგარდაქმნა [20].

აქედან გამომდინარე გასაგები ხდება, ზოგ შემთხვევებში, ქლორამფინიკოლით გამოწვეული პლასტიდური პიგმენტების რაოდნობრივი ცვლილება.

ჩაც შეეხება ქლოროფილების შეფარდების, საშუალო კონცენტრაციის ქლორამფინიკოლი იწვევს ამ შეფარდების მაჩ-

უენებლის შემცირებას, ხოლო მაღალი კონცენტრაციის ინტიბიტორი კოლეოპტილსა და მეზოკოტილში იწვევს ამ შეფარდების გაზრდას. ორივე კონცენტრაციის ინტიბიტორი იწვევს ქლოროფილების კარბონილიდებთან შეფარდების მაჩვენებლის გაზრდას.

შეისწავლებოდა აგრეთვე სიმაზინის ზეგავლენა სიმინდის აღმონაცენების ფოთლების, კოლეოპტილის და მეზოკოტილის პლასტილური პიგმენტების ბიოსინთეზე.

ნიშნება პიგმენტების ბიოსინთეზის დანინება.

მაღალი კონცენტრაციის შეფარდების სიმაზინის (ცხრ. 2) კი რამდენიმე სხვა სურას იძლევა. ფოთლებში და კოლეოპტილში თუ აღინიშნება მწვანე პიგმენტების ბიოსინთეზის მაინც შესამჩნევი შემცირება, კარბონილიდების ბიოსინთეზი — პირიქით, საგრძნობლად აქტიურდება. მეზოკოტილში კვლავ აღინიშნება როგორც ქლოროფილების, ისევე კარბოტინოიდების ბიოსინთეზის მნიშვნელოვანი გააქტიურდება.

ცხრილი 2

სიმაზინის გავლენა პლასტილური პიგმენტების შემცელობაზე
(პიგმენტების რაოდნობა მგ% ნედლ წონაზე)

ცხრილი	პიგმენტები	საერთო კონც- როლი	სიმაზინი 10 გ/ლ		საერთო კონც- როლი	სიმაზინი 50 გ/ლ		საერთო კონც- როლი	სიმაზინი 100 გ/ლ	
			კონც- როლი	ცდა		კონც- როლი	ცდა		კონც- როლი	ცდა
ცხრილი 1	ქლოროფილ a	40,0	42,5	26,0	26,0	33,6	37,5	32,5	29,5	28,5
	ქლოროფილ b	17,5	20,0	13,0	14,0	17,6	15,5	13,5	11,5	12,5
	a+b	57,5	62,5	39,0	40,0	51,2	53,0	46,0	41,0	41,0
	კარბოტინოიდები c	29,5	24,5	19,5	22,5	26,5	27,5	24,5	24,5	32,0
	a : b	2,2	2,1	2,0	1,8	1,9	2,4	2,4	2,5	2,2
	a+b : c	1,9	2,5	2,0	1,7	1,9	1,9	1,8	1,6	1,2
ცხრილი 2	ქლოროფილ a	4,0	4,45	4,1	4,35	4,95	4,65	4,95	5,5	5,2
	ქლოროფილ b	1,83	1,9	1,33	2,0	2,0	2,4	1,95	1,6	1,6
	a+b	5,85	6,35	5,43	6,35	6,95	7,05	6,9	7,1	6,8
	კარბოტინოიდები c	3,0	3,45	3,15	3,5	3,15	3,45	2,75	4,3	4,0
	a : b	2,1	2,3	3,0	2,1	2,4	1,9	2,5	3,4	3,2
	a+b : c	1,9	1,8	1,7	1,8	2,2	2,0	2,5	1,6	1,7
ცხრილი 3	ქლოროფილ a	1,26	1,10	1,44	0,6	0,84	0,6	0,3	0,52	0,78
	ქლოროფილ b	1,05	0,72	1,08	0,5	0,35	0,45	0,24	0,15	0,32
	a+b	2,31	1,82	2,52	1,1	1,19	1,05	0,54	0,67	1,1
	კარბოტინოიდები c	0,83	0,89	1,43	0,77	0,79	0,7	0,31	0,76	0,87
	a : b	1,2	1,5	1,3	1,2	2,4	1,3	1,2	3,4	2,4
	a+b : c	2,7	2,0	1,7	1,4	1,5	1,5	1,7	0,80	1,2

ირკვევა, რომ დაბალი კონცენტრაციის სიმაზინი (ცხრ. 2) იწვევს ქლოროფილების და კარბონილიდების ბიოსინთეზის საგრძნობ დაკინიხებას, როგორც ფოთლებში ისევე კოლეოპტილში. მეზოკოტილში კი აღინიშნება პლასტილური პიგმენტების ბიოსინთეზის გააქტიურდება.

ქლოროამფენიკოლისაგან განსხვავებით საშუალო კონცენტრაციის სიმაზინი (ცხრ. 2) იწვევს პლასტილური პიგმენტების ბიოსინთეზის საგრძნობ გააქტიურდებას, როგორც ფოთლებში, ისევე კოლეოპტილში, ხოლო მეზოკოტილში კი პირიქით — აღი-

ბელი სიმაზინის ზემოქმედების შედეგად ძირითადად მატულობს, ხოლო ქლოროფილების კარბონილიდებთან — დაბალი და მაღალი კონცენტრაციის სიმაზინის გამოყენებისას კლებულობს მეზოკოტილსა და კოლეოპტილში, მაშინ როდესაც ამ შეფარდების მაჩვენებელი ფოთლებში იზრდება დაბალი და საშუალო კონცენტრაციის სიმაზინის გამოყენების შემთხვევაში, ხოლო მაღალი კონცენტრაციისას — კლებულობს.

სიმაზინის ზემოქმედების შედეგად კარტინოიდების მატება შეიძლება გამოწვეული იყოს არა ქლოროპლასტების კარტინოიდების მატებით, არამედ თვით პროტოპლასტის კარტინოიდების ბიოსინთეზის გაეტრიურებით, ხოლო ქლოროფილებისა კი (მეზოკორტილში, ზოგ შემთხვევაში ფოთლებსა და კოლეოპტილში) — წარმოქმნილ ქლოროფილ ა-ს მდგრადარეობის შეცვლით.

საერთოდ კი არ არის გამორჩეული, რომ ქლოროფილები ასრულებენ ფოთლებულებრივი როლს [27], რომელიც ჩოგორც ჩას უნდა მონაწილეობდნენ ქლორამფენიკოლის და სიმაზინის ჰერბიციდული აქტიობის რეალიზაციაშიც.

ქლორამფენიკოლი სიმინდის აღმონაცენების ფესვების, მეზოკორტილის და კოლეოპტილის არაპლასტიდური პიგმენტების — ანთოციანურის ბიოსინთეზში უარყოფით გავლენას ახდენს (ცხრ. 3).

ცენტრაცია) კი ხდება ანთოციანური პიგმენტების ბიოსინთეზის გააქტიურირებით გორც ჩას, ქლორამფენიკოლის ჰერბიციდული დი ზემოქმედება იწვევს ანთოციანური პიგმენტების ბიოსინთეზის გარკვეულ სტიმულირებას.

ანთოციანური პიგმენტების ბიოსინთეზში სიმაზინის გავლენა მყვეთოდ განსხვავდება ქლორამფენიკოლის ზეგავლენისაგან.

თუ სიმაზინის დაბალი კონცენტრაციის სინარი (ცხრ. 4) მხოლოდ ფესვებში იწვევს ანთოციანური პიგმენტების ბიოსინთეზის საგრძნობ დაკინებას, მაღალი კონცენტრაციის სინარები (და დაბალი — კოლეოპტილსა და მეზოკორტილისათვის) იწვევს ანთოციანური პიგმენტების რაოდენობრივ მატებას, როგორც ფესვებში, ისევე კოლეოპტილსა და მეზოკორტილში. ერთი კია, რომ სიმაზინის შემთხვევაშიც მისი ერთჯერადი ზემოქმედება ფესვებში

ცხრ. 3

ქლორამფენიკოლის გავლენა სიმინდის ნახარდების ანთოციანური პიგმენტების შეცველობაზე გვ % ნედლ წონაშე

ორგანო	საერთო კონტროლი	ქლორამფენიკოლი 10 მგ/ლ		საერთო კონტროლი	ქლორამფენიკოლი 50 მგ/ლ		საერთო კონტროლი	ქლორამფენიკოლი 100 მგ/ლ	
		კონტროლი	ცდა		კონტროლი	ცდა		კონტროლი	ცდა
		კონტროლი	ცდა		კონტროლი	ცდა		კონტროლი	ცდა
ფეხვი მეზოკორტილი კოლეოპტილი	20,0 1,62 0,91	25,0 1,38 1,10	14,0 0,69 0,60	25,0 2,28 1,04	16,5 1,84 0,80	24,0 1,60 0,87	25,5 0,87 0,43	26,1 0,69 0,50	21,0 1,02 0,50

კერძოდ, ფესვებში ანთოციანური პიგმენტების ბიოსინთეზი საერთო კონტროლთან შედარებით საგრძნობლად კრინდება. თვით კონტროლში (დაბალი და მაღალი კონ-

(დაბალი და მაღალი კონცენტრაცია), მეზოკორტილსა და კოლეოპტილში (საშუალო და მაღალი კონცენტრაცია) იწვევს აგრეთვე ანთოციანური პიგმენტების ბიოსინ-

ცხრ. 4

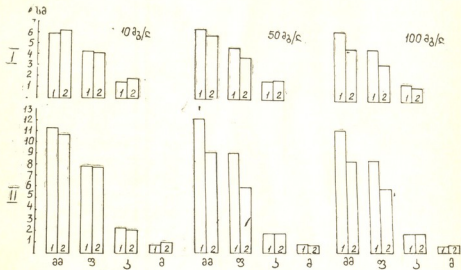
სიმაზინის გავლენა სიმინდის ნახარდების ანთოციანური პიგმენტების შეცველობაზე გვ % ნედლ წონაშე

ორგანო	საერთო კონტროლი	სიმაზინი 10 მგ/ლ		საერთო კონტროლი	სიმაზინი 50 მგ/ლ		საერთო კონტროლი	სიმაზინი 100 მგ/ლ	
		კონტროლი	ცდა		კონტროლი	ცდა		კონტროლი	ცდა
		კონტროლი	ცდა		კონტროლი	ცდა		კონტროლი	ცდა
ფეხვი მეზოკორტილი კოლეოპტილი	37,6 15,0 3,4	40,1 13,2 2,9	29,3 22,5 4,5	33,1 18,9 3,7	23,1 27,1 4,4	32,5 22,5 5,5	16,8 4,3 2,8	24,3 8,1 5,3	20,0 8,8 5,6

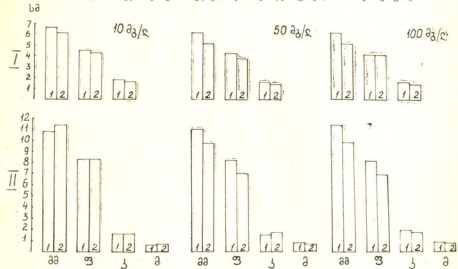
თეზის ერთგვარ სტიმულირებას საკონტროლო ვარიანტში.

ვფიქრობთ, არაა გამორიცხული, რომ ქლორამფენივოლს და სიმაზინს მოქმედების უფრო ფართო სპექტრი გააჩ-

განათების რეეიმს და ა. შ.). მათი უფრო მნიშვნელოვანი იყოთ, რომ მეორეს მნიშვნელობის ფარგლენი გავლენა ციტოსტატიკული ლოვან კომპონენტებზე თავისებურ დაღუნდა ასვავდეს ანთოციანური პიგმენტე-



სურ. 1. ქლორამფენივოლის გავლენა სიმინდის ნაშარდების ზრდის პროცესზე: I-II — განათების რეეიმის პირველი და მეორე ვარიანტი; 1 — საერთო კონტროლი; 2 — ცდა; 3 — მოლიანი მცენარე; 4 — ფესვი; 5 — კოლეოპტალი; 6 — მეზოკოტილი



სურ. 2. სიმინდის გავლენა სიმინდის ნაშარდების ზრდის პროცესზე: I-II — განათების რეეიმის პირველი და მეორე ვარიანტი; 1 — საერთო კონტროლი; 2 — ცდა; 3 — მოლიანი მცენარე; 4 — ფესვი; 5 — კოლეოპტალი; 6 — მეზოკოტილი

ნდეთ (მითუმეტეს თუ მხედველობაში მი-
ვიღებთ ინტიმურის კონცენტრაციას,
მის ზემოქმედების სიხშირეს მცენარეზე,
მცენარის ფიზიოლოგიურ მდგრადობას,

ბის რაოდენობრივ შემცველობას, თუ-
დაც ბიოსინთეზს. მითუმეტეს, რომ ამ ბო-
ლო დროს სულ უფრო ვრწმუნდებით ან-
თოციანური პიგმენტების წარმოქმნის ცი-

ტოპლაზმატური სტრუქტურის არსებობაზე [10, 17, 23].

შეისწავლებოდა ოგრეთვე ორივე ინკიბიტორის გავლენა აღმონაცენთა ზრდის პროცესზე. ზრდის პროცესი შეისწავლებოდა განათების რეგისტრის ორ ვარიანტში: 48-სათიან უწყვეტ სიბნელეში (I ვარიანტი) და 48-სათიან უწყვეტ სიბნელეს ენაცელებოდა 24-სათიანი უწყვეტი განათება (II ვარიანტი)*.

როგორც ჩვენი მონაცემებიდან (სურ. 1) ირკვევა საშუალო და მაღალი კონცენტრაციის ინკიბიტორები განათების რეგისტრის ორივე ვარიანტში შემაფერხებლად მოქმედებენ მთლიანი მცენარისა და ფესვების ზრდაზე. მასთან მაღალი კონცენტრაციის ქლორამფენიკოლი უფრო აფერხებს ზრდის პროცესს, ვიდრე დაბალი კონცენტრაციის ინკიბიტორი. ხოლო კოლეოპტილისა და მეზოკოტილის ზრდაზე დაბალი, საშუალო და მაღალი კონცენტრაციის ხსნარები მკეთრ გავლენას ვერ ახდენენ. შეიძლება ითქვას, რომ მეზოკოტილისათვის და კოლეოპტილისათვის, ზოგ შემთხვევაში, ზრდის მცირედი გააქტიურებაც კი აღინიშნება, ეს მოვლენა როგორდაც გარკვეულ კორელაციურ კავშირში უნდა იმყოფებოდეს ამ ორგანოების პლასტიდური პიგმენტების ბიოსინთეზის გააქტიურებასთან, რაც, როგორც ჩანს, გა-

მოწვეული უნდა იყოს ინკიბიტორის და დებითი ზეგავლენისაგან.

სიმაზინის (სურ. 2) მაღალი კონცენტრაციის ხსნარები ზრდის დინამიკაზე ისევე მოქმედებენ, როგორც ქლორამფენიკოლის მაღალი კონცენტრაციის ხსნარები. მცენარის მთლიანი სიგრძე და ფესვების ზრდა საგრძნობლად კნინდება სიმაზინის ზემოქმედებისაგან, იმ განსხვავებით, რომ ქლორამფენიკოლის ზემოქმედება ზრდის პროცესს 1,5-ჯერ უფრო მეტად აქნინებს, ვიდრე სიმაზინის ზემოქმედება (სიმაზინი დაახლოვებით 1,1-ჯერ ამცირებს ზრდის პროცესს).

ამგვარად, ორივე ინკიბიტორის — ქლორამფენიკოლის და სიმაზინის ზეგავლენა ანთოციანური პიგმენტების ბიოსინთეზზე და ზრდის პროცესზე უარყოფით გავლენას ახდენს.

საერთოდ არაა გამორიცხული, რომ ამ ინკიბიტორთა ექტიობა პლასტიდურ პიგმენტთა ფოტორეცეპტორული ფუნქციის დარღვევის გზითაც ხორციელდებოდეს. მეორეს მხრივ, თუ მხედველობაში მივიღებთ, რომ ქლოროპლასტები შეიძლება ჩაითვალოს პოლიფენეციის მატარებელ ორგანელებად [10, 12], მაშინ მწვანე პიგმენტების მონაწილეობის დაშვება ქლორამფენიკოლის და სიმაზინის ჰერბიციდული ექტიობის რეალიზაციაშიც სრულიად დასაშვებია.

ЛИТЕРАТУРА

1. მირიან ჭვილი ვ. ზაქარიაძე ა. მინდვრის დელფინილ, „საბჭოთა საქართველო“, თბილისი, 1961.
2. წ ა ლ უ კ ი ძ ე მ., თ ე დ თ რ ა ძ ე ს. მოსახლის გარიდგენა პიტილიზაციის საშუალებით, „სახელგამი“, თბილისი, 1955.
3. Арапетян Э. Р. Торможение роста и накопление антицианов в проростках кукурузы, канд. дисс. М., 1983.
4. Вечер А. С., Долбик Г. М. В сб.: Питание и обмен веществ у растений. «Наука и техника», Минск, 1975, 7—11.
5. Гавриленко В. Ф., Ладыгина

М. Е., Хандобина Л. М. Большой практикум по физиологии растений, «Высшая школа», М., 1975.

6. Порданов Иван Т., Чакалова Елена С., Стоянова Цветана Д., Софийский ун-т, Биол. фак., Ботан., 77, 2, 44—54, 1987.
7. Карпова Т. А., Саучанка Г. Я., Шлык А. А. Изв АН БССР, сер. биол. наук, 138, 5, 25—33, 1976.
8. Кахниашвили Х. А., Дурмишидзе С. В., Гигаури М. Ш. Физиол. раст., 36, 1, 99—106, 1989.

* მეთოდის სტატისტიკური.

9. Каинович Л. В., Рак Л. Д. Вестник Белорус. ун-та, сер. 2, 1, 45—49, 1979.
10. Кецховели Э. Н. Пигменты коры и древесины, Автореф. докт. дисс., Тбилиси, 1975.
11. Кецховели Э. Н. Кикладзе Д. Ч., Джапаридзе И. Г., Гигинейшвили М. Н., Сараджева М. А. В сб.: Физиология морозоустойчивости виноградной лозы, «Мечниереба», Тбилиси, 1986, 160—194.
12. Кецховели Э. Н., Кватадзе М. Г., Гигинейшвили М. Н., Сараджева М. А. Изв. АН ГССР, сер. биол., 12, 3, 190—200, 1986.
13. Кикладзе Д. Ч. Устойчивость пластидных пигментов коры и древесины некоторых древесных растений при ультрафиолетовом облучении. Автореф. канд. дисс., Тбилиси, 1975, 3—38.
14. Кущиренко М. Д., Печерская С. Н., Клевцова Е. В. Изв. АН МССР, сер. биол. и хим. наук, 1, 17—19, 1983.
15. Методы биохимических исследований растений, (Дурмишидзе С. В., Сопромадзе А. Н.), «Мечниереба», Тбилиси, 1983, 134—138.
16. Миников Иван Н. Физиол. раст., 12, 3, 14—19, 1986.
17. Музазаров Е. Н. Механизмы действия и физиологические функции флавоноидов при фотосинтезе высших растений. Автореф. докт. дисс., Тбилиси, 1990.
18. Пигменты пластид зеленых растений. методика их исследования, «Наука», М.—Л., 1964.
19. Прудникова И. В., Сердюченко Л. В., Шлык А. А. Весн АН БССР, сер. биол. и., 4, 55—58, 1985.
20. Рудой А. Б., Чканикова Р. А., Бязицкий А. Ю. Весн АН БССР, сер. биол., 1, 29—31, 1986.
21. Шлык А. А. Биохимические методы в физиологии растений, «Наука», М., 1971.
22. Шлык А. А., Прудникова И. В., Мицук З. И., Суховер Л. К. ДАН СССР, 230, 1, 244—247, 1976.
23. Gifford Ernest M., Ig. and Kenneth D. Stewart. Amer. J. of Bot., 55, 3, 269—279, 1968.
24. Kar R. K., Choudhuri M. A. Physiol. plant., 70, 4, 729—734, 1987.
25. Nakatani Nobuji, Fukuda Hitonori, Fuwa Hidetsugu, Agr. and Biol. Chem., 43, 2, 389—391, 1979.
26. Ridley Stuart M., Ridley Jeannette. Plant Physiol., 63, 2, 392—398, 1979.
27. Sato Ryo, Nagano Eiki, Oshio Hiromichi, Kamoshita Ratsuzo. Pestic. biochem. and Physiol. 31, 3, 213—220, 1988.
28. Wetstein D. Cell Research., 12, 427—506, 1957.

ВЛИЯНИЕ ХЛОРАМФЕНИКОЛА И СИМАЗИНА НА БИОСИНТЕЗ ПИГМЕНТОВ И РОСТ КУКУРУЗЫ

Институт ботаники им. Н. Н. Кецховели АН Грузии, Тбилиси

**Э. Н. Кецховели, И. П. Сихарулидзе, М. Н. Гигинейшвили,
И. В. Чичиашвили, М. А. Сараджева, М. Г. Кватадзе**

Резюме

Установлено, что высокие и средние концентрации ингибиторов ограничивают процессы роста растений и биосинтез антицианов, одновременно (в ряде случаев) повышая содержание пластидных пигментов. Предполагается, что действие ингибиторов осуществляется и путем воз-

ействия на фотопротекторную функцию пигментной системы. Если учесть полифункциональность хлоропластов, то участие зеленых пигментов в реализации гербицидной активности хлорамфеникола и симазина также вполне допустимо.

EFFECT OF CHLORAMPHENICOL AND SIMAZINE ON PIGMENT BIOSYNTHESIS AND GROWTH OF MAIZE

E. KETSKHOVELI, I. SIKHARULIDZE, M. GIGINEISHVILI, I. CHICHIASHVILI,
M. SARAJEVA, M. KVATADZE

N. Ketskhoveli Institute of Botany, Georgian Academy of Sciences, Tbilisi

Summary

High and middle concentrations of the inhibitors—chloramphenicol and simazine, were found to restrict the process of plant growth and biosynthesis of anthocyanins, simultaneously, in a number of cases, increasing the content of plastid pigments. The action of the inhibitors is supposed to be accomplished also through

its action on the photoreceptor function of the pigment system. If one takes into account the polyfunctional character of chloroplasts, then the involvement of green pigments in the realization of herbicide activity of chloramphenicol and simazine is not excluded either.

УДК 663.13 (008.8)

МИКРОБИОЛОГИЯ

ОБРАЗОВАНИЕ БЕЛКА ТЕРМОФИЛЬНЫМИ МИКРОМИЦЕТАМИ ПРИ ВЫРАЩИВАНИИ ИХ НА ЦИТРУСОВОЙ МУКЕ

М. О. Мачавариани, Л. Л. Квачадзе

Институт биохимии растений им. С. В. Дурмишидзе АН Грузии, Тбилиси

Поступила в редакцию 01.02.91

Показана возможность получения богатой кормовым белком биомассы путем биоконверсии цитрусовой муки термофильными микромицетами — продуцентами целлюлаз. Получены биомассы, содержащие до 16% кормового белка, аминокислотный состав которых удовлетворяет требованиям FAO.

Дефицит белковых продуктов, вызываемый нарастающими темпами пищевого производства [1, 2], с каждым годом становится все ощущимее. В связи с этим большой интерес научных привлекает проблема утилизации отходов сельского хозяйства и консервной промышленности путем их биоконверсии в обогащенные кормовыми белком биомассы. Перспективным в этом направлении представляется использование продуцирующих экстра-

целлюларные целлюлазы микроскопических грибов, способных гидролизовать целлюлозосодержащие отходы, включая затем продукты гидролиза в качестве источников углерода в процессах метаболизма.

Полученные таким образом биомассы, как правило, богаты белком, отличаются пониженным содержанием целлюлозы и ее производных, нетоксичны и по составу аминокислот удовлетворяют требованиям FAO.

МАТЕРИАЛЫ И МЕТОДЫ

В работе использованы штаммы термофильных микромицетов — продуцентов целлюлаз — *Aspergillus terreus* AT - 490, *Spcotrichum pulvulenatum*, *Chaetomium thermophile*, полученные из коллекции типовых культур микроорганизмов лаборатории биотехнологии Института биохимии растений им. С. В. Дурмишидзе АН Грузии.

Грибы выращивали в качалочных колбах, емкостью 750 мл, при заполнении их питательной средой, объемом 150 мл на качалке при 200 об/мин в жидкой питательной среде следующего состава (г/л):

А) для *A. terreus* AT - 490 и *S. pulvulenatum*: NaNO_3 — 3,0; KH_2PO_4 — 2,0; $\text{MgSO}_4 \cdot 7\text{H}_2\text{O}$ — 0,5,

б) для *Ch. thermophile*: $(\text{NH}_4)_2\text{SO}_4$ — 1,3; KH_2PO_4 — 6,8; $\text{MgSO}_4 \cdot 7\text{H}_2\text{O}$ — 0,5; CaCl_2 — 1,5.

pH питательной среды составлял 5,0. Культивирование проводили при 40° в течение 3-х суток. В качестве посевного материала использовали 10-суточные культуры, выращенные на сусло-агаре (8%).

Источником углерода в питательной среде служила цитрусовая мука, вносимая в концентрации от 1 до 6%, что позволяло определять ту оптимальную концентрацию отхода, которая обеспечивала максимальный выход белка и биомассы.

С. Руиновского
Андерграфа

Определение сырого протеина проводили по Кельдалю [5], нуклеиновых кислот — спектрофотометрическим ме-

тодом [7], жиров — методом С. Руиновского [6], целлюлозы — методом Андерграфа [9].

РЕЗУЛЬТАТЫ ИССЛЕДОВАНИЯ И ИХ ОБСУЖДЕНИЕ

Исследован состав использованной в работе цитрусовой муки, служащей сырьем для биоконверсии в богатую белком биомассу. Оказалось, что каротина в ней содержится 48 мг/кг при влажности муки 13,3%. Содержание других веществ оказалось следующим (%): кальций — 0,55; фосфор — 0,10; сырая клетчатка — 17,9; сырой жир — 3,1; сырая зола — 2,6; БЭВ — 79,3; сырой протеин — 7,1; гемицеллюлоза — 9,8; лигнин — 5,1.

Для установления оптимального возраста посевной культуры, при котором достигается выход максимального количества биомассы с высоким содержанием в ней белка, каждый из использованных в работе микромицетов, т. е. *A. terreus* AT-490, *S. pulverulentum* и *Ch. thermophile*, засевали в инкубационные пробирки, содержащие универсальную питательную среду. Затем, в течение 30 суток ежесуточно «вскрывали» очередную пробирку, пересевая суспензии каждого из микромицетов в жидкую питательную среду, содержащую в качестве единственного источника углерода цитрусовую муку.

Оказалось, что оптимальный возраст посевных культур исследованных микромицетов составляет для *A. terreus* AT-490 — 14 суток, для *S. pulverulentum*

— 12 суток, а для *Ch. thermophile* — 18 суток.

Следующей задачей было установление оптимального содержания цитрусовой муки в питательной среде. Для этого их содержание в биоконверсионных колбах изменяли от 1 до 6% при продолжительности самого процесса биоконверсии до 3 суток.

В случае *A. terreus* AT-490 и *Ch. thermophile* оптимальным оказалось 4%, а в случае *S. pulverulentum* — 3%.

Вместе с тем, при оценке перспективности того или иного пути биоконверсии следует принимать во внимание не только процентное содержание белка в образуемой биомассе микромицетов, выращенных на данном отходе, но и количество самой биомассы, так как малая ее величина даже при высоком содержании в ней белка ставит под сомнение возможность ее рекомендации в качестве производимой в промышленных масштабах кормовой добавки. Поэтому была исследована динамика накопления биомассы и процентного содержания в ней белка в течение пяти суток при биоконверсии цитрусовой муки каждым из трех микромицетов. Полученные данные представлены в табл. 1. В этой же таблице приведена динамика потребления целлюлозы в процессе биоконверсии.

Таблица 1

Динамика образования биомассы микроорганизмов, накопления сырого протеина, расходования целлюлозы при выращивании микроорганизмов на цитрусовой муке: 1 — Сиомасса, г; 2 — сырой протеин, %; 3 — целлюлоза, г; 4 — целлюлоза, %

Длительность культивирования, сутки	Штаммы											
	<i>A. terreus</i> AT-490				<i>S. pulverulentum</i>				<i>Ch. thermophile</i>			
	1	2	3	4	1	2	3	4	1	2	3	4
K	4,5	7,1	0,8	17,9	3,4	7,1	0,61	17,9	4,5	7,1	0,81	17,9
1/3	4,6	8,3	0,72	15,7	3,6	7,9	0,59	16,3	5,1	8,8	0,74	14,4
1	5,2	12,0	0,65	12,5	3,9	9,3	0,54	13,8	6,2	11,9	0,65	10,5
2	6,4	16,2	0,52	8,1	4,6	11,6	0,49	10,8	6,0	11,4	0,60	10,0
3	6,2	15,5	0,48	7,7	4,8	13,0	0,45	9,5	5,5	9,8	0,58	10,5
4	5,1	13,0	0,47	9,2	4,5	11,2	0,43	9,6	5,0	8,8	0,58	11,5
5	4,2	10,2	0,46	11,0	3,7	8,0	0,42	11,3	4,6	8,2	0,58	12,5

Продолжительность биоконверсии во всех случаях ограничена пятидневным сроком—виду того, что по прошествии пяти суток падение регистрируемых показателей становилось настолько очевидным и необратимым, что дальнейший их контроль терял смысл. Как видно из данной таблицы, во всех случаях наблюдается достаточно четко выраженные максимумы на зависимостях процентного содержания в биомассах сырого протеина от времени биоконверсии. Эти максимумы приходились для *A. terreus* AT-490 на 2-е сутки, для *S. pulverulentum* — на третьи сутки, а для *Ch. thermophile* максимум зарегистрирован уже на первые сутки биоконверсии. Оказалось, что в эти же интервалы времени наблюдается максимальное количество накопленной биомассы, однако это обстоятельство есть результат совпадения, а не какой-то универсальной закономерности.

Следует отметить, что процентное содержание белка в биомассе не может служить объективным показателем эффективности конкретного варианта биоконверсии. Поэтому следует оценить отношение абсолютного прироста белка к исходной массе отхода. Эта безразмерная величина оказалась равна: для *A. terreus* AT-490 — 0,160; для *S. pulverulentum* — 0,111; для *Ch. thermophile* — 0,091.

Относительный прирост белка в исследованных случаях оказался равен: для *A. terreus* AT-490 — 224,4%; для *S. pulverulentum* — 158%; для *Ch. thermophile* — 130%.

hile в первые восемь часов процесса (равна 0,075 г/ч), а максимальная скорость накопления белка в биомассе (0,231 процент/ч) — в случае *A. terreus* AT-490 в интервале 8—24 ч биоконверсии.

Что касается утилизации целлюлозы, то в наибольшей степени она наблюдается в случае *A. terreus* AT-490, когда 42,2% исходной целлюлозы претерпевает гидролиз. Следует отметить, что целлюлазный комплекс *A. terreus* AT-490 выгодно отличается от целлюлаз двух других использованных в работе микромицетов [1, 2].

Для оценки эффективности процесса трансформации целлюлозы в белок (речь, безусловно, идет не о прямой трансформации) представляет интерес оценка прироста белка, регистрируемого при утилизации единицы массы целлюлозы, исходно содержащейся в отходе. Этот показатель для использованных в работе микромицетов оказался равен: *A. terreus* AT-490 — 2,48; *S. pulverulentum* — 2,37; *Ch. thermophile* — 2,56. Следовательно, все три микромицета практически одинаково эффективно трансформируют в белок целлюлозу цитрусовой муки. Количество нуклеиновых кислот не превышает 2%.

В заключение приведем химический состав биомасс в день максимального содержания в них белка (табл. 2).

Таблица 2

Состав биомасс (%) в момент максимального содержания в них сырого протеина: 1 — *A. terreus* AT-490; 2 — *S. pulverulentum*,
3 — *Ch. thermophile*

Штамм	Влажность	Каротин, мг/кг	Са	Р	Сырой протеин	Клетчатка	Жир	Зола	БЭВ
1	9,5	50	0,68	0,68	16,2	17,5	1,89	6,17	58,2
2	9,9	40	0,61	0,68	11,9	19,4	2,25	5,34	61,2
3	9,7	45	0,78	0,45	13,0	10,3	2,66	5,53	68,5

Максимальная скорость накопления биомассы отмечена при биоконверсии цитрусовой муки грибом *Ch. thermoph-*

Итак, исследование процесса биоконверсии одного из отходов сельскохозяйственного производства Республики

лики Грузия — цитрусовой муки — показало, что термофильными микромицетами возможно превратить ее в богатую белком кормовую биомассу,

причем наиболее эффективно процесс биоконверсии протекает при культивировании на данном отходе мутанта штамма *A. terreus* AT-490 [8].

ЛИТЕРАТУРА

1. Билай В. И., Билай Т. И., Мусич Е. Г. Трансформация целлюлозы грибами, «Наукова думка», Киев, 1982.
2. Лобанок А. Г., Бабицкая В. Г. Микробиологический синтез белка на целлюлозе, «Наука и техника», Минск, 1976.
3. Мачавариян М. О., Квачадзе Л. Л. Сообщения АН ГССР, 140, 2, 401—404, 1990.
4. Мачавариян М. О., Квачадзе Л. Л. Сообщения АН ГССР, 139, 3, 585—588, 1990.
5. Плешков Б. П. Практикум по биохимии, М., 1976.
6. Рушковский С. В. Зоотехнический анализ кормов, Тбилиси—Крцаниси, 1985, 10.
7. Спирин А. С. Биохимия, 23, 656—662, 1958.
8. Kvesitadze G. I. 3-rd Symposium of Socialist Countries on Biotechnology, Bratislava, Czechoslovakia, 25—29 April, 1983, 33.
9. Updegraff D. M. Analit. Bioch., 32, 420—424, 1969.

ციტრუსის ფავოლუსი გაზრდილი თერმოფილური მიკრობილუბის მიმღებების დაზღვება

ქ. მაავანიანი, ლ. კვაჭაძე

საქართველოს მეცნიერებათა აკადემიის ს. ლურმიშვილის სახელობის მუნიციპალური მუნიციპალური, თბილისი

რეზიუმე

შერჩეულია თერმოფილური მიკრობილუბი: მუტანტური შტამი *Aspergillus terreus* AT-490, *Sporotrichum pulverulentum*, *Chaetomium thermophile* — ფავოლუსის პროდუცტები. ციტრუსის ფენოლუსი მათი კულტურის განვითარების მიღებულია ცილით მდიდარი ბიომასები. დალანილია ანარჩინის ოპტიმალური რაოდე-

ნობა საკვებ არეში და შტამების კულტურების ხანგრძლივობა.

აღნიშვნული შტამების მიერ ცილით მდიდარი ბიომასების წარმოქმნა შესაბამისად ხდებოდა მეორე, მესამე და პირველ დღეს. მა დროს შეთვისებული ცილულუსის რაოდენობა შეაღენდა შესაბამისად 35,7, 25,6 და 19,5%-ს.

FORMATION OF PROTEIN BY THERMOPHILIC MICROMYCETES AT THEIR GROWTH ON CITRUS FLOUR

M. MACHAVARIANI, L. KVACHADZE

S. Durmishidze Institute of Plant Biochemistry, Georgian Academy of Sciences, Tbilisi

Summary

Thermophilic microorganisms—mutant strain *Aspergillus terreus* AT - 490, *Sporotrichum pulverulentum* and *Chaetomium thermophile* - producers of cellulases have been selected. It has been established that citrus flour is a convenient source of carbon for growing of these fungi and the optimum concen-

trations of citrus flour in nitrous medium were founded.

The protein enriched biomasses were obtained in the second, third and first day of cultivation, correspondingly.

The amount of cellulose utilized in the process of biocconversion by above-mentioned microorganisms were 35,7%, 25,6% and 19,5%, correspondingly.

УДК 619

МИКРОБИОЛОГИЯ

ХАРАКТЕРИСТИКА ПЛАЗМИД ШТАММОВ КЛОСТРИДИЕВ ЖИВОТНОГО ПРОИСХОЖДЕНИЯ

Дж. В. Начкебия, Т. Г. Габисония, Т. Г. Чанишвили

Грузинский зооветеринарный институт, Тбилиси
НПО «Бактериофаг» им. Г. Эллава, Тбилиси

Поступила в редакцию 15.04.91

Установлено, что штаммы клостридиев, выделенные от животных, характеризуются вирулентностью, а также резистентностью к антибиотикам. Однако штаммы, множественно устойчивые к антибиотикам, характеризуются вирулентностью для мышей при внутрибрюшинном заражении.

Чувствительные к антибиотикам штаммы содержат 1—2 плазмиды, а резистентные — 3—8 плазмид. Снижение вирулентности не связано с утратой плазмиды с молекулярной массой 70,0 мД.

МАТЕРИАЛЫ И МЕТОДЫ

В работе исследовано 12 штаммов *Cl. perfringens* и *Cl. septicum* (их характеристика в табл. 1). В каче-

стве питательных сред использовали бульон Китт-Тарроци, глюкозокровяной агар. Чувствительность культур к антибиотикам определяли методом двукратных серийных разведений в

Таблица I

Характеристика изученных в работе штаммов
Cl. perfringens и *Cl. septicum*

№ штамов	Происхождение	Отношение к антибиотикам	Источник получения
<i>Cl. perfringens</i>			
1. В 226	Выделен от животных	S	ГКИ им. Л. А. Тарабича
2. ДК 311	"	S	"
3. КД 239	"	S	"
4. КД 241	"	R	"
5. КД 243	"	R	"
6. КД 248	"	R	Лаборатория ВИЭВ микробиологии
7. КД 470	"	R	"
<i>Cl. septicum</i>			
8. А 1103	"	S	ГКИ им. Л. А. Тарабича
9. А 1113	"	S	"
10. В 16	"	S	"
11. В 162	"	R	Лаборатория ВИЭВ микробиологии
12. В 112	"	R	"

Примечание: R — резистентность к антибиотикам;

S — чувствительность к антибиотикам

жидкой и плотной питательных средах.

Выделение плазмидной ДНК из штаммов клостридиев осуществляли по методу Н. С. Бирбонма и С. Доли [3]. Электрофорез проводили с использованием горизонтального аппарата. Концентрация агарозы («Sigma») в геле 1%-ного буфера TE: 40 мМ три-ацетата, 2 мМ натриевой соли ЕДТА, рН-7,9. Пластиинку геля после электрофореза обрабатывали раствором бромида этидия

(«Sigma») (0,5 мкг/мл) в течение 30 мин и просматривали в УФ-свете.

Вирулентность культур клостридиев исследовали с помощью внутрибрюшинного заражения белых беспородных мышей. Степень вирулентности штаммов клостридиев при внутрибрюшинном заражении оценивали путем вычисления Δ_{50} . Полученные данные обрабатывали статистически, Δ_{50} определяли по Л. Риду и Х. Мунчу [5], ошибку — по формуле Пицци.

РЕЗУЛЬТАТЫ ИССЛЕДОВАНИЯ И ИХ ОБСУЖДЕНИЕ

При изучении чувствительности штаммов *Clostridium perfringens* и *Clostridium septicum* к антибиотикам установлено, что они характеризуются резистентностью к 3—5 антибиотикам. Наиболее часто встречающимся сочетанием маркеров антибиотикоустойчивости было To, Ap, Sm, Mn, Em, (табл. 2).

Clostridium perfringens В 226, ДК 311, С 239; *Clostridium septicum* А 1103, А 1113, В 16, как и длительно хранящиеся в лаборатории штаммы, как правило, обладали высокой вирулентностью для экспериментальных животных — Δ_{50} колеблется от 1,15 до 2,87 (табл. 3).

В то же время Δ_{50} штаммов с

Таблица 2

Плазмидный состав штаммов клостридиев, различающихся по чувствительности к антибиотикам

№ штамма	Отношение к антибиотикам	Маркеры устойчивости	Наличие плазмид		
			Общее число	Молекулярная масса большие плазмиды	Остальные плазмиды
1. В 226	S		2	70,0	3,5
2. ДК 311	S		2	70,0	—
3. С 239	S		2	68,0	—
4. КД 241	R	Em, Tc, Ap, Sm, Mn	8	70,0	2,3—6,7
5. КД 243	R	Em, Tc, Ap, Sm, Mn	6	70,0	2,4—6,9
6. КД 248	R	Em, Tc, Ap	3	66,0	2,3—2,7
7. КД 470	R	Em, Tc, Ap, Mn	4	65,0	3,6—3,8
8. А 1103	S		1	70,0	—
9. А 113	S		2	66,0	7,4
10. В 16	S		1	66,0	—
11. В 162	R	Em, Tc, Ap, Sm, Mn	5	70,0	6,2—6,9
12. В 112	R	Em, Tc, Ap, Sm, Mn	4	70,0	7,2—8,9

Примечание: Em — Эритромицин; Tc — тетрациклин; Ap — ампициллин; Sm — стрептомицин; Mn — мономицин

При изучении патогенных штаммов клостридиев, чувствительных к антибиотикам и с множественной лекарственной устойчивостью, выявлены различия в их вирулентности при использовании модели внутрибрюшинного заражения белых мышей (табл. 3).

При этом чувствительные к антибиотикам культуры *Clostridium*

множественной устойчивостью к антибиотикам составляет для мышей 4,50—6,23. Это штаммы *Clostridium perfringens* КД 241, КД 243, КД 248, КД 470 и *Clostridium septicum* В 162, В 112.

С целью выяснения причин снижения вирулентности у множественно устойчивых штаммов клостридиев, в сравнении с чувствительными, мы изучали скорость размножения указа-



Таблица 3

ЗАМЕРЫ

Вирулентность штаммов клостродиев при внутрибрюшинном заражении

№ штамма	Отношение к антибиотикам	$< D_{50}$ при внутрибрюшинном заражении
	Штаммы <i>Clostridium perfringens</i>	
1. В 226	S	$2,86 \pm 0,28$
2. Д _н 311	S	$2,53 \pm 0,32$
3. С 239	S	$1,37 \pm 0,30$
4. КД 241	R	$4,50 \pm 0,31$
5. КД 243	R	$6,23 \pm 0,30$
6. КД 248	R	$4,78 \pm 0,29$
7. КД 470	K	$4,73 \pm 0,28$
	Штаммы <i>Clostridium septicum</i>	
8. А 1103	S	$1,37 \pm 0,30$
9. А 113	S	$2,37 \pm 0,29$
10. В 16	S	$1,99 \pm 0,30$
11. В 162	R	$4,77 \pm 0,28$
12. В 112	R	$4,98 \pm 0,30$

рулентностью. Однако штаммы, множественно устойчивые к антибиотикам, характеризуются сниженной вирулентностью для мышей при внутрибрюшинном заражении, в сравнении с чувствительными к антибиотикам штаммами. Штаммы клостродиев, чувствительные к антимикробным препаратам, содержали не более 1—2 плазмид, а с множественной лекарственной устойчивостью 3—8 плазмид разной молекулярной массы.

Снижение вирулентности несущих R-плазмиды штаммов в отношении естественного хозяина — мышей при указанных способах заражения не связано с утратой плазмиды с молекулярной массой 70,0 мД.

занных штаммов *in vivo* и *in vitro*.

Сравнение скорости роста штаммов клостродиев в питательном бульоне показало, что по этой характеристики культуры, различающиеся по чувствительности к антибиотикам, не отличаются друг от друга. Их время генерации колеблется от 18,3 до 23 мин.

На основании полученных результатов мы предположили, что снижение патогенных свойств у резистентных штаммов клостродиев связано с утратой плазмиды с большим молекулярным весом.

С целью проверки этого предположения мы провели исследование плазмидного состава у штаммов клостродиев. У чувствительных к антибиотикам штаммов было выявлено по 1—2 плазмиды. Культуры клостродиев, характеризующие множественной лекарственной устойчивостью, содержали от 3 до 8 плазмид. Штаммы, чувствительные к антибиотикам, содержали плазмиды с молекулярной массой 70,0 мД, так как другие выявленные плазмиды у устойчивых к антибактериальным препаратам штаммов резко различались по молекулярной массе.

Важно подчеркнуть, что все штаммы клостродиев сохраняли плазмиду с молекулярным весом около 70,0 мД.

В заключение можно отметить, что несмотря на сниженную вирулентность штаммы, содержащие R-плазмиды, сохраняют местную колонизационную способность и инвазивные свойства, которые, по-видимому, контролируются плазмидой с молекулярной массой примерно 70,0 мД.

Таким образом, выделенные от больных животных штаммы клостродиев характеризуются резистентностью к антибиотикам и высокой ви-

ЛИТЕРАТУРА

- Урбан В. П., Шнур В. И., Воробьев Е. О., Киндрис Т. М., Доминин Б. Г. Ветеринария, 9, 38—40, 1976.
- Урбан В. П., Шнур В. И., Воробьев Е. О. Вестн. с.-х. науки, 2, 56—59, 1981.
- Віргінбоім У. С., Дойч С. Nucl. Acids Res., 7, 1513—1523, 1979.
- Neil F., Fairweather A., Valeria A. L., Derek T. P., Geofrey A., Robert O. T. J. Bacteriol., 165, 1, 21—27, 1986.
- Reool L. J., Muensch H. Amer. J. Hyg., 27, 493—497, 1938.

ცეოცელური ჯარღოგობის კლოსტრიდიალური ჟტანების პლაზმიდების დახასიათება

ა. ნატაშა, ტ. გაბისონია, თ. ჭავიშვილი

საქართველოს ზოოვეტერინალური სასწავლო-სამეცნიერო ინსტიტუტი, თბილისი
გ. ელიას სახელობის საგ „ბაქტერიოფაგი“, თბილისი

რეზიუმე

დადგენილია, რომ ცხოველებიდან გა-
მოყოფილი კლოსტრიდიები ხასიათდებიან
ვირულენტური თეისებებით და ანტიბიო-
ტიკორეზისტენტობით. მრავლობითი რე-
ზისტენტობის მქონე შტამები ხასიათდე-
ბიან უფრო დაბალი ვირულენტობით, ან-
ტიბიოტიკებისადმი მკრძნობიარე შტამებ-
თან შედარებით.

ანტიბიოტიკებისადმი მკრძნობიარე
შტამები შეიცავენ 1—2 პლაზმიდას, ხო-
ლო რეზისტენტული შტამები 3—8 პლაზ-
მიდას. ამასთან დადგენილია, რომ ვირუ-
ლენტობა არა დაკავშირებული იმ პლაზ-
მიდას დაკარგვასთან რომლის მოლეკუ-
ლური მასა 70.0 MD-ია.

CHARACTERISTIC OF CLOSTRIDIUM STRAINS' PLASMIDS OF THE ANIMAL ORIGIN

J. NACHKEBIA, T. GABISONIA, T. CHANISHVILI

Georgian Zooveterinary Institute, Tbilisi

G. Eliava Scientific-Industrial Association "Bacteriophage", Tbilisi

Summary

It has been established that clostri-
dium strains, isolated from animals were
characterized both by virulence and re-
sistance to antibiotics. But the strains
multiple resistant to antibiotics were char-
acterized by the lowered virulence for
mice in intraperitoneal infection in com-

parison with the strains non-resistant to
antibiotics.

Strains non-resistant to antibiotics
contain 1-2 plasmids while resistant
strains—3—8.

The virulence didn't depend on
the loss of a plasmid with the molecular
mass of 70,0 MD.

УДК: 612.135+612.117.2

БІОФІЗИКА

ПРИЖИЗНЕННЫЕ ИССЛЕДОВАНИЯ ПРОФИЛЯ СКОРОСТЕЙ В МИКРОСОСУДАХ

Е. А. Мамисашвили, Н. Т. Мчедлишвили

Институт физиологии им. И. С. Бериташвили АН Грузии, Тбилиси

Поступила в редакцию 11.01.91

Исследовалось изменение радиального распределения скоростей эритроцитов (формы профиля скоростей) в живых микрососудах, диаметром от 20 до 102 мкм брыжейки и т.гемостат крысы. Установлено, что форма профиля практически постоянна и не зависит от скорости кровотока и величины диаметра сосуда, если он выше примерно 42—46 мкм. В сосудах меньшего диаметра наблюдается значительная вариабельность формы профиля скоростей, связанная с величиной скорости кровотока и концентрацией эритроцитов. Полученные данные свидетельствуют, что прижизненная регистрация формы профиля в сосудах, диаметр которых превышает размеры эритроцитов не более, чем в 8—10 раз, позволяет выявлять изменения вязкостных свойств крови. Это дает возможность использовать данный метод регистрации профиля в качестве оценочного критерия микрореологических свойств исследуемого потока крови.

Профиль скоростей — распределение скоростей отдельных слоев тока крови по поперечнику сосуда — является важнейшей характеристикой реологических свойств крови, так как позволяет количественно оценивать силы внутреннего трения в потоке крови, определяющие интенсивность кровотока. Поэтому, начиная с 1960 г., предпринимались попытки регистрации профиля скоростей, в основном на физических моделях с использованием суспензии эритроцитов в плазме или физиологическом растворе в стеклянных трубках [6, 7, 8]. Позже исследования профиля скоростей были проведены и на живых микрососудах методом дешифровки прижизненных микрокинограмм [3, 4]. Полученные данные свидетельствовали, что профиль скоростей отражает важную роль поведения отдельных эритроцитов и свя-

занные с ним микротехнические явления. Однако дальнейшее развитие этих исследований сдерживалось отсутствием соответствующих технических средств прижизненной регистрации скорости отдельных слоев тока крови. Испытания измерителя скорости кровотока (МПВ Компакт Вел), проведенные нами ранее [10], свидетельствовали, что с его помощью удается с необходимой точностью регистрировать радиальное распределение отдельных слоев потока эритроцитов в сосудах микроциркуляторной сети.

Целью настоящей работы являлось использование измерителя скорости МПВ Компакт Вел как метода, позволяющего прижизненно оценивать реологические свойства крови в исследуемых сосудах диаметром примерно от 20 до 100 мкм.

МЕТОДИКА

Профиль скоростей регистрировался на артериальных микрососудах диаметром от 13 до 40 мкм брыжей-

ки и диаметром от 42 до 103 мкм в т. гемостат наркотизированных крыс весом 250—300 г. Уменьшение скоро-

сти кровотока достигалось частичным пережатием краниальной брыжеечной артерии, увеличение — введением во внутреннюю яремную вену животного 0,05—0,1 мг норадреналина.

Прижизненная регистрация линейной скорости отдельных слоев тока крови осуществлялась измерителем скорости МПВ Компакт Вел. Для получения характерной формы профиля измерялась линейная скорость слоев тока крови в 8—10 точках, расположенных в радиальном направлении от оси до стенки сосуда.

Проведенные эксперименты показали, что регистрация линейной скорости потока отдельных слоев эритроцитов в условиях проходящего света в диапазоне от 0,2 до 50 мм/с в сосудах диаметром от 20 до 130 мкм с помощью измерителя скорости Сомпраст дает вполне удовлетворительные результаты при учете факторов, влияющих на показания прибора [10].

РЕЗУЛЬТАТЫ ИССЛЕДОВАНИЙ

Согласно полученным экспериментальным данным, радиальное распределение скоростей кровотока (профиля скоростей) в отдельных артериолах, диаметром от 20 до 103 мкм брыжейки и т. сгемастер крыс характеризуется весьма широкими пределами. Можно выделить две группы сосудов, в которых тенденции в формировании профиля закономерно различаются. Это — сосуды диаметром более 42—46 мкм (до 103 мкм в наших экспериментах) и диаметром примерно от 20 до 46 мкм. В относительно крупных сосудах распределение скоростей характеризуется следующими двумя признаками. Во-первых, профиль скоростей в них приближается к параболе ламинарного распределения скоростей ньютоновских жидкостей и, во-вторых, характеризуется сравнительно низкой вариабельностью (рис. 1A). Так, форма профиля в сосуде диаметром 46 мкм и средней осевой скоростью кровотока около 16 мм/с практически не отличалась от распределения скоростей в сосуде диаметром 80

мкм со средней осевой скоростью потока крови около 11 мм/с (рис. 1Б). Подобное сходство профилей скоростей было характерным для всех исследовавшихся сосудов диаметром от 46 до 103 мкм и осевыми скоростями кровотока от 10 до 16 мм/с.

Иная картина наблюдалась в сосудах диаметром менее 42—46 мкм. Радиальное распределение скоростей в мелких сосудах характеризуется существенной вариабельностью: от близкого к ламинарному режиму течения до весьма затупленного, характерного для поршневого течения (рис. 2A). В этой группе сосудов радиальное распределение скоростей существенно зависит от конкретных условий течения.

Так, для сосудов диаметром около 20 мкм в нормальных условиях, когда скорость кровотока и концентрация эритроцитов колеблется в обычных пределах [9], характерным является затупленный профиль скоростей. Однако при увеличении осевой скорости до 9 мм/с радиальное распределение скоростей качественно меняется, приближаясь к ламинарному, при условии, что концентрация эритроцитов при этом в потоке крови заметно не изменялась (рис. 2Б). Вместе с тем, в сосудах такого диаметра, при усло-

* Авторы выражают благодарность Д. Г. Ломинадзе, участвовавшему в обработке результатов методом дешифровки микрокинограмм.

** А. С. № 1118368, БИ, 38, 1984.

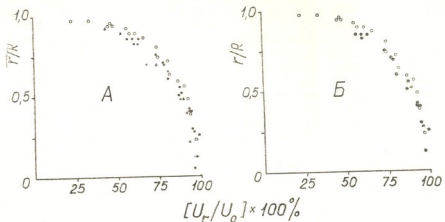


Рис. 1. Радиальное распределение (профиль) скоростей в сосудах диаметром более 42—46 мкм (I группа сосудов). А — диаметры сосуда: 80 мкм (средняя осевая скорость потока крови — 11 мм/с); 46 мкм (средняя осевая скорость потока крови — 16 мм/с); 103 мкм (средняя осевая скорость потока крови — 16 мм/с); 88 мкм (средняя осевая скорость потока крови — 14,2 мм/с); Б: — диаметр сосуда 80 мкм (средняя осевая скорость потока крови — 11 мм/с); ○ — 46 мкм (средняя осевая скорость потока крови — 16 мм/с)

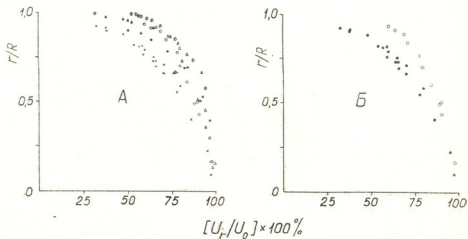


Рис. 2. Радиальное распределение (профиль) скоростей в сосудах диаметром менее 42—46 мкм (II группа сосудов). А — диаметры сосуда: 42,2 мкм (средняя осевая скорость потока крови — 15,5 мм/с); 20 мкм (средняя осевая скорость потока крови — 9,25 мм/с); 32 мкм (средняя осевая скорость потока крови — 4,5 мм/с); 19,6 мкм (средняя осевая скорость потока крови — 1,85 мм/с); 33,5 мкм (средняя осевая скорость потока крови — 3,38 мм/с); 13 мкм (средняя осевая скорость потока крови — 0,8 мм/с); Б: ○ — диаметр сосуда 20 мкм (средняя осевая скорость потока крови — 3,1 мм/с); • — 20 мкм (средняя осевая скорость потока крови — 9 мм/с)



вии резкого снижения концентрации эритроцитов (до 1—2%), вытянутый профиль формируется уже при значительно меньших скоростях — около 0,7 мм/с. При снижении скорости потока до 0,4—0,3 мм/с и ниже профиль скоростей в этих сосудах приобретает затупленную форму (рис. 3).

Таким образом, в сосудах диаметром менее примерно 46—42 мкм гравитационное распределение скоростей и, следовательно, реология потока крови (ее вязкостные свойства) определяются соотношением величины осевой скорости потока крови и концентрацией эритроцитов в нем.

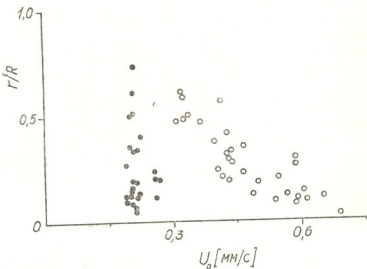


Рис. 3. Форма профиля в мелких сосудах диаметром около 20 мкм при резком снижении концентрации эритроцитов (до 1—2%)

ОБСУЖДЕНИЕ РЕЗУЛЬТАТОВ

Реологические свойства крови играют важную роль как в поддержании необходимого уровня интенсивности микроциркуляции, в реализации компенсаторных процессов, так и в возникновении и развитии многих патологических процессов. Поэтому разработка критерия оценки микрореологических свойств крови в прижизненных условиях имеет важное как теоретическое, так и практическое значение. До последнего времени практически единственным методом оценки реологических свойств крови является вискозиметрия. С ее помощью был получен ряд важных данных о влиянии различных факторов на реологические свойства крови. Однако хорошо известно, что вискозиметрические методы весьма ограничены при экстраполяции полученных с их помощью количественных результатов на реальные условия течения в живой микроциркуляторной сети [1]. Это обусловлено ря-

дом причин, важнейшей из которых является то, что в микрососудах, диаметр которых сопоставим с диаметром эритроцитов, основным фактором, определяющим реологию потока, становится ориентационное поведение и взаимодействие отдельных форменных элементов крови. Об этом же свидетельствуют полученные нами ранее методом прижизненной микрокиносъемки данные о том, что процессы, связанные с ориентационным поведением эритроцитов, в зависимости от конкретных условий потока, закономерно отражаются на форме профиля [2, 3, 4].

Согласно результатам экспериментов, проводившихся на моделях [8], до последнего времени было принято считать, что профиль скоростей приобретает вытянутую форму с увеличением диаметра сосуда и уплощается с увеличением концентрации эритроцитов. Скорость потока крови, согласно

этим данным, не влияет на форму профиля.

Результаты настоящих исследований свидетельствуют, что в живой микроциркуляторной сети имеют место другие, более сложные закономерности. Полученные экспериментальные данные указывают, что, во-первых, форма профиля практически не зависит от диаметра сосуда, если он выше примерно 42—46 мкм, во-вторых, в сосудах меньшего диаметра явно проявляется зависимость от скорости потока крови, причем эта закономерность имеет место как при низкой концентрации эритроцитов (около 1—2%), так и при нормальной, характерной для сосудов диаметром 20—40 мкм (около 20% или ниже) [9]; в-третьих, влияние концентрации эритроцитов на форму профиля связано с величиной средней скорости потока крови. При низких скоростях (менее 1 мм/с) и низкой концентрации — около 1—2%, решающим фактором для реологии потока оказывается его средняя осевая скорость. Вместе с тем, и при нормальных концентрациях эритроцитов, характерных для потока крови в мелких сосудах, как показали наши эксперименты, возможно

формирование вытянутого профиля скоростей, когда осевая скорость кровотока увеличивается до 9 м/с.

Исходя из вышеизложенного, можно сделать вывод о том, что в сосудах, диаметр которых не превышает размеры эритроцитов более, чем в 8—10 раз, реология потока подвержена существенным изменениям. В этих сосудах изменение скорости кровотока приводит к заметным изменениям вязкостных свойств потока крови. Заметные изменения формы профиля в мелких сосудах, как показали наши эксперименты, однозначно подтверждают такой вывод. Вместе с тем, следует подчеркнуть, что регистрируемая степень уплощенности формы профиля, свидетельствуя об изменении вязкостных свойств потока крови (его текучести), указывает на относительное увеличение или уменьшение сопротивления кровотоку, обусловленное реологией потока крови. Таким образом, приживенная регистрация радиального распределения скоростей в микрососудах может служить важным оценочным критерием микрореологических свойств исследуемого потока крови.

ЛИТЕРАТУРА

- Левтов В. А., Регирер С. А., Щадрина Н. Х. Реология крови, «Медицина», М., 1982.
- Мамисашвили В. А., Бараташвили И. К. Физiol. ж. СССР, **56**, 10, 1466—1471, 1980.
- Мамисашвили В. А., Бараташвили И. К., Ломинадзе Д. Г. Физiol. ж. СССР, **68**, 12, 1673—1679, 1982.
- Мамисашвили В. А., Бараташвили И. К., Ломинадзе Д. Г. Изв. АН ГССР, сер. биол., **10**, 3, 197—203, 1984.
- Мчедлишвили Г. И., Мамисашвили В. А., Варазашвили М. Н. Патол. физиология и экспер. терапия, **6**, 75—76, 1985.
- Bugliarello G., Hayden T. W. Trans. Soc. Rheol., **7**, 209—230, 1963.
- Gaehtgens P., Meiselman H., Wayland H. Microvasc. Res., **2**, 13—23, 1970.
- Goldsmith H. L. Federation proc., **30**, 1578—1588, 1971.
- Lipowsky H. H., Shunichi Usami, Shu Chien Microvasc. Res., **19**, 297—319, 1980.
- Mamisashvili V. In: New methods and instruments for Microscopy in Biology and Medicine (ed. by W. O. Reuter and V. Shinkarenko), Moscow-Wetzlar, 1987, 176—180.

3. გამისავილი, 6. ვადლისავილი

საქართველოს მეცნიერებათა აკადემიის ი. ბერიტაშვილის სახელშის
 ფიზიოლოგიის ინსტიტუტი, თბილისი

რეზიუმე

შესწავლის იქნა ვიზუალურის ჯორ-
 ჭლისა და m. creamaster-ის 20-დან 102
 მემ-მდე დაიმეტრის მქონე მიკროსისხლ-
 ძარღვებში ერთობლივი ბინარული განაწილების ცვლილებები (სიჩარიტა
 პროფილის ფორმა). დადგნომილია, რომ
 პროფილის ფორმა მუდმივია და არ არის
 დამტკიცებული სისხლის დანების სიჩარ-
 ქესა და სისხლძარღვის დამეტრზე, თუ ეს
 უკანასკნელი აღმატება 42—46 მემ-ს.
 უფრო მცირე დაიმეტრის მქონე სისხლ-
 ძარღვებში შეინიშნება სიჩარეთა პროფი-
 ლების ფორმის მნიშვნელოვანი ვარიაბე-
 ლობა, რაც დაკავშირებულია სისხლის

დინების სიჩარის სიდიდესა და ერთორთ-
 ციტების კონცენტრაციასთან. მიღებული
 შედეგები მოწმობენ, რომ პროფილის
 ფორმის რეგისტრაცია სისხლძარღვებში,
 რომელთა დამეტრი აღმატება ერთორთ-
 ციტების ზომებს არა უმეტეს 8—10-ჯერ,
 გვაძლევს საშუალებას გამოვალინოთ
 სისხლის სიბლანტის თვისებები. ეს კი შე-
 საძლებელს ხდის, რომ პროფილის რეგის-
 ტრაციის მოცემული მეთოდი გამოყენე-
 ბულ იქნას როგორც შესსწავლი სისხლის
 ნაკადის მიკრორეოლოგიური თვისებების
 შეფასებელი კრიტერიუმი.

 ON-LINE REGISTRATION OF VELOCITY PROFILES IN
 MICROVESSELS

V. MAMISASHVILI, N. MCCHEDLISHVILI

I. Beritashvili Institute of Physiology, Georgian
 Academy of Sciences, Tbilisi

Summary

The present study deals with the radial distribution of velocities of red blood cells (RBC) in living microvessels of the rat mesentery and m. creamaster, ranging in their diameter from 20 to 102 μm . The linear velocities of different layers of blood flow in the living vessel were measured using the MPV Compact Vel velocity meter. The shape of the velocity profiles in vessels greater than 42—46 μm in diameter was found practically independent either of the blood flow velocity or the vessel diameter. As for smaller ones, there have been found

the correlation between the shape of the velocity profiles on the one hand and the blood flow velocity and RBC concentration, on the other. It has been shown that the on-line registration of the velocity profiles in vessels whose diameter is 8 to 10 times as great as the RBC diameter may offer valuable information on the changes of blood "fluidity" in them. This provides a possibility of using the proposed method to determine blood microecological properties in particular microvessels.



ალექსანდრე როიტბაკი

ქართულმა ფიზიოლოგიურმა სკოლამ მშპმე დანაკლისა განიცადა. გარდაცვალა გამოჩენილი შეცნიერი, აკადემიკოს ი. ბერიტაშვილის ერთ-ერთი უძველესი და უახლოესი მოწაფე, საქართველოს შეცნიერებათა აკადემიის ი. ბერიტაშვილის სახ. ფიზიოლოგიის ინსტიტუტის ლაბორატორიის გამგე, აკადემიის წევრ-კორესპონდენტი, საქართველოს მეცნიერების დამსახურებული მოღვაწე, პროფესორი აღიქსანდრე ილიას ძე როიტბაკი.

ი. როიტბაკი დაიბადა 1919 წლის 17 თებერვალს ქ. კიევში. 1941 წელს კიევის სამედიცინო ინსტიტუტის დამთავრების შემდეგ, დაიწყო მუშაობა ი. ბერიტაშვილის ხელმძღვანელობით და 50 წლის განმავლობაში უანგაროდ და ერთგულად ემსახურა ქართულ ფიზიოლოგიას. მან ხის განმავლობაში მან გამოაქვეყნა 250-ზე მეტი ნაშრომი ჩევნი ქვეყნისა და მრავალ საზღვარ-გარეთულ გამოცემებში. მისი მონოგრაფია „თვაის ტვინის ჭრების ბიოლექტრულ მოვლენები“ (1955 წ.) მაგიდის წიგნად იქცა ელექტროფიზიოლოგებისათვის, ხოლო 1983 წელს გერმანიაში გამოსული მონოგრაფია „ნეიროგლობი“ პირველია მსოფლიოში, რომელშიც განხილვადობულია მან დარგში დაკრიტიკული ცოდნა. ფართედ არის ცნობილი მისი ვრცელი წერილები დიდ სამედიცინო ენციკლოპედიაში და სპეციალისტებისათვის განკუთვნილ სახელმძღვანელოებში, მისი გამოკვლევები და შრომები ფიზიოლოგიის ისტორიასა და ფილოსოფიურ საკითხებში ტვინის მოქმედებასთან კაშირდის.

ი. როიტბაკის მსოფლიოში იცნობდნენ როგორც ცენტრალური ნერვული სისტემის ელექტროგრაფიული შესწავლის წამყვან სპეციალისტს. ვერ კიდევ სრულიად ახალგაზრდამ მან აკადემიკოს ი. ბერიტაშვილთან ერთად ჩატარა ალექტროფიზიოლოგიური გამოკვლევა შურების ტვინის ელექტრული მოვლენა-
214

ნების კანონსომიერებათა დადგენის მიზნით. შემდგომ ცივსისხლიანთა თავის
ტვინი ელექტრული ქეტიობის შესწავლით მან გააკეთა რამოდენიმე აღმფერებულება
და ექსპერიმენტულად დაადასტურა ი. სეჩენვის ოეორიული გამონათქვეში: და

ა. როიტბაკმა პირველმა შეიძინა თავის ტვინის ქერქის ელექტრული
პოტენციალი პირდაპირი გაღინიანებისას. ნატიფი ექსპერიმენტებით მან
აჩვენა თავის ტვინის ქერქში დომინანტური კერის წარმოქმნის შესძლებ-
ლობა. ეს მოდელი მან და სხვა ცნობილმა მეცნიერებმა გამოიყენეს ელემენ-
ტული დროებით კავშირების წარმოქმნის ასახსნელად. ბევრი დრო დაუთ-
მო ა. როიტბაკმა შეკავების პროცესის შესწავლის და გამოთქვა მოსაზრება,
რომ შინაგანი შეკავება განპირობებულია თალამური არასპეციფიური სიტრ-
მის გაქტივებით.

ერთ-ერთმა პირველმა ა. როიტბაკმა შინოფრენიით დავადებულებზე შე-
ისწავლა ალფა-რიტმის დინამიკა და გააანალიზა ამ ფრინმენის დეპრესიის არ-
არსებობა დაავადების შევავე სტადიაში.

მინშეველოვანი ჭვლილი შეიტანა ა. როიტბაკმა სპორტული ფიზიოლო-
გის დარგში. მან პირველმა აღმოჩინა სუნთქვის ცენტრიდან აგზნების გავ-
რცელების მოვლენა, სუნთქვის ფაზები დაუკავშირა აღმიანის რეაქციის დროს
და აღწერა ამ დროის შემცირება ჩასუნთქვისას, რამაც სპორტული შედეგების
გაუმჯობესებასთან მიიყვანა. მის მიერ ნანახი იქნა აღმიანის თავის ტვინის
ელექტრული ქეტიობის დამახსიათებელი ცვლილები კუნთოვან მოქმედე-
ბასთან დაკავშირებით და აღმოჩინა ალფა-რიტმის მკვეთრი გაზრდა სპორტ-
სმენებში ე. წ. „მკვდარი წერტილის“ დაშვების წინ გამოწვეული ძლიერი
დამლელი ვარჯიშითა და შეჯიბრებით.

უკანასკნელი ორი ათეული წლის განმავლობაში ა. როიტბაკი ავითარებ-
და ორიგინალურ მიმართულებას ნეიროგლის როლის შესახებ და წირმო-
ადგინა თავის ტვინის, როგორც ნეირონულ-გლოური სისტემის, მოქმედების
მცენიჩიმის ანალიზის სრულიად ახალი მიღვმომა.

ნეირომორფოლოგებთან და ნეიროგიმიკოსებთან კომპლექსური გამო-
კვლევებისა და ნეიროგლის მონაცემთა ღრმა ანალიზის საფუძველზე ა. რო-
იტბაკმა ჩამოაყალიბა ორიგინალური პიპოთეზა ნეიროგლის მონაწილეობის
შესახებ დროებითი კავშირის წარმოქმნაში.

მისი თეორიები და პიპოთეზები რიგ კარდინალურ საკითხებზე შეტანი-
ლია ნეიროფიზიოლოგიის ფუნდამენტურ მონოგრაფიებსა და სახელმძღვა-
ნელოებში. მის მაღალ პროფესიონალურ მიუთითებს ისიც, რომ იგი მიწ-
ვაული იყო ერთობლივი კვლევის ჩასატარებლად მსოფლიოს (იტლანდია, ინ-
გლისი, გერმანია, პოლონეთი, ჩეხოსლოვაკია, ბულგარეთი, უნგრეთი) მრავალ
ლაბორატორიაში. დღიდან დაარსებისა ა. როიტბაკი იყო ტერნის შემსწავლე-
ლი საერთაშორისო ორგანიზაციის იმპორტის საქართველოს, სომხე-
თის, უკრაინის ფიზიოლოგთა საზოგადოების და ჩეხეთ-სლოვაკიის, ირლანდი-
ისა და პოლონეთის ნეირობიოლოგთა საზოგადოებების საპატიო წევრი. აქ-
ტურად მუშაობდა უზრნალების „აღმიანის ფიზიოლოგია“ (სანქტ-პეტერ-
ბურგი), „ნეიროფიზიოლოგია“ (კიევი) და აქტა ნეიროლოგია ექსპ.“ (ვარ-
შავა) რედკოლეებიში.

30 წელზე მეტი კითხულობდა ა. როიტბაკი ელექტროფიზიოლოგიის
კურსი თბილისის სახელმწიფო უნივერსიტეტში. მისი ლექციები და მოსხენე-
ბები, წაყოთხული მრავალ სერიაშორისო სამეცნიერო ფორუმზე, გამოირ-
ჩეოდა ლაკონურობით, ლოგიკურობით, ღრმა შინაარსითა და ანალი თეორი-
ული ინტერპრეტაციით.

ა. როიტბაკის ხელმძღვანელობით შესრულებულია მრავალი საღორტორი
და საყანდიდატო დისერტაცია. მისი მოწაფეები და მიმდევრები წარმატებით

მოლვაშვილებენ ჩეხეთ-სლოვაკეთში, უნგრეთში, ბულგარეთში, პოლონეთში, ჩიკ
ნეთში, კუბაშე და სხვ.

მეცნიერული მიღწევებისათვის მას მიენიჭა ი. თარხნიშვილის და ი. სე.
ჩენოვის პრემია, ი. პურკინიეს მედალი (ჩეხეთ-სლოვაკეთი), საქართველოს
უმაღლესი საბჭოს სიგელი, „საპატიო ნიშნის“ ორდენი და მედლები.

ალექსანდრე როიტბაკმა დაიმსახურა მრავალი ქვეყნის მრავალრიცხვანი
ნეიროფიზიოლოგის პატივისცემა. ამაგლარი მეცნიერის ნათელი ხსოვნა მ..
რად დარჩება მისი კოლეგებისა, თანამშრომლებისა და მოწაფეების გულში.

პროფესორი გურამ ბექაძე

Корректор Д. Р. Арчвадзе

Сдано в набор 11.12.91; Подписано в печать 30.06.92

Формат бумаги 70×108¹/₁₆. Бумага № 1. Высокая печать

6,3 усл.-печ. л. 7,23 кр.-отт. 4,3 уч.-изд. л.

Тираж 1150 экз. Заказ 2668. Цена 2 руб.

გამომცემლობა „მეცნიერება“, თბილისი, 380060, კუტაშვილის ქ., 19

Издательство «Мечниеба», Тбилиси, 380060, ул. Кутузова, 19

საქართველოს მეცნიერებათა აკადემიის სტამბა, თბილისი, 380060, კუტაშვილის ქ. 19

Типография АН Грузии, Тбилиси, 380060, ул. Кутузова, 19

ატორთა საუკაზლებელი

1. ერთობის პირის დარღვეული ექსპრესიული და ინტერიული ხსნის თაობა განხდება ნაშროვის მიღლივის დარღვეული დარღვეულის მიხევით; მიღლივის სტატუსი, მიღლივის დარღვეული უკავშირი და მიუღი წერტილი და რეგისტრი კურსად მართვება; ჩატურებული სატექნიკური სამინისტროს მიერ და რეგისტრი კურსად მართვება.

2. ექსპრესიული ტექსტების მიღლივის უზრიესობა, ნაშროვის რიცხვის კურსად. წერტილი, დაგენერირების სისტემის უზრიესობა და მიღლივის კურსად ერთგული არ უნდა იყოს; მიღლივის კურსად 3 და 4 სა დაცვითი 12 გვერდის ნაშროვის როლის მიღლივის უზრიესობა და მიღლივის კურსად მიღლივის 14 გვერდის ნაშროვის როლის მიღლივის უზრიესობა და მიღლივის კურსად 18 გვერდის ნაშროვის როლის მიღლივის უზრიესობა და მიღლივის კურსად 24 გვერდის ნაშროვის როლის მიღლივის უზრიესობა და მიუღი წერტილი შეიძლება და ერთობის საუკაზლებელი კურსად ერთ კურსად.

რეპოზიტორულ და აუდიოურ გვერდი (რა უნდა აღმოჩენოდას ერთ კურსად), რაერთობის სას, ქართველის და ნამატების კურსად წერტილი უნდა იყოს ციფ-

რული. 3. ლერნები (რა ეპულებათ) თან უნდა ერთეულის დაწესებულების გამოყენება და საკუსამარი კონსოლი გვიჩვენებული გვიჩვენებული უნდა იყოს ინტერაქცია, მიღლივის მიღლივის დარღვეული, მიუღი წერტილის დარღვეული, აუზობების ინტერაქცია და ვიზუალი, მდ. დარღვეულის გამოყენება, სასურათო შესრულება ნაშროვი, და კოდეს როლის 10.5 გვერდი, სტარტის გვერდის ერთგული უნდა იყოს, სტარტის მიღლივის შესრულება უნდა იყოს აღნიშვნის ურთისო სახელი, მათის სახელი და ფართი, მათის და სამასტერის მისამართი და მიღლივის გამოყენება.

4. სტარტის უნდა შეიცვალოს შესვალი, მეოთხოეს, კოლაჟის უზრევებს და შეცვალის კონტაქტს.

5. ლერნების გვერდი — შემოვა კოტები, ნისტორ გარემოები, შესრულებული უნდა ერთ კურსად და რეაქციების გარემოების უნდა იყოს ინტერაქციასთან ერთად შესრულებული უნდა იყოს რეაქციების გარემოების უნდა მარტინის უნდა და სტარტის შესრულებული ასახვები (ციფრული გვერდის მისამართის აღნიშვნის გვერდის გვერდის გვერდი).

6. ყორებრივი აუზობების გვერდი ტრიტერის მოყვანილი უნდა იყოს სტარტის შესასრულებლივ გამოიყენოს, ციფრული კონტაქტის გარემოების უნდა და მიღლივის გვერდის სახელი და გვერდი, ანთერის მისამართის შეცვალი თანამდებობის კონტაქტი, რეაქცია, ციფრული.

7. რიგორის ნიშტანი (ტრიტერის იგი ერთგული უნდა იყოს აუზობების შეცვალი მოყვანილი უნდა იყოს აუზობები, გამოსუნის დამხმაცველი; აუზობების გვერდის გამოყენებისას უნდა იყოს მიღლივის გვერდი, რეაქციები, და კოდების გვერდი).

8. სტარტის კონტაქტის გარემოების დამტკიცება კოდეს რეაქციის და როლური უნდა იყოს მიღლივის გვერდის გვერდის გვერდის გვერდის სახელი.

9. აუზობების იტენის ციფრის შეცვალი და მიღლივის სტარტის ტაბულა.

10. აუზობების ციფრის გვერდის თორმები ამავევე.

К СВЕДЕНИЮ АВТОРОВ

1. В журнале печатаются завершенные, оригинальные работы экспериментального и теоретического характера по утвержденным редакцией разделам биологии, обзорные статьи, написанные по заказу редакции, а также краткие сообщения и рецензии. Периодически в журнале помещается краткая хроника о проведенных научно-организационных мероприятиях.

2. Объем рукописи экспериментальных работ, включая таблицы, рисунки, подписи к рисункам, список литературы и резюме на грузинском и английском языках (не более одной страницы машинописи на каждом из них), не должен превышать 12 страниц машинописного текста, напечатанного через 2 интервала и полем 3 см с левой стороны. К рукописи может быть приложено не более 5 рисунков. Объем обзорной статьи — 24 страницы, краткого сообщения — до 4 страниц машинописи. Краткие сообщения можно иллюстрировать 1—2 рисунками.

Резюме на грузинском и английском языках, список литературы, таблицы и подписи к рисункам должны быть представлены на отдельных листах.

3. Рукопись (в двух экземплярах) должна иметь направление учреждения и заключение экспертной комиссии. На первой странице слева приподняться индекс статьи (УДК), справа — раздел биологии, затем название статьи, инициалы и фамилии авторов, название учреждения, где выполнена работа, и краткая аннотация (не более 0,5 стр.).

Статья должна быть подписана всеми авторами. В конце статьи необходимо указать полностью имя, отчество и фамилии авторов, домашний и служебный адреса, телефоны.

4. Статья должна содержать введение, методику, результаты исследований и обсуждение результатов.

5. Иллюстрации — четкие фотографии на глянцевой бумаге и рисованные графики на кальке или белой чертежной бумаге — следует представлять в двух экземплярах. Надписи на иллюстрациях должны быть выполнены тушию. На обороте иллюстрации следует обозначить карандашом ее номер, фамилию автора и сокращенное название статьи, а в случае необходимости отметить верхний и нижний край.

6. Фамилии цитируемых авторов следует давать в транскрипции, соответствующей тексту статьи и в оригинальной — в списке литературы. Список литературы составляется по алфавиту — вначале грузинским и русским шрифтом, а затем латинским. После порядкового номера (в тексте статьи он ставится в квадратные скобки) следует давать фамилию и инициалы авторов, название издания, затем для периодических изданий — том, страницы (от и до), год; для непериодических — название издательства, место, год издания и страницы.

7. Рукописи, оформленные без соблюдения указанных правил, а также не соответствующие профилю журнала, возвращаются автору. Все рукописи проходят рецензирование.

8. Корректуры статей даются авторам для проверки, правки и визирования. Дополнительные изменения в тексте не допускаются.

9. Редакция оставляет за собой право сокращать и исправлять тексты статей.

10. Авторы получают бесплатно 12 отдельных оттисков.

6270/78



Файл 2 855.

Цена 2 руб.

Индекс 76204